

# НУБІП України<sup>оо</sup>

НУ  
НУ  
НУ

**МАГІСТЕРСЬКА КВАЛІФІКАЦІЙНА РОБОТА**

01.12 - КМР.1855“С” 2020.11.25.014 ПЗ

**ЮРЧЕНКА НАЗАРА СЕРГІЙОВИЧА**

**2022 р.**

□

# НУБІП України<sup>оо</sup>

# НУБІП України<sup>оо</sup>

# НУБІП України<sup>оо</sup>

НАЦІОНАЛЬНИЙ УНІВЕРСИТЕТ БІОРЕСУРСІВ І  
ПРИРОДОКОРИСТУВАННЯ УКРАЇНИ  
**НУБІІ України**  
Факультет конструювання та дизайну

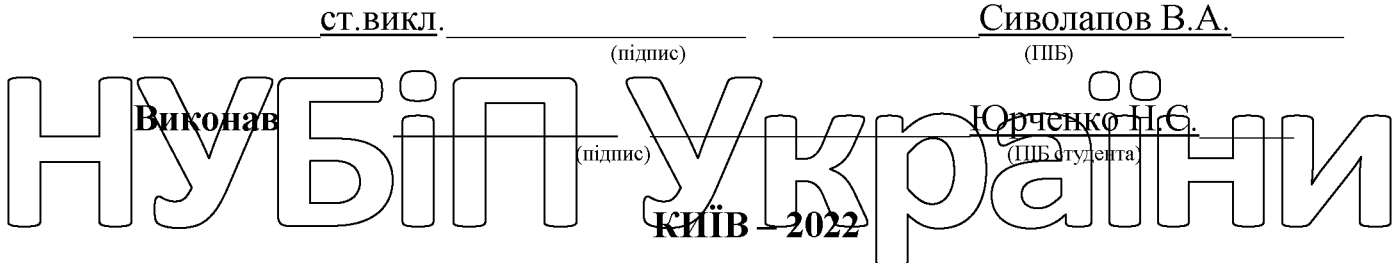
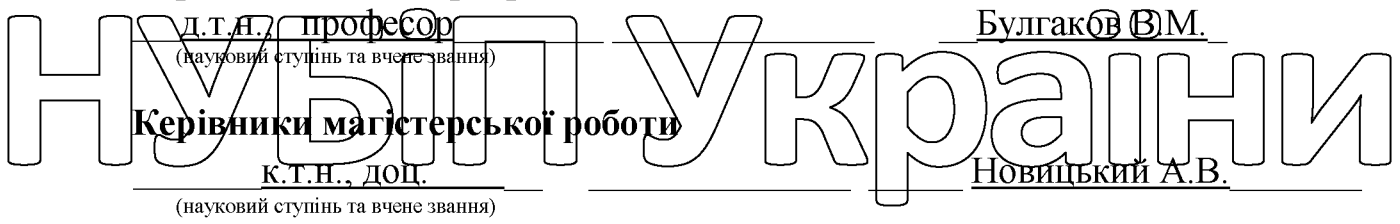
УДК 621.373.02 – 043.96



МАГІСТЕРСЬКА КВАЛІФІКАЦІЙНА РОБОТА



Гарант освітньої програми





**ЗАТВЕРДЖУЮ**  
**Завідувач кафедри надійності техніки**  
 К. Г. Н., доцент Новицький А. В.  
 (науковий ступінь, вчене звання) (підпис)  
 " — " 2020 року

**НУБіП України** з **заявлення**  
**до виконання магістерської кваліфікаційної роботи** студента  
 Юрченку Назару Сергійовичу  
 (прізвище, ім'я, по батькові)

Спеціальність **«Галузеве машинобудування»**  
 (код і назва)  
 Освітня програма «Машини та обладнання сільськогосподарського  
 виробництва»  
 Освітня програми **освітньо-наукова**  
 (освітньо-професійна або освітньо-наукова)

**НУБіП України** Тема магістерської роботи „**Дослідження технічного стану деталей та  
 розробка конструктивно-технологічних параметрів підвищення  
 надійності двигунів ЯМЗ-238**”

Затверджена наказом ректора НУБіП України від **“25”11.2020 р. №**

**НУБіП України** 1855 «С»  
 Термін подання завершеної роботи на кафедру 10.05.2022 р.  
 (рік, місяць, число)

Вихідні дані до магістерської роботи **1. Аналітичний огляд конструкції  
 двигунів ЯМЗ-238. 2. Технічна характеристика двигуна ЯМЗ-238. 3. Каталоги  
 ремонтно-технологічного обладнання. 4. Технічні вимоги на ремонт двигуїв  
 ЯМЗ-238.**

Перелік питань, що підлягають дослідженю: Реферат. Вступ. 1. Стан питання та формування задач на дослідження. 2. Аналіз сучасних технологій відновлення деталей. 3. Обґрутування граничних та допустимих при ремонті розмірів механізмів двигунів ЯМЗ-238. 4. Дослідження технічного стану вибраних деталей. 5. Конструктивно-технологічні параметри підвищення надійності відновлення роботоздатності двигунів ЯМЗ-238. 6. Охорона праці. 7. Техніко-економічне обґрутування роботи. Висновки. Літературні джерела. Додатки.

Перелік графічного матеріалу (за потреби) 1. Аналіз конструкції кривошипно-шатунного механізму. 2. Можливі несправності кривошипно-шатунного механізму, способи виявлення та усунення. 3. Діагностування кривошипно-шатунного механізму. 4. Розбирання кривошипно-шатунного механізму. 5. Схема кривошипно-шатунного механізму і його розмірний ланцюг. 6. Ремонтне креслення. 7. Маршрутна карта. 8. Обкатка і випробовування двигуна ЯМЗ-238КМ. 9. Охорона праці. 10. Техніко-економічна ефективність.

Дата видачі завдання “27” листопада 2020 р.

Керівники магістерської роботи

( підпис )

Новицький А.В.

(прізвище та ініціали)

Сиволапов В.А

( підпис )

(прізвище та ініціали)

Завдання прийняв до виконання

( підпис )

Юрченко Н.С.

(прізвище та ініціали студента)

НУБІП України

## РЕФЕРАТ

Магістерська робота на тему: „**Дослідження технічного стану деталей та розробка конструктивно-технологічних параметрів підвищення надійності двигунів ЯМЗ-238**”.

Роботу викладено на 113 стор., 29 рис., 23 табл., 1 додаток, використано

26 джерел літератури.

Магістерська робота присвячена дослідженню пошкоджень деталей та розробці конструктивно-технологічних параметрів підвищення надійності ЯМЗ-238 та удосконаленню технології відновлення його роботоздатності.

В першому розділі пояснювальної записки наведено аналіз конструкції та принцип роботи двигунів ЯМЗ-238, причин відмов та несправності.

В другому розділі представлено дослідження основних пошкоджень деталей та встановлено конструктивно-технологічних параметрів підвищення надійності.

В третьому розділі проведено статистичний аналіз характеристик імовірної появи пошкоджень із визначенням коефіцієнтів відновлення, вибракування та придатності. Проаналізовано стан сучасних технологій відновлення роботоздатності. Вибрано технологію відновлення деталей двигунів ЯМЗ-238. Розроблено технологічний процес відновлення гільз циліндрів термопластичним деформуванням (ТПД).

В четвертому розділі дано обґрунтування граничних та допустимих при ремонті розмірів циліндро-поршневої групи двигунів.

В шостому розділі зроблено аналіз виробничих небезпек та розробити заходи по забезпечення безпечних умов роботи на дільниці з відновлення роботоздатності двигунів ЯМЗ-238.

В сьомому розділі розраховано техніко-економічні показники технології відновлення роботоздатності двигунів ЯМЗ-238.

Ключові слова: ДВИГУН, КРИВОШИПНО-ШАТУННИЙ МЕХАНІЗМ, ДЕФЕКТИ, ДОПУСТИМІ ТА ГРАНИЧНІ РОЗМІРИ, ТЕХНОЛОГІЯ ВІДНОВЛЕННЯ, ДЕФЕКТАЦІЯ, РЕГУЛОВАННЯ

# НУБІП України<sup>оо</sup>

АПК - агропромисловий комплекс;

ДВЗ – двигун внутрішнього згорання;

МТП - машинно-тракторний парк.

МО – механічна обробка

ППС – планово-попереджувальна система

БП – безпека праці;

ТЕП – техніко-економічні показники

# НУБІП України<sup>оо</sup>

# НУБІП України

ЗМІСТ Стор

## РЕФЕРАТ

### ВСТУП

#### РОЗДІЛ 1. СТАН ПИТАННЯ ТА ФОРМУВАННЯ ЗАДАЧ НА ДОСЛІДЖЕННЯ

1.1. Несправності двигунів і причини їх виникнення

8

12

12

1.2. Основні напрямки досліджень двигунів та їх елементів під час експлуатації та ремонту

1.3. Аналіз роботоздатності кривошипно-шатунного механізму

1.4. Задачі магістерської роботи.

16

20

24

### РОЗДІЛ 2. АНАЛІЗ СУЧASНИХ ТЕХНОЛОГІЙ ВІДНОВЛЕННЯ

#### ДЕТАЛЕЙ ДВИГУНІВ

2.1. Колінчастий вал

2.2. Шатуни

2.3. Вкладиши корінних і шатунних підшипників.

25

25

43

49

2.4. Блок циліндрів

2.5. Головка циліндрів

#### РОЗДІЛ 3. ДОСЛІДЖЕННЯ ПОШКОДЖЕНЬ ДЕТАЛЕЙ ТА СПОСОБИ ЇХ ВИЯВЛЕННЯ ТА УСУНЕННЯ

59

69

74

3.1. Пошкодження блок-картера та способи їх виявлення, прилади та оснащення

3.2. Пошкодження шатунів та способи їх виявлення, прилади та оснащення

3.3. Пошкодження вала колінчастого та способи їх виявлення, прилади та оснащення

3.5. Дослідження ремонтного фонду поршнів двигуна ЯМЗ-238.

74

77

82

88

3.6. Технологічний процес відновлення гільз циліндрів

термопластичним деформуванням (ТПД)

**РОЗДІЛ 4. ОБГРУНТУВАННЯ ГРАНИЧНИХ ТА ДОПУСТИ-  
МИХ ПРИ РЕМОНТІ РОЗМІРІВ ЦИЛІНДРО-ПОРШНЕВОЇ**

**ГРУПИ ДВИГУНІВ ЯМЗ**

**РОЗДІЛ 5. СКЛАДАННЯ ТА ОБКАТУВАННЯ ДВИГУНА**

5.1. Вимоги до відремонтованих деталей і складальних одиниць

5.2. Технологія складання та обкатування двигуна

92

108

121

121

123

**РОЗДІЛ 6. ЗАХОДИ ПО ОХОРОНІ ПРАЦІ ТА ЗАХИСТУ**

**НАВКОЛИШНЬОГО СЕРЕДОВИЩА**

**РОЗДІЛ 7. ЕКОНОМІЧНЕ ОБГРУНТУВАННЯ РОБОТИ**

7.1 Визначення капіталовкладень в основні фонди

128

7.2. Розрахунок фонду заробітної плати

129

7.3. Розрахунок цехових затрат

130

7.4. Розрахунок собівартості відновлення

131

7.5. Техніко-економічні показники

132

**ВИСНОВКИ**

**ЛІТЕРАТУРА**

134

135

**НУБІП України**

**НУБІП України**

## ВСТУП

Для правильної організації ремонту сільськогосподарської техніки необхідно виходити з основних положень, які давно виправдали себе в промисловості, тобто потрібно в ремонтні підприємства переносити

індустріальні методи роботи, щоб поставити ремонтну справу на індустріальні

рейки. Поряд з майстернями для ремонту простих сільськогосподарських машин необхідно створити такі ремонтні підприємства де б проводилося конвеєрне складання та розбирання машин і де б старі виновлені деталі, що

встановлюються на машини, були за якістю такими ж, як нові.

У промисловості давно визнано, що єдино правильним методом розрахунку виробничої потужності підприємства є розрахунок максимальної потужності основних цехів і агрегатів. Якщо перевести це незаперечне становище у практику організації ремонтної бази сільському господарстві і розраховувати ремонтні підприємства та щоб максимально використовувалося

ремонтне устаткування, це приведе до істотного зниження витрат за ремонт. Значного підвищення якості ремонту та зниження витрат можна досягти шляхом створення ремонтних підприємств з раціональними обсягами

ремонтних робіт. Відомо, що витрати на одиницю продукції зменшуються зі

збільшенням програми підприємства. В умовах сільського господарства збільшення програми ремонтних підприємств призводить до додаткових транспортних витрат на доставку об'єктів ремонту до ремонтних підприємств

та перевезення їх назад. По, як свідчать розрахунки, транспортні витрати до певної оптимальної програми підприємства з лишком перекриваються

зниженням витрат за оплату праці виробничих робочих. При подальшому збільшенні програми (проти оптимальної) витрати на перевезення карт будуть перевищувати досягнуте зниження витрат на оплату праці робітників.

Величина транспортних витрат залежить не тільки від відстані, а й від кількості та якості транспортних засобів. Тому необхідно забезпечити

правильне географічне розміщення ремонтних підприємств, щоб отримати найменші витрати на перевезення машин. Система доставки машин па-

ремонтні заводи і заводів і колгоспи п радгоспи повинна бути також добре організовано. Отримувати машини від колгосів і радгоспів і візвозити їх назад має саме ремонтне підприємство за заздалегідь продуманими маршрутами на спеціально пристосованих для цієї мети машинах при раціональному груповому перевезенні об'єктів ремонту.

Створюючи і вдосконалюючи базу для ремонту сільськогосподарської техніки, необхідно виходити з місцевих умов і працнути впровадити найефективніші форми організації. При правильному побудові ремонтної бази полегшується і поліпшується робота організацій, що планують і розподіляють запасні частини. В даний час при проведенні ремонту на різних по оснащеності ремонтних підприємствах, при дуже великій кількості точок, що проводять ремонт, і при необґрунтованому прагненні багатьох господарств проводити ремонт тільки з використанням нових запасних частин правильне планування їх випуску для машин великої кількості марок і модифікацій взагалі неможливо. Це призводить до створення неприпустимо великого накопичення запасних частин, що не використовуються. Потрібно пам'ятати, що експлуатація машин без добре організованого відновлення деталей практично неможлива, тому що викликає необхідність мати великі кількості нових запасних деталей у пропорціях, що важко піддаються попередньому плануванню. У зв'язку з цим передбачається різке збільшення мережі високоорганізованих спеціалізованих підприємств щодо відновлення деталей, ремонту вузлів та агрегатів машин.

Недоліки в технології ремонту машин у ряді майстерень створюють враження, що відремонтована машина працює гірше, ніж нова. Але це далеко не завжди так. Машина може працювати після ремонту стільки ж, скільки вона працювала після випуску її із заводу, якщо всі її зношенні сполучення та інші конструктивні параметри будуть відновлені з тією ж якістю і з тим самим ступенем точності, яка досягається заводом-виробником. В даний час на машинобудівних заводах все ширше і ширше застосовують такі організаційно-технологічні заходи, як селективне сортування і т. д. Ці заходи дозволяють

отримувати сполучення з найвигіднішим ступенем рухливості, що, у свою чергу, сприяє різкому збільшенню термінів служби вузлів, агрегатів та машин загалом. Ці прогресивні заходи можна впровадити на великих спеціалізованих ремонтних підприємствах.

При правильному розрахунку ремонтної оази можна досягти значного зниження витрат і підвищення продуктивності праці

ремонтних робітників. Не менш важливе значення має правильна організація виробничого процесу і пугти ремонтних підприємств.

Процес відновлення працездатності машини, що складається в основному з розбірно-складальних і супутніх їм мийних, дефектувальних, регулювальних

та інших робіт, називається ремонтом. Ремонтом техніки, що використовується в сільському господарстві, займаються ремонтні підприємства. Сукупність цих підприємств називається ремонтної базою.

Незважаючи на те що підприємства тракторного і сільськогосподарського машинобудування безперервно здійснюють заходи щодо збільшення

зносостійкості машин, що поставляються сільському господарству, все ж таки ці машини мають нерівноміцні (нерівнозносостійкі) агрегати, вузли і деталі. Тому неминуче виникає потреба у складному технічному обслуговуванні машин, пов'язаному з необхідністю заміни окремих агрегатів, вузлів та

деталей. Частота і складність цих робіт закладена вже в новій машині, в її конструкції та зносостійкості окремих її елементів.

Конструктивні особливості машини, нерівнозносостійкість її елементів та умови експлуатації визначають періодичність і трудомісткість технічних

доглядів та ремонтів, а також кількість запасних деталей, потрібних для

підтримання машини у працездатному стані. Таким чином, ремонт машин – неминуча необхідність при сучасних конструкціях та зносостійкості машин.

Це властивість сучасних машин. Від організації ремонтної бази та виробничих процесів на ремонтних підприємствах залежить, наскільки трудові та

матеріальні витрати на ремонт відрізнятимуться від середніх, об'єктивно диктованих конструкціями, зносостійкістю та умовами експлуатації машин.

Велике значення у цьому відношенні мають періодичні технічні опліди машин

колгоспів та радгоспів, які проводяться двічі на рік. Мета цих оглядів -

забезпечити поліпшення технічного стану машин, організувати більш ефективний контроль за дотриманням правил експлуатації та збереженням машин. Технічний огляд допомагає визначити, дійсну, основну на фактичному

стані машини, потребу в ремонті або можливість подальшої експлуатації

машини з метою повного використання ресурсів деталей. Цей захід попереджає необґрунтований передчасний ремонт техніки та зменшує витрати запасних частин. Ремонтна база повинна забезпечувати виконання всіх видів

ремонтів та технічних доглядів. При вивчені питань організації ремонту слід

пам'ятати, що ряд застосовуваних термінів має умовний характер. Не можна, наприклад, провести чіткий кордон між технічними доглядами та ремонтами.

Зазвичай зміст тих та інших регламентується віловідніми інструкціями та положеннями. Можна вважати, що при технічних доглядах працездатність

машини відновлюється регулюваннями, передбаченими конструкцією

машини, а при ремонті відновити працездатність машини регулюваннями вже не можна, потрібні більш серйозні технологічні впливи (зварювання, вібродугове наплавлення, шліфування, заміна деталей т. п.). Нрактично такий

розподіл не витримується, і при технічних доглядах доводиться вдаватися до

складних технологічних впливів (наприклад, притирати кланані і т. п.), а при ремонті регулюватися. Назви «капітальний ремонт» та «поточний ремонт» також дуже умовні. З економічної точки зору «капітальний ремонт» - це такий

ремонт, витрати на проведення якого відносяться на рахунок засобів амортизації. Внаслідок капітального ремонту відбувається відшкодування

зносу основних фондів. З точки зору механізаторів "капітальний ремонт" - це повна перевірка всієї машини із заміною максимального числа деталей та агрегатів новими. Таке уявлення про капітальний ремонт часто призводить до

необґрунтованої заміни недовикористаних деталей. З технологічної точки

зору «капітальний ремонт» - це ремонт, що відрізняється великою трудомісткістю, пов'язаний з відновленням базисних деталей, гнізд підшипників, виконанням значного обсягу роботи з відновленням зношених

деталей тощо. Найбільш широко прийняте поняття капітального ремонту можна сформулювати так: це ремонт, при якому машина розбирається на агрегати, агрегати - на вузли і деталі, деталі, що зносилися, замінюються новими або відновленими, а витрати на проведення ремонту відносяться на рахунок засобів амортизації. Поточний ремонт - це ремонт, форми та властивості якого не змінюються. У разі застосування системи ремонтних розмірів. У процесі відновлення придатності деталей машин із низки деталей виконується лише одне чи кілька заключних операцій, спільніх з операціями технологічного процесу виготовлення. Наприклад, звичайним способом відновлення придатності колінчастого валу є шліфування та полірування щийок під ремонтний розмір вкладишів. При відновленні блоків проводиться розточування та хонингування, тобто виконуються операції, які є заключними при виготовленні цих деталей на заводах. У зв'язку з цим, як правило, відновлювати деталі значно вигідніше, ніж виготовляти нові.

Численними науково-дослідними роботами доведено, що термін служби відновлених деталей не поступається терміну служби нових, а іноді і перевищує його. Усе це непрямим чином підтверджує доцільність проведення ремонтів, що визначається не технологічними, а організаційними чинниками, т. е. певною організацією ремонтної бази. Встановлено такі типи ремонтних підприємств: 1) підприємства з ремонту машин; 2) підприємства з ремонту агрегатів; 3) підприємства з ремонту вузлів; 4) підприємства з відновлення деталей.

# НУБІП України

## РОЗДІЛ 1. СТАН ПИТАННЯ ТА ФОРМУВАННЯ ЗАДАЧ НА ДОСЛІДЖЕННЯ

Вихідні властивості машин і їх складальних одиниць (агрегатів) закладаються при проектуванні, забезпечуються при виготовленні, підтримуються при експлуатації машин і відновлюються при ремонті. Можна виділити три джерела впливів на машину в процесі її використання:

- дію енергії навколошнього середовища, включаючи людину, керуючого

машиною 1 виконує технічне обслуговування і ремонт; внутрішні джерела енергії, пов'язані з робочими процесами, що протикають в машині;

- потенційну енергію, накопичену в деталях машин в процесі їх

виготовлення або ремонту (внутрішні остаточні напруги в відливках, напруги, що виникають при відновленні зношених деталей, особливо зварюванням 1 різними видами наплавки та ін.).

Всі джерела впливу на машину проявляються у вигляді механічної, теплової, хімічної енергії і викликають в матеріалі деталей незворотні

процеси, які приводять до появи відмов і несправностей.

Під несправністю розуміють стан двигуна, при якому він не відповідає хоча б одній з вимог, встановлених нормативно-технічною документацією.

Кожна окремо невідповідність цим вимогам представляє собою дефект.

Працевдатним двигун вважається до тих пір, поки він здатний виконувати задані функції, зберігаючи значення експлуатаційних параметрів, установлених технічною документацією. Якщо параметри виходять за

встановлені межі, то двигун вважається нероботоздатним, а такий його стан називається відмовою.

Несправності двигунів найчастіше виникають внаслідок порушення регулювань, теплових і навантажувальних режимів роботи, поганого очищення моторного масла і повітря, поступаючих в циліндри, а також при використанні неякісних сортів палива і масла.

При пуску холодного двигуна температура робочої суміші наприкінці такту стиснення може бути недостатньою для її згоряння, внаслідок чого

двигун довго не запускається. Застигле картерне масло не надходить до стінок циліндрів, тому відбувається прискорене зношування деталей циліндропоршневої групи.

## 1.2. Основні напрямки досліджень двигунів та їх елементів під час експлуатації та ремонту

**Дослідження надійності.** Нитання дослідження та визначення рівня надійності двигунів вирішуються ефективніше і простіше, якщо деталі та вузли досліджуваних об'єктів умовно поєднати в групи з близькою довговічністю. Критеріями для об'єднання деталей і вузлів у групи є: рівень довговічності, який планується залежно від призначення, складності та вартості елементів конструкції з урахуванням іхнього функціонального зв'язку;

рівень трудомісткості заміни деталі чи усунення її відмови.

Проведені дослідження визначили доцільність поєднання деталей і вузлів двигунів ЯМЗ в три основні групи, які відрізняються між собою як діапазоном довговічності, так і трудомісткістю усунення відмови.

Перша група - деталі та вузли, довговічність яких більша або дорівнює довговічності виробу до списання. Відмови деталей цієї групи вимагають для усунення повного розбирання двигунів, тобто характеризуються максимальною трудомісткістю усунення несправності, і є одним із критеріїв необхідності проведення капітального ремонту виробу. Всі деталі даної групи,

що ремонтуються, тобто при капітальному ремонті двигуна ~~ix~~ допускається відновлювати шляхом шліфування, притирання, розточування тощо. Рівень надійності деталей та вузлів цієї групи оцінюється параметрами довговічності до ремонту та безвідмовності до заміни. До цієї групи відносяться базові та

основні деталі виробу: блок циліндрів, колінчастий і розподільний вали, головки блоку, картер маховика, шатун та інш.

Друга група - деталі та вузли, довговічність яких менша за довговічність виробу до списання, але більша або дорівнює його довговічності до першого

капітального ремонту. Заміна деталей цієї групи здійснюється, як правило, не раніше першого капітального ремонту двигуна. Рівень надійності деталей та вузлів цієї групи оцінюється параметрами довговічності та безвідмовності. До цієї групи деталей і вузлів відносять у більшості випадків поршні, гильзи, підшипники розподільного валу, деталі механізму газорозподілу, сальникові

ущільнення колінчастого валу та ін.

Третя група – деталі та вузли, ймовірна довговічність яких нижча за довговічність виробу до першого капітального ремонту. При досягненні

двигуном певного напрацювання деталі та вузли цієї групи допускається

відповідно до рекомендацій заводу-виробника або за ознакою незадовільної їх роботи замінювати або ремонтувати, щоб підтримати заданий рівень надійності та ресурсу виробу в цілому. Надійність деталей і вузлів цієї групи оцінюється як параметрами безвідмовності, і параметрами довговічності. До

деталей цієї групи відносяться: поршневі кільца, вкладиши корінних і

шатунних підшипників колінчастого валу, прокладки головок блоку, деталі ущільнення водяного насоса, розпилювачі форсунок та ін.

Для заміни деталей другої та третьої груп потрібне часткове розбирання виробу. Роботи з усунення відмов можуть проводитися безпосередньо на

тракторі (без зняття двигуна) і, отже, характеризуються значно меншою трудомісткістю в порівнянні з трудомісткістю заміни або відновлення деталей першої групи.

Першим етапом дослідження надійності виробів і деталей кожної з груп є визначення кількісних показників їх довговічності, безвідмовності та ремонтопридатності, розрахунок яких базується на використанні основних положень теорії ймовірностей та математичної статистики. За отриманими показниками оцінюють рівень фактичної надійності виробу щодо заданих нормативів, а також зіставляють рівні надійності деталей усередині кожної

групи. Результати цього етапу є основою для більш глибокого аналізу результатів експлуатації виробу в реальних умовах.

Подальше дослідження ведеться у двох напрямках:

1) визначення рівня довговічності та безвідмовності двигунів за роками випуску в ідентичних умовах експлуатації;

2) спільний аналіз рівня надійності двигунів та умов їх експлуатації для визначення впливу окремих експлуатаційних факторів або їх комплексу на надійність продукції, що випускається заводом.

До основних експлуатаційних факторів відносяться кліматичні та дорожні умови, швидкісні та навантажувальні режими, тепловий режим роботи та його стабільність, застосувані паливно-мастильні матеріали та охолодні рідини, число циклів увімкнення (вимкнення) передач, відносний час або частота використання передач у коробці передач, система, періодичність та рівень технічного обслуговування, а також якість ремонту. Облік цих факторів вимагає проведення в експлуатаційних організаціях спеціальних досліджень, що й здійснюються працівниками експлуатаційно-дослідницького бюро відповідно до розроблених для цього програм.

Дослідження щодо виявлення комплексу показників довговічності та безвідмовності дозволяють:

- оцінити ефективність впроваджених заводом конструкторсько-технологічних заходів щодо виробу в цілому та його елементів;

виявити вплив навантаження двигуна на його надійність за питомою експлуатаційною витратою палива;

застосувати рівень надійності двигунів за роками їх випуску та порівняти з рівнем надійності двигунів інших марок, у тому числі з двигунами зарубіжних фірм.

Дослідження, що проводяться по другому напрямку, дають можливість:

- виявити залежність показників довговічності та безвідмовності від рівня технічного обслуговування, якості застосовуваних масел, кліматичних та польових умов експлуатації, кваліфікації трактористів та ремонтників, досвіду експлуатації тощо;

визначити потенційну та оптимальну працездатність виробу до ремонту або списання, а також оптимальну періодичність та обсяг технічного

обслуговування; намітити передбачувану причину виникнення відмови з перевіркою ймовірності гіпотези у лабораторних умовах, здати залежність показників довготривалості та безвідмовності виробів та його складових елементів, використовуючи кореляційну залежність цих показників від умов експлуатації виробу, і вивести середні показники з метою оцінки середнього рівня надійності країною і нормування запасних частин. Для цього рівень надійності або ресурс дивигунів по кожній експлуатуючій організації за допомогою коефіцієнтів коригування приводять до еталонних умов експлуатації та розраховують середньостатистичні показники, якими можна оперувати як середніми по країні.

Другим та завершальним етапом дослідження експлуатаційної надійності виробів та їх елементів є якісний аналіз результатів експлуатації. Під якісним аналізом розуміється зіставлення кількісних показників надійності та експлуатаційних факторів у поєднанні з технічним станом деталей та сполучень: стан робочих поверхонь, абсолютні та питомі величини зносів, характер та розташування зон відмов на деталі або у вузлі.

Виявлення технічного стану та причин відмов виробу та його елементів на різних етапах напрацювання базується на активних методах дослідження їх під час експлуатації та ремонту з уточненням та перевіркою окремих факторів у лабораторних умовах. Джерелом отримання даних щодо якісного аналізу є спеціальні дослідження, створені задля вивчення технічного стану та виявлення причин відмов виробу.

При дослідженні причин відмови деталі, вузла чи сполучення який завжди вдається виділити достовірну причину, викликану лише конструктивними, виробничо-технологічними чи експлуатаційними чинниками. Це зумовлено тим, що вихід деталей з ладу в багатьох випадках викликається сукупністю одночасно діючих факторів, що залежать від якості виготовлення, так і від умов експлуатації виробу. Тому при дослідженні праґнуть класифікації можливих причин відмов на найбільш ймовірні і другорядні, або супутні,

гіпотетично сприяють виходу деталі з ладу. До розряду найімовірніших причин віднесене такі, виключення яких, безумовно, міг би усунути відмову деталі чи значно продовжити час її безвідмовної роботи.

Під конструктивними причинами відмов маються на увазі такі, які можуть викликати відмову навіть при дотриманні встановлених технічних умов або

вимог іншої нормативної документації на виготовлення, ремонт та експлуатацію.

До виробничо-технологічних причин відмов відносяться ті з них, які обумовлені недосконалістю виготовлення та ремонту деталі або вузла.

Експлуатаційні причини відмов викликаються порушенням вимог інструкції або встановлених правил експлуатації виробу.

У процесі тривалої експлуатації під впливом механічних та температурних навантажень, атмосферних умов та інших експлуатаційних факторів змінюється стан окремих деталей та вузлів, поступово зменшується

працездатність деталей, що характеризується зміною їх властивостей внаслідок зносу, деформації, корозії, ерозії, утворення раковин, тріщин, накопичення відкладень, нагару і т. п. Неминуча поступова втрата

працездатності та скорочення залишкового ресурсу деталей покладена в основу методу дослідження причин відмов елементів конструкції двигунів за інформаційними даними. При цьому експлуатаційні дослідження можна поділити на три види:

1) дослідження відмов та технічного стану деталей та сполучення на різних етапах напрацювання виробів до відправки їх на ремонтні заводи;

2) дослідження стану об'єктів у процесі капітального ремонту на ремонтних заводах;

3) дослідження капітально відремонтованих двигунів в експлуатаційних та ремонтних організаціях до кінця встановленого амортизаційного терміну їх

служби.

Розроблено схему проведення експлуатаційних досліджень з застосуванням активних методів визначення технічного стану двигуна в

цілому та стану його окремих елементів при використанні як приладів, так і спеціальних діагностичних засобів.

Поряд з переліченими вище видами активних досліджень проводяться експлуатаційні дослідження нових конструктивних і технологічних рішень, а також методів технічного обслуговування, поточного ремонту та діагностики.

У загальнення досвіду експлуатації двигунів ЯМЗ свідчить про актуальність вивчення не тільки закономірностей відмов та виявлення їх причин, але також і оцінки тривалості простою та трудових витрат, необхідних для усунення відмов.

Рівень відповідних параметрів значною мірою залежить від однорідності якості деталей та вузлів, що, своєю черговою, визначається досконалістю технологічного процесу, ступенем його автоматизації, ефективністю технічного контролю, рівнем організації виробництва.

Удосконалення системи технічного обслуговування. Призначення планово-попереджувальної системи технічного обслуговування двигуна – забезпечити його безвідмовність та високий ресурс при обмежених трудових витräтах.

**1.3. Аналіз роботоздатності кривошипно-шатунного механізму**  
Зі збільшенням питомої потужності форсового двигуна загальний рівень його надійності знижується, якщо не передбачі технологічні конструктивні заходи, спрямовані на підтримку або збільшення надійності окремих деталей і складальних одиниць.

Найважливіший показник надійності двигуна – довготривалість. Вона значною мірою визначається зносостійкістю кривошипно-шатунного механізму.

На знос ціліндкопоршневої групи істотно впливає взаємне розташування деталей кривошипно-шатунного механізму. Непаралельність осей шатунних шийок щодо корінних, неперпендикулярність осей циліндра до осі колінчастого вала, неточність взаємного розташування осей верхньої та

нижньої головок шатуна приводять до перекосу поршня в циліндрі, що погіршує припрацювання поршнів, кілець, шатунних та корінних вкладишів колінчастого валу. Перекос погіршує контакт кілець з циліндром, викликає підвищену витрату масла на угар, швидке його старіння та засмічування продуктами згоряння палива.

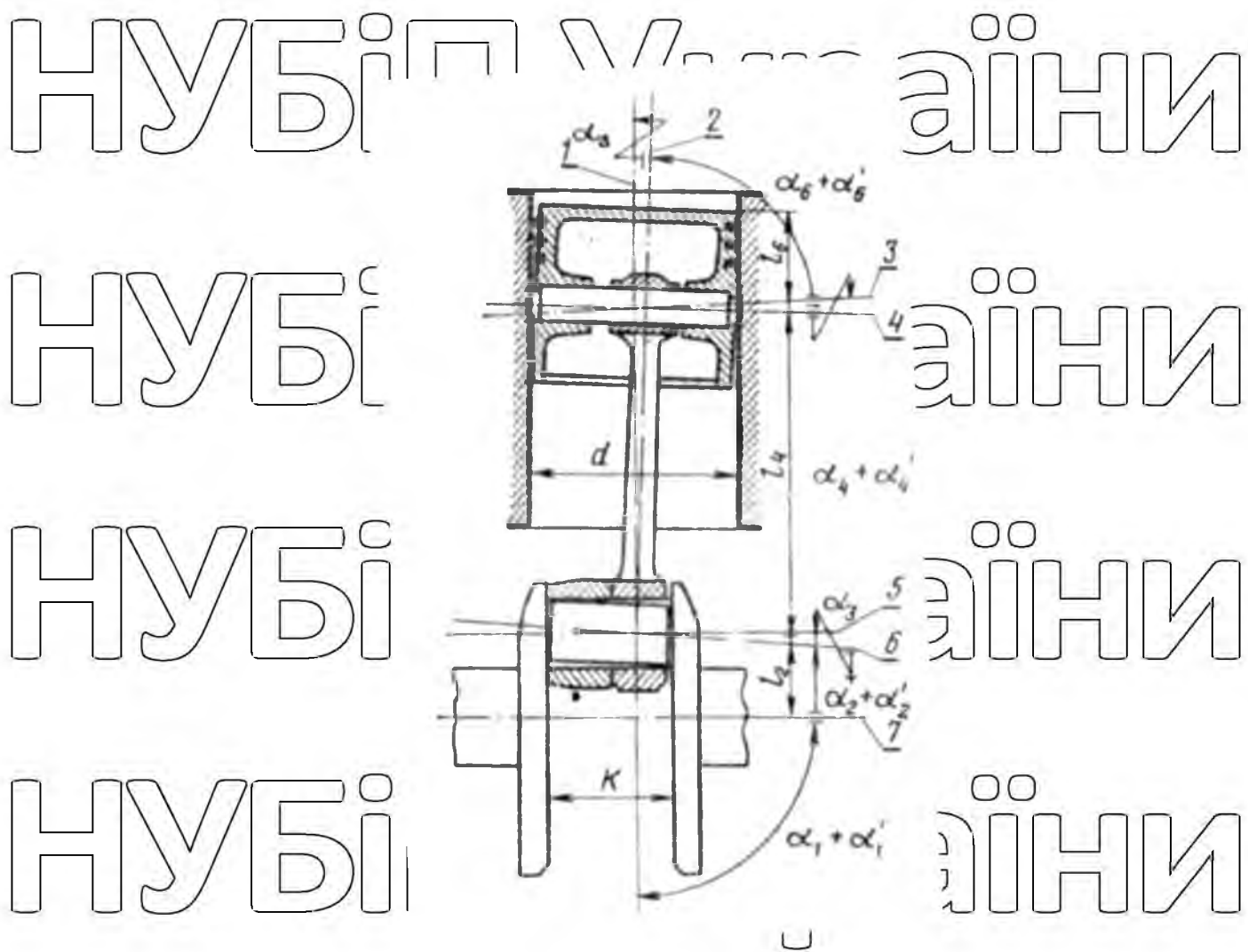


Рис. 1.2. Розмірний ланцюг кривошипно-шатунного механізму двигуна.

На рис. 1.2 показано схему розмірного ланцюга, що визначає перекос поршня в циліндрі. Рівняння розмірного ланцюга має вигляд [1]:

$$\alpha_{\Delta} = \alpha_1 + \alpha'_1 + \alpha_2 - \frac{l_4 + l_6}{k} - \alpha'_2 \frac{l_4 + l_6}{k} - \alpha_3 + \alpha_4 \frac{l_4 + l_6}{l_1} + \alpha'_4 \frac{l_4 + l_6}{l_1} - \alpha_5 + \alpha_6 + \alpha'_6$$

де  $\alpha_1$  - неперпендикулярність осі циліндра до осі колінчастого валу на дільниці

$l = l_4 + l_6$ ;  $\alpha_2$  - непаралельність осей шатунних шийок до осі колінчастого вала;  $\alpha_3$  - зазор між поршневим пальцем і втулкою верхньої головки шатуна;  $\alpha_4$  - непаралельність осей верхньої і нижньої головок шатуна;  $\alpha_5$  - зазор у спряженні шатуна шийка - вкладиш;  $\alpha_6$  - неперпендикулярність осі отвору в бобищах поршня до осі поршня;  $\alpha'_1$  - неперпендикулярність осі циліндра до

осі колінчастого вала на довжині  $l_4 + l_6$  із-за релаксації ливарних залишкових напруг блоку;  $\alpha'_2$  - непаралельність осі шатунних шийок до осі колінчастого вала через релаксації залишкових напруг правки валу;  $\alpha'_3$  - непаралельність осі верхньої і нижньої головок шатуна від релаксації залишкових напружень правки шатуна;  $\alpha'_6$  - непаралельність осі отворів у бобищах поршня до осі поршня від релаксації ливарних залишкових напружень. Перегрупувавши члени, включені в рівняння розмірного ланцюга, перепишемо його у вигляді

$$\alpha_{\Delta} = (\alpha_1 + \alpha'_1 + \alpha_2 \frac{l_4 + l_6}{k} + \alpha'_2 \frac{l_4 + l_6}{k} + \alpha_4 \frac{l_4 + l_6}{l_1} + \alpha'_4 \frac{l_4 + l_6}{l_1} + \alpha_6 + \alpha'_6) - (\alpha_3 +$$

$\alpha_5)$  У випадку, якщо  $\alpha_{\Delta} = 0$ , перекіс поршня компенсується величинами зазорів в сполученні поршневого пальця з верхньою головкою шатуна ( $\alpha_3$ ) і шатунної шийки з вкладишем ( $\alpha_5$ ). Якщо  $\alpha_{\Delta} > 0$ , то перекіс не компенсується зазором в

названих з'єднаннях, що викликає пружну деформацію окремих ланок розмірного ланцюга і появу кромочних напружень на юбці поршня, так як фактичний перекіс поршня не може бути більше радіального зазору в з'єднанні поршень-циліндр при робочій температурі цих деталей.

Зазор між поршнем і гильзою при робочій температурі деталей визначається початковим зазором, конфігурацією утворюючої поршня, а також величинами і характером деформацій деталей в експлуатації.

Поршні в процесі дефектування вибраковують за результатами вимірювань трьох елементів: висоти першої канавки, діаметра отворів у бобищах і діаметра юбки. Головний вибраковочний параметр - розмір першої канавки, так як з'єднання перше поршневе кільце - канавка поршня зношується

більше, ніж інші. Вимірювання показують, що більшість поршнів, що надходять на ремонт, із зносом канавки, що перевищує граничний розмір, мають допустимі безремонту розміри отворів в бобицях і юбці.

#### 1.4. Задачі магістерської роботи

1. Провести аналіз сучасних конструктивно-технологічних параметрів підвищення надійності та технологій відновлення двигунів;
2. Вивчення технічних характеристик вибраних до відновлення деталей, встановлення їх конструктивних параметрів, норм виготовлення, квалітетів точності та інше;
3. Дослідження умов роботи, характеристик спряжених деталей, та розрахунок допустимих та граничних спрощовань і розмірів;
4. Визначення коефіцієнтів придатності, відновлюваності та вибраковки;
5. На базі отриманих результатів дослідження технічного стану деталей, розрахунків допустимих і граничних параметрів, коефіцієнтів вибрати раціональний спосіб відновлення роботоздатності;

Створити технологічну послідовність конструктивно-технологічних параметрів підвищення надійності та відновлення роботоздатності деталей, з

розробкою ремонтно - технологічної документації на відновлення ЯМЗ- 238;

Розрахувати техніко-економічні показники від впровадження технології відновлення гильз циліндрів.

#### **РОЗДІЛ 2. АНАЛІЗ СУЧАСНИХ КОНСТРУКТИВНО-**

**ТЕХНОЛОГІЧНИХ ПАРАМЕТРІВ ПІДВИЩЕННЯ НАДІЙНОСТІ ТА**

**ТЕХНОЛОГІЙ ПІДВИЩЕННЯ НАДІЙНОСТІ ДЕТАЛЕЙ.**

##### 2.1. Колінчатий вал

Колінчатий вал є базовою зношуваною деталлю, яка визначає в кінцевому підсумку ресурс і витрати на ремонт двигунів. Поряд з цим на виготовлення

колінчастого вала витрачається велика частина сталевого прокату, що йде на виробництво дизеля. Тому дослідження щодо підвищення міцності колінчастих валів займають центральне місце в програмі робіт по збільшенню надійності дизелів ЯМЗ. Для підвищення надійності колінчатих валів одночасно проводилися конструкторські розробки і дослідження міцності; удосконалювалася технологія для зниження концентрації напружень і залишкових напруг і застосовувалися зміцнюючі методи, поліпшувались формоутворення заготовки, термічна обробка і якість металу. Все це поєднувалося з підвищеннем технічного рівня експлуатації і ремонту.

Нагадаємо, що колінчаті вали дизелів ЯМЗ-236 і ЯМЗ-238 виготовляються з марганцевистої сталі типу 30Г, а дизелів ЯМЗ-240 - з хромованадієвої сталі. Корінні і шатунні шийки, а також шийки під ущільнюальні манжети піддаються поверхневому загартуванню з нагріванням СВЧ.

Конструкція колінчастих валів дизелів ЯМЗ має ряд особливостей: значні діаметри корінних і шатунних шийок, велике перекриття цих шийок, відносно великий радіус галтелей. Крім того, противаги виготовлені окремо від вала, що дозволяє поліпшити формування в штампуванні. У шатунних шийках є отвори-брудозбирники, які зменшують масу вала і в деякій мірі забезпечують відцентрове очищення масла, що надходить до шатунних підшипників, а також знижують масу противаг.

Наведені основні геометричні характеристики колінчастих валів дизелів ЯМЗ-236, ЯМЗ-238НБ, ЯМЗ-238Н і ряду V-подібних дизелів-аналогів свідчать про те, що пропорції елементів колінчастих валів дизелів ЯМЗ відповідають сучасним аналогам.

Рівні напруг галтельних ділянок колінчастого вала дизеля ЯМЗ-238 і дизелів-аналогів показані на рис. 2.1.

Для таких деталей, як колінчастий вал, які піддаються складному навантаженню, в умовах масового виробництва поділ факторів, що визначають їх працездатність, на конструкторські, металургійні і технологічні

є досить умовним. Це стосується в першу чергу до чинників, що визначають концентрацію напружень, і до розробки методів змінення найбільш навантажених елементів. Напруження в галтелих ділянках колінчастих валів дизелів ЯМЗ-238 нижче напруг відповідних ділянок колінчастих валів ряду сучасних дизелів при одинакових розрахункових максимальних тисках циклу  $p_z$

(рис. 2.10). Таким чином, колінчасті валі дизелів ЯМЗ мають достатню конструктивну міцність. Досить висока і зносостійкість колінчастих валів. Вона не лімітує досягнутого ресурсу дизелів і його підвищення.

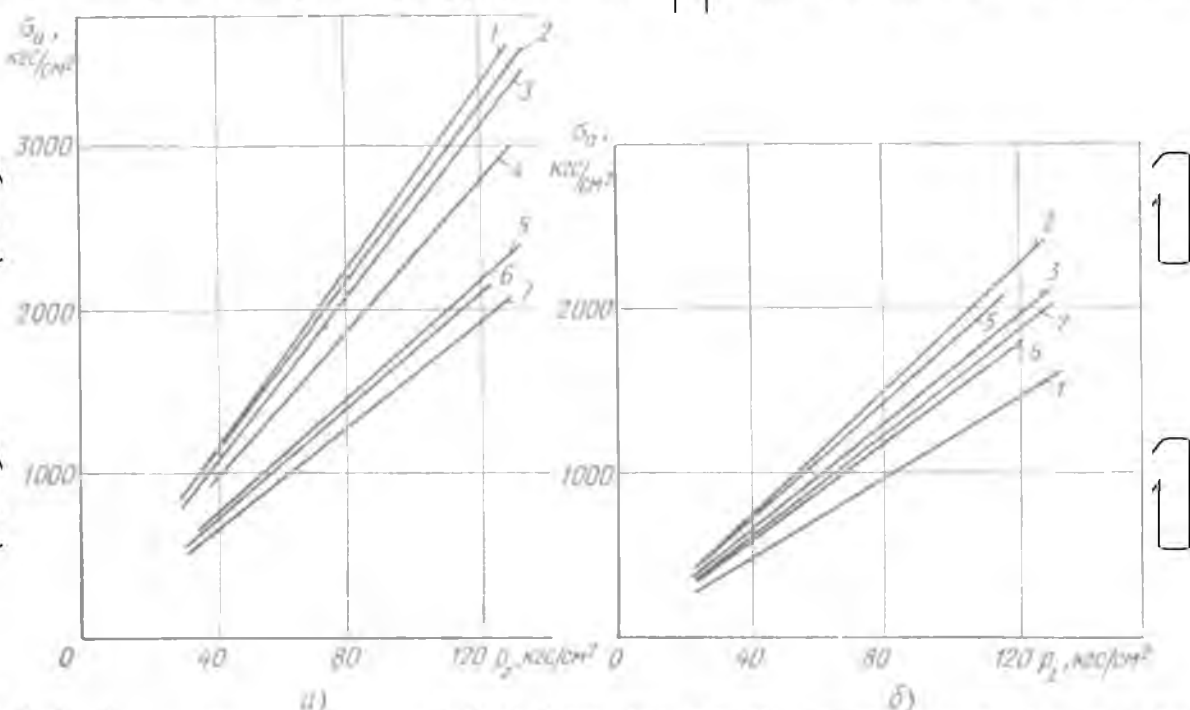


Рис. 2.1. Амплітуди напружень  $\sigma_0$  в галтелях колінчастих валів різних двигунів: а - проміжних щік; б - крайніх щік; 1 - Камминс 430; 2 - Дейтц F8L413; 3 - Камминс V6-200; 4 - B2 (Д12); 5 - Даймлер-Бенц ОМ-403; 6 - ЯМЗ-238; 7 - GMC.

Однак досвід експлуатації визначив доцільність проведення комплексу робіт з підвищення експлуатаційної стійкості колінчастих валів, тим більше,

що освоюється виробництво все більше форсованих дизелів сімейства ЯМЗ. В результаті виконаних досліджень були знайдені рішення, впровадження

яких дозволило істотно підвищити експлуатаційні якості колінчастих валів.

Зупинимося на результатах цих досліджень.

**Холодна накатка галтелей роликами.** Передбачалося змінення елементів валів шляхом створення стискаючих напруг в галтельних ділянках

методом пластичної деформації, зокрема, обкаткою галтелей роликами.

Експериментально було визначено допустимий тиск інструменту на обкатувану поверхню, обрана форма його робочої поверхні і, нарешті, зв'язок цих чинників з деформацією вала і його втомлюючою міцністю.

Ролик, навантажений важільно-гіdraulічною системою, обкатує галтель по всій торoidalній поверхні від центру до периферії (рис. 2.2), так як ролик має спеціальну форму зі змінною ширинною робочої поверхні. Необхідність застосування ролика з таким профілем пояснюється тим, що при виготовленні колінчастих валів неможливо забезпечити однакові радіуси їх галтелей і робочої поверхні ролика. Якщо радіус робочої поверхні ролика менше радіуса

галтелей вала (рис. 2.3, а), то змінюються тільки центральна частина галтелей. Якщо радіус робочої поверхні ролика, більше радіуса галтелей вала (рис. 2.3, б), то змінюються тільки периферійні ділянки галтелей вала.

НУБІП України

НУБІП України

НУБІП України

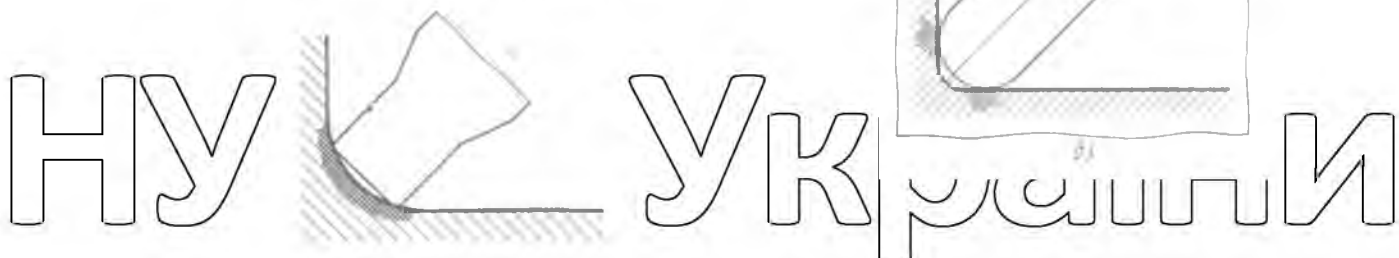
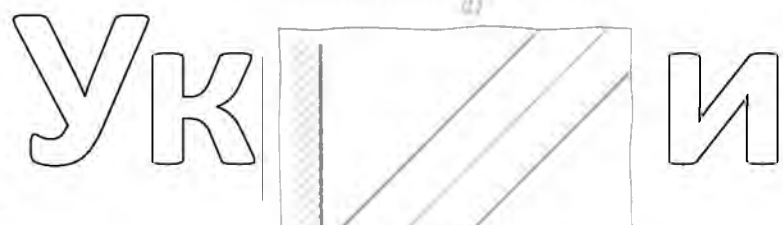
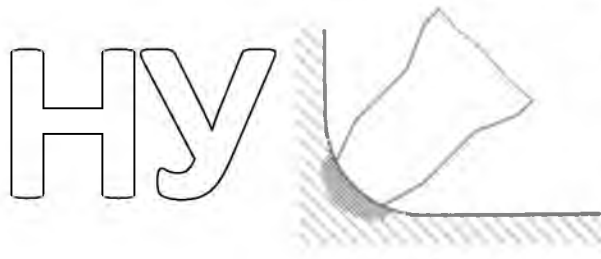
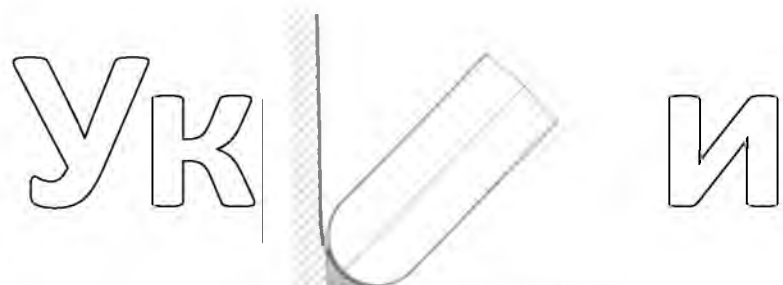
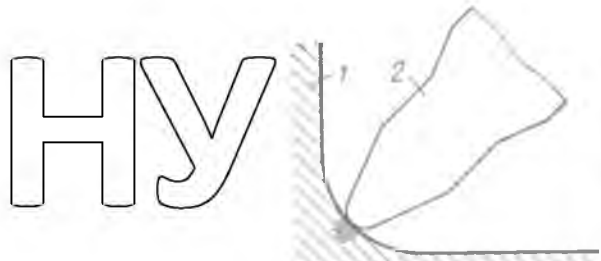
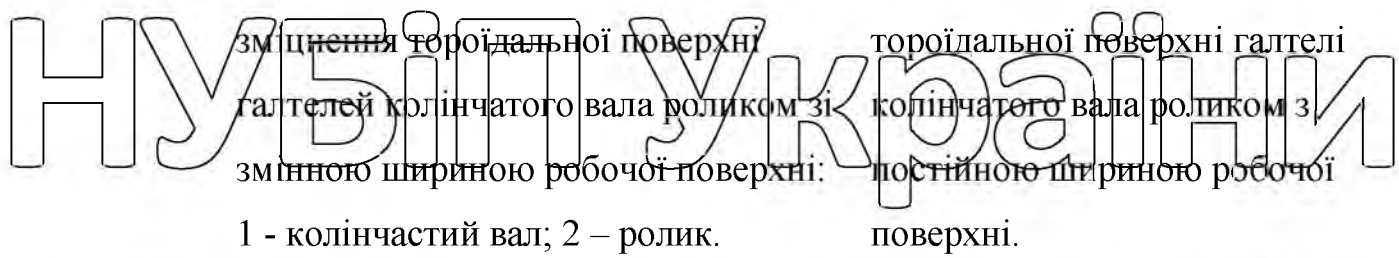


Рис. 2.2. Схема послідовного

Рис. 2.3. Схема зміщення



торціальної поверхні галтелей колінчастого вала роликом з постійною шириною робочої поверхні.

На рис. 2.4, а показано вплив сили обкатки роликом на міцність від утоми колінчастого вала, а на рис. 2.4, б і в - відповідно на його подовження і прогин вала, що приводить до биття шийок. Втомну міцність колінчастого вала в результаті зміщення обкаткою роликом можна підвищити на 75% (рис. 2.4, а).

Однак при збільшенні міцності більш ніж на 20% на поверхнях галтелей

виникають тріщини і відшаровується верхній шар металу («лущення»), а також помітно змінюється довжина вала (рис. 2.4, в) і збільшується вигин осі його корінних шийок (рис. 2.4, б). У разі підвищення втомної міцності на 70%

його довжина зростає на 1,3 мм (рис. 2.4, в). Внаслідок цього, а також через

неприпустимість холодної правки колінчастих валів збільшення втомної міцності буде обмежено 15 - 20%. При цьому для компенсації деякої залишкової деформації вала операцію чистовогошлифування корінних шийок

стали проводити після зміщення галтелей. Щоб уникнути врізання шліфувального круга в зміщену поверхню галтели, у останній була зроблена проточka глибиною до 0,2 мм. Введення переходної ділянки, як показали втомні випробування колінчастих валів, не зничило їх міцність. Наявність цієї ділянки дозволяє повторно перешліфовувати шийки валів на перший ремонтний розмір без концентрації напружень в зоні врізання абразивного каменю в шийку вала.

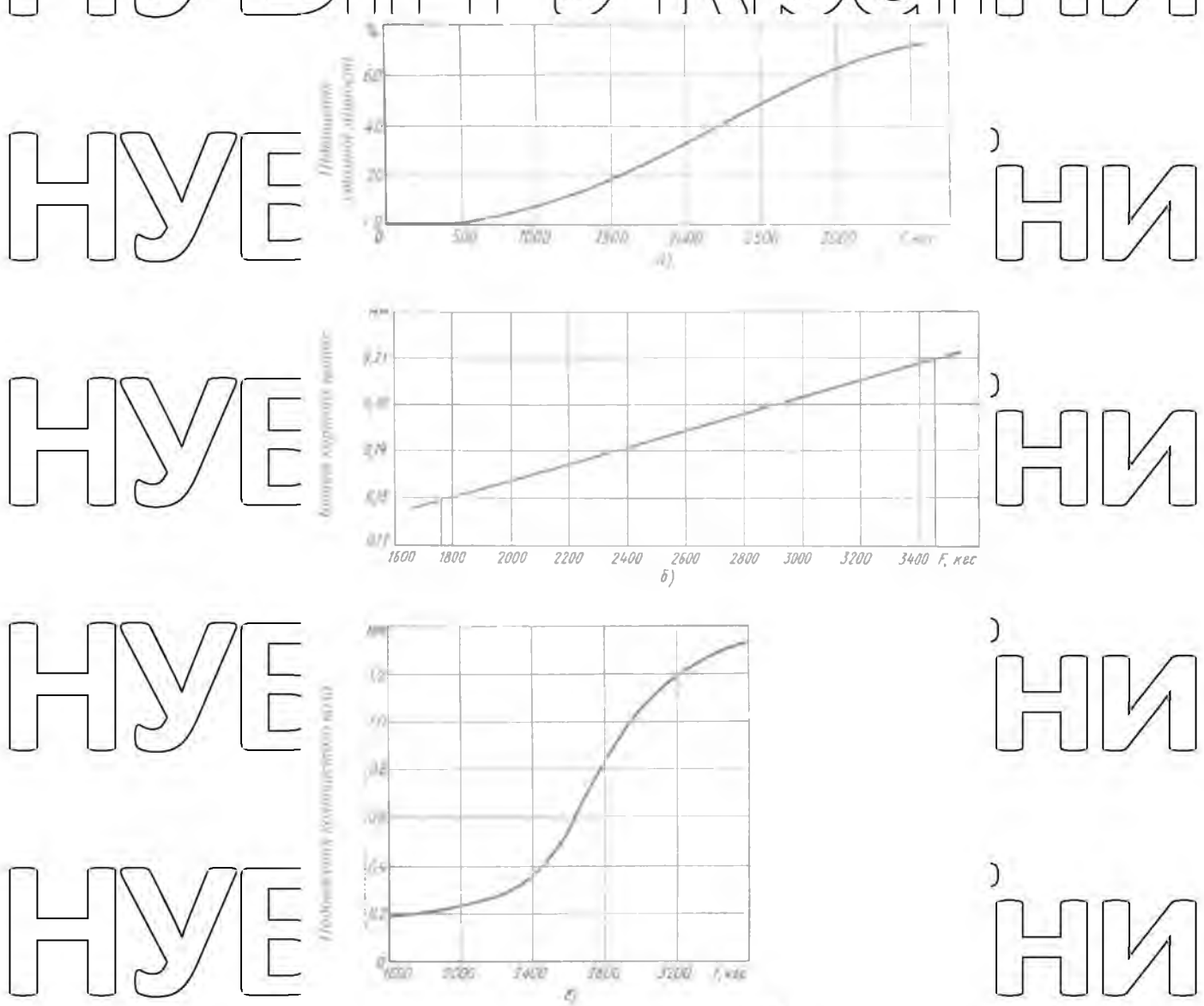


Рис. 2.4. Вплив сили  $F$  обкатки галтелей колінчатого вала на його міцність

і деформацію.

**Усунення холодної правки колінчастих валів.** Наявність значних залишкових напруженень в колінчастому валу негативно позначається на надійності як власне вала, так і сполучених з ним деталей і перш за все підшипників (вкладишів) і блоку циліндрів. Холодна правка вала в процесі механічної обробки сприяє виникненню великих залишкових напруженень.

Дослідженнями на втомних машинах колінчастих валів, що піддавалися холодної правки відповідно до вихідного технологічного процесу, і валів, що не піддавалися віправленню, встановлена значна різниця в їх міцності.

Втомна міцність колінчастих валів (рис. 2.5), що піддавалися холодної правки, знижується на 30% і більше. При цьому характерно значне розсіювання руйнівних напруженень.

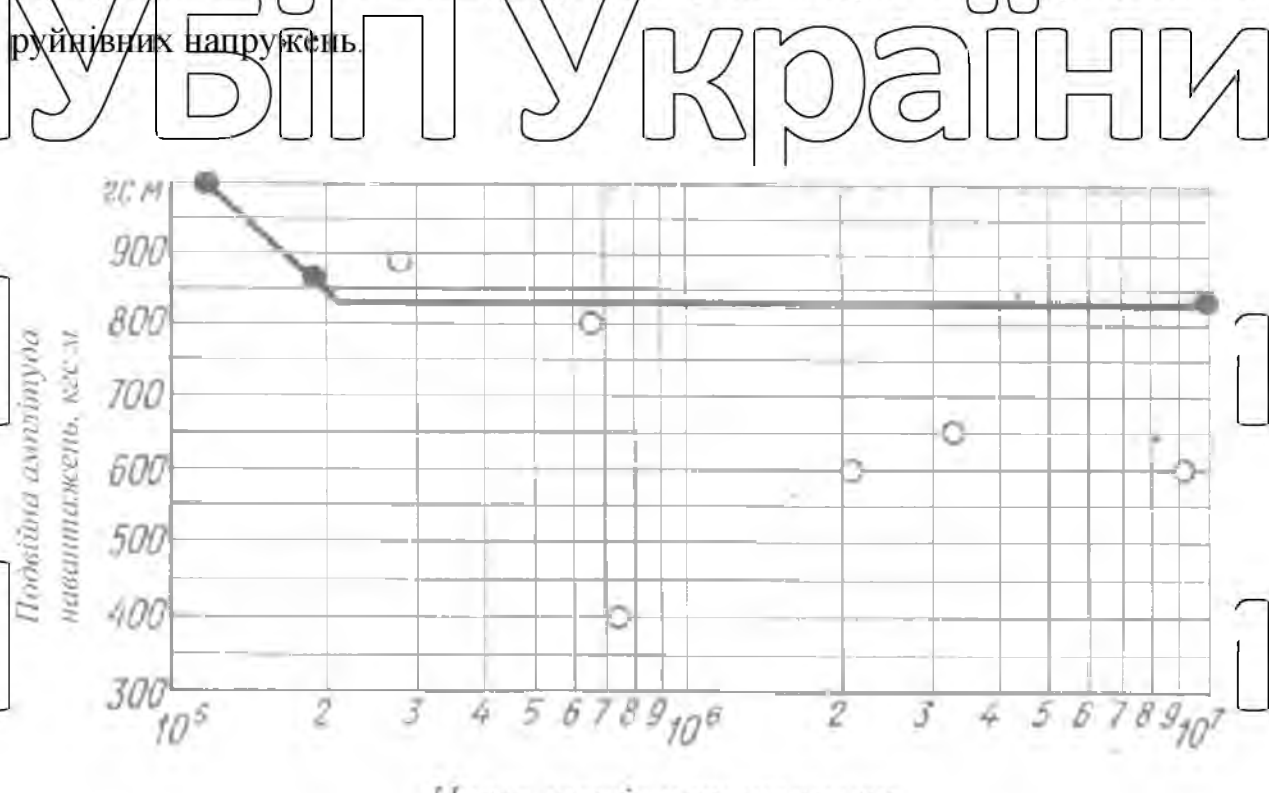


Рис. 2.5. Втомна міцність колінчастих валів зі сталі 50Г, поліпшених в поковці, але без зміщення галтелей роликами (діаметр корінних і шатунних шийок відповідно 105 і 85 мм):

○ - правленіх в холодному стані при виготовленні; ● - виготовлених без

холодної правки

**НУБІЙ Україні** Внаслідок цього був розроблений ряд положень, що дозволили створити технологічний процес виготовлення колінчастих валів при масовому виробництві без застосування операцій правки і без збільшення сумарних припусків на механічну обробку.

**НУБІЙ Україні** До цих положень відносяться: вибір способу базування валів, що забезпечує їх мінімальну поводку; вибір способу обробки, що обумовлює мінімальні напруги в валах; призначення міжоператорських припусків на подальшу операцію з урахуванням не тільки виду подальшої обробки, але і поводку вала на попередній операції; введення операції виправлення технологічних баз; зміна способу перевірки кривизни осі корінних шийок вала (замість перевірки від центральних отворів введена перевірка щодо осі крайніх корінних шийок); зміна послідовності технологічних операцій так, щоб забезпечувалася співвісність корінних шийок при обробці їх після операцій, під час яких створюються напруги в валах.

**НУБІЙ Україні** Було встановлено, що наведені вище положення необхідно дотримуватися і при термічній обробці штамповок валів в вертикальному положенні. Ця обробка дозволила зменшити кривизну штамповок.

**НУБІЙ Україні** **Зменшення концентрації напружень в колінчастих валах.** Напружений стан колінчастого вала дизеля визначається не тільки розмірами і динамічними на нього навантаженнями, але і концентрацією напружень в його елементах. Значне, а в ряді випадків визначальний вплив концентраторів на загальну надійність колінчастих валів викликало необхідність усунути ці концентратори або знизити ступінь їх впливу на міцність від утоми колінчастих валів.

**НУБІЙ Україні** На рис. 2.6, а і б показані відповідно вихідна конструкція колінчастого вала і змінена з метою зменшення концентрації напружень в шатунних шийках і щіоках. Тріщини виникали в технологічній розточці діаметром 40 мм (рис. 2.6, а) в зоні збігу уступу всередині брудозбирника шатунної шийки з поперечним отвором масляного каналу, гострих кромок отвору

брудозбірників на скосі щоки і технологічних баз на щоках вала. У зміненій конструкції вала (рис. 2.6, б) це розточування анульоване, введено закруглення при виході брудозбірників на щоку, змішений технологічний уступ всередині брудозбірника, зменшений діаметр брудозбірників з 35 до 30 мм і ліквідовані технологічні бази на щоках. Після введення зазначених змін виникнення тріщин припинилося.

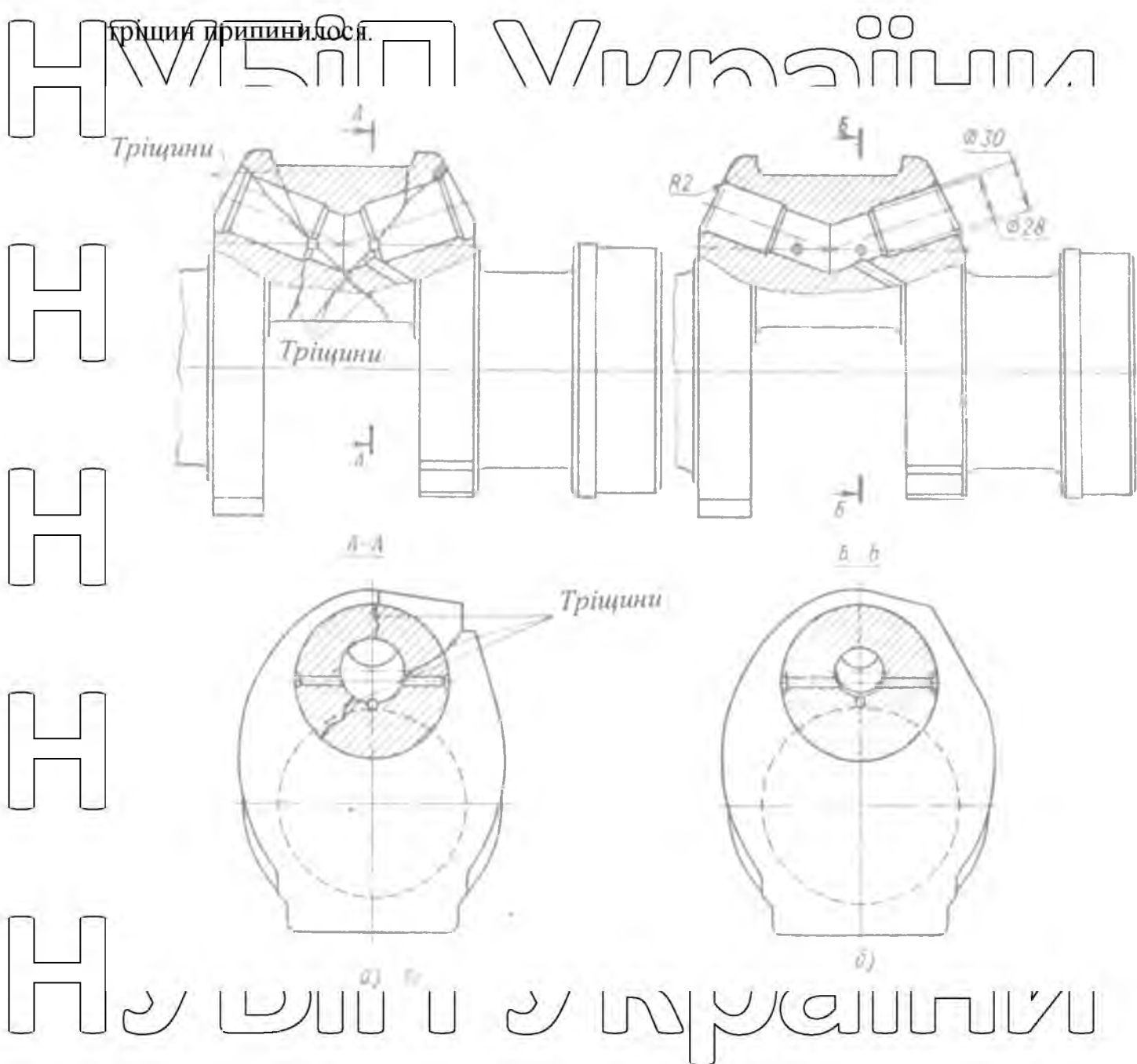


Рис. 2.6. Варіанти кривошипа колінчастого вала і місця виникнення

втомних тріщин.

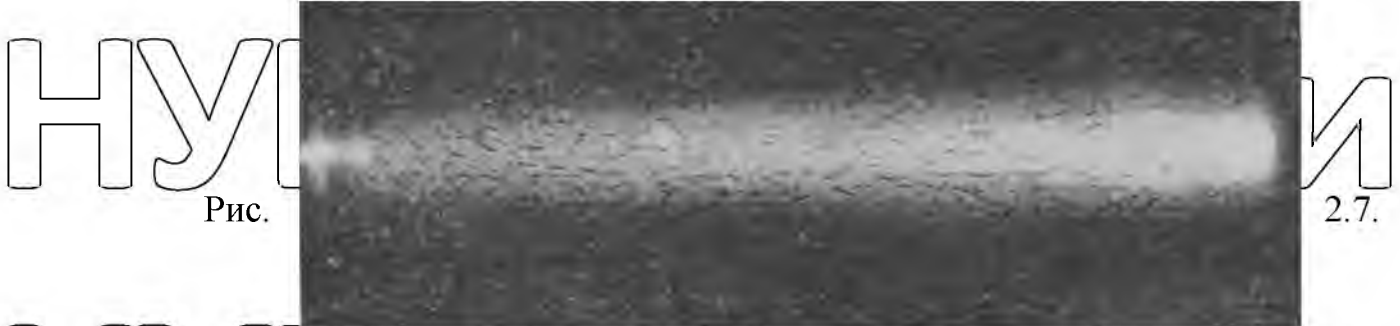


Рис.

2.7.

Мікротріщини в загартованій з нагріванням СВЧ зоні шатунної шийки, відповідної роз'єму штампа

Одним з видів концентраторів напружень в шатунних шийках

колінчастих валів є мікротріщини в загартованої з нагріванням СВЧ зоні,

відповідної роз'єму штампа (рис. 2.7). В якості однієї з найбільш ймовірних

причин виникнення мікротріщин слід зазначити вихід в роз'єм штампа ліквакаційної, менш міцної

більш засмічено неметалічними включеннями

частини металу при штампуванні вала. Іншою причиною появи цих тріщин

може служити неоднорідна «плямиста» твердість поверхні шатунних шийок

внаслідок «струменевого» охолодження (особливо при засміченні окремих

сопел індуктора) шийок після нагрівання СВЧ, що призводить до виникнення

місцевих розтягуючих напружень через різну структуру окремих

мікродільниць. Даний недолік збільшувався при загартуванні шийок СВЧ на

необертальному валу. Нарешті, тріщини можуть з'явитися внаслідок відпуску

окремих ділянок металу через перегрів їх при шліфуванні або сколюванні

шайок з вкладинами підшипників в умовах експлуатації при недостатньому

мащенні, що призводить до виникнення місцевих розтягуючих напружень

внаслідок зміни структури окремих ділянок.

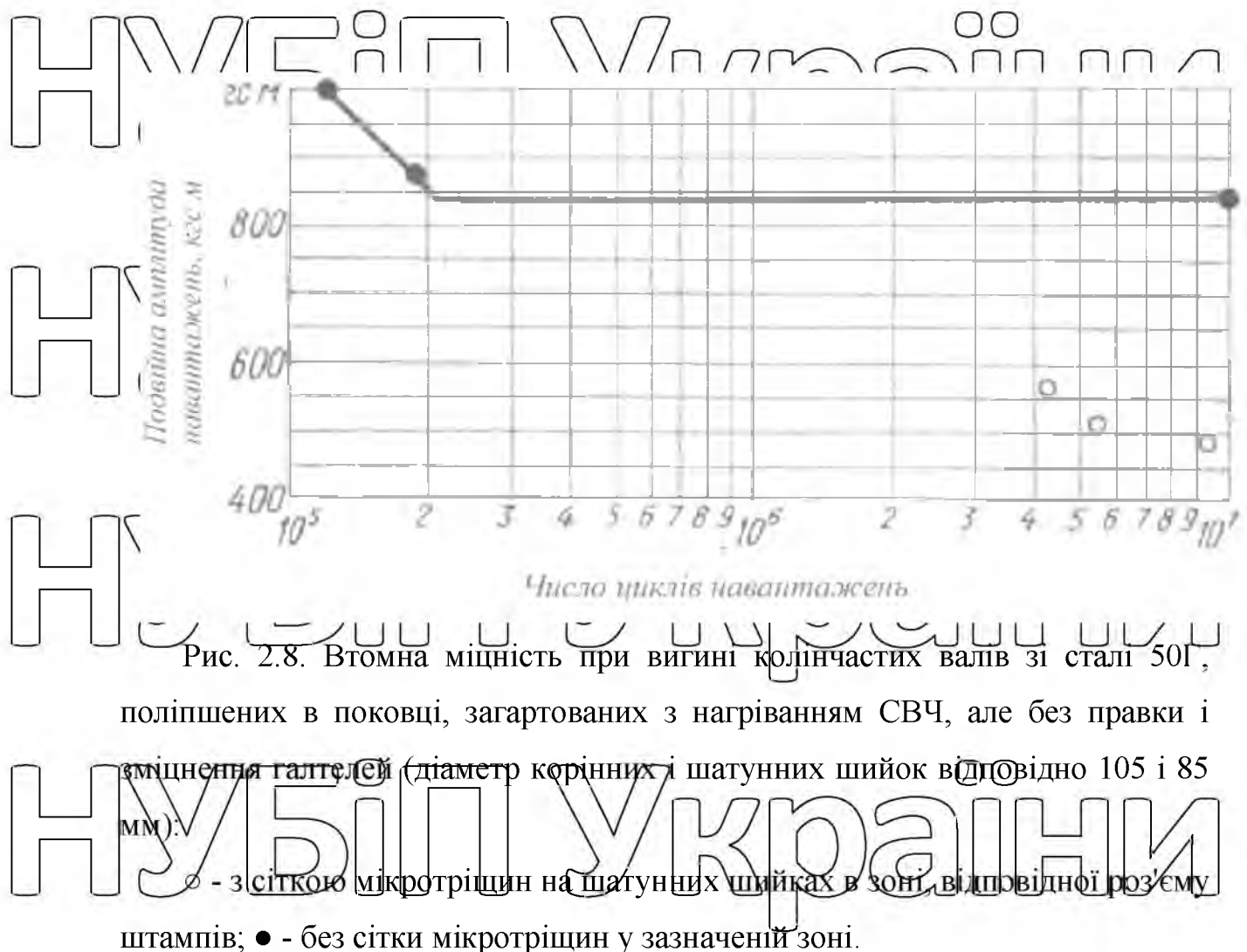
Наявність мікротріщин призводить до значного зниження втомної міцності колінчастих валів. Про це свідчать дослідні дані, наведені на рис. 2.8

і 2.9. Як випливає з графіків, наявність на шатунних шайках дефектів у вигляді

сітки мікротріщин зменшує втомну міцність колінчастого вала при вигині в

межах 40% і при крученні 20%. Ще більш небезпечними стають мікротріщини на шатунній шайці в зоні відповідної роз'єму штампа, коли вони виходять на

галтели або в зону масляних каналів шатунних шайок (рис. 2.10, а і б).



Одним з важливих напрямків стало вдосконалення фізичних методів виявлення тріщин. Цикл дослідно-методичних робіт дозволив встановити, що для ефективного виявлення тріщин при перевірці колінчастих валів на магнітному дефектоскопі необхідно наступне: перед перевіркою на магнітному дефектоскопі колінчаті вали знежирювати. Опідтримувати концентрацію ферромагнітного порошку в межах 25...30 г на 1 л сусpenзії, сила намагнічуючого струму в амперах повинна бути не менше  $D_{III}$  (де  $- D_{III}$  діаметр найбільшої шийки вала в мм).

Найефективнішим засобом боротьби з мікротріщинами є поліпшення якості металу зовнішніх шарів затяжки, тому було проведено дослідження визначення ефективності використання більш якісної сталі рафінованої синтетичними шлаками, замість стандартної сталі 50Г. В результаті застосування рафінованої стали кількість колінчастих валів з мікротріщинами по роз'єму штампів зменшилася в 2 рази, а число валів з тріщинами на країках маслинних каналів – в 3,5 рази. Однак відносна кількість валів з неметалевими включеннями в інших елементах дещо зросла (на 4–5%).

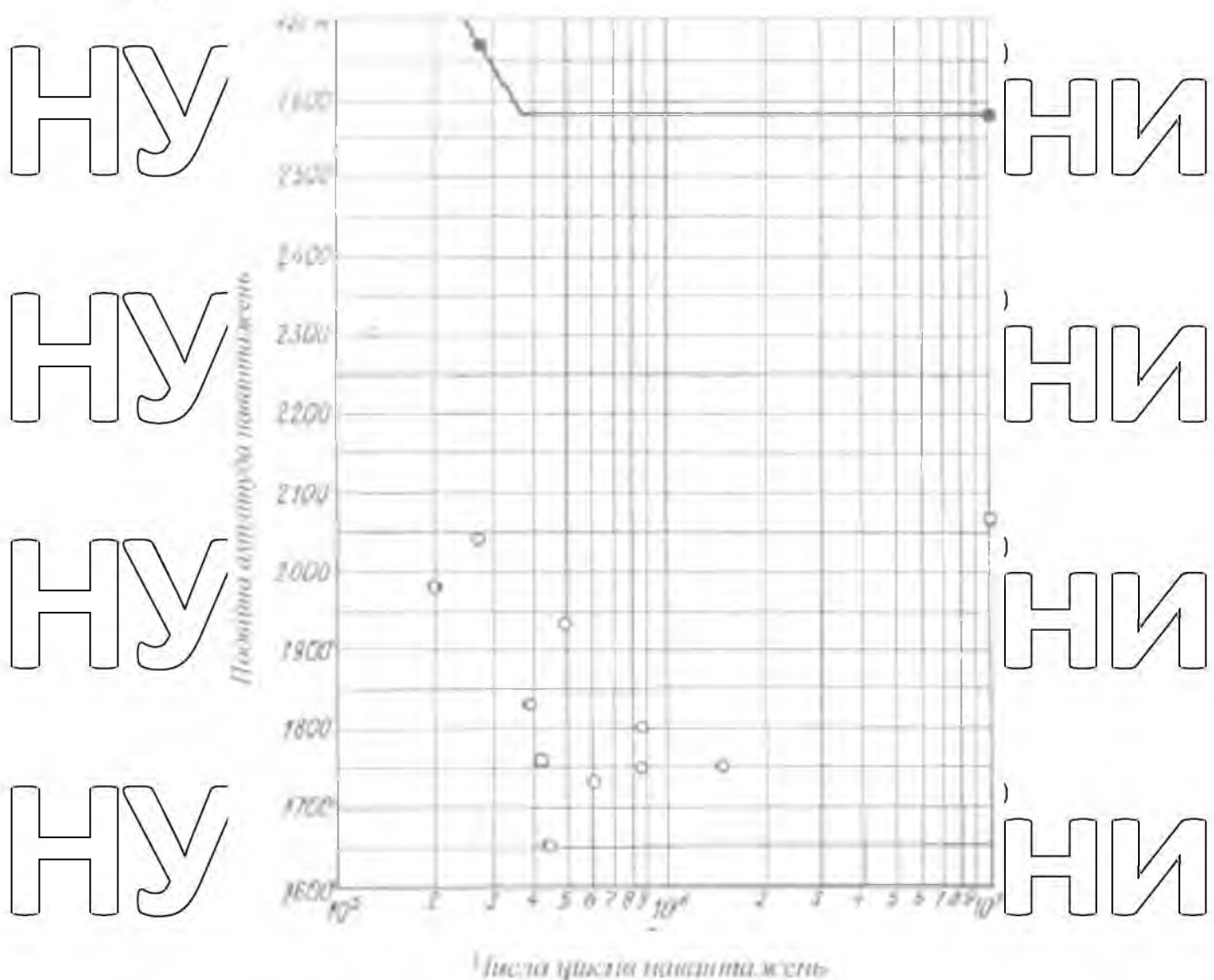


Рис. 2.9. Відома міцність при крученні колінчастих валів (3) сталі 50ГСШ зі зміненими гарячими (діаметр корінних і шатунних шийок відповідно 110

і 88 мм): ○ - з сіткою мікротріщин на шатунних шийках в зоні відповідній роз'єму штампів; ● - без сітки мікротріщин у зазначеній зоні.



Великий вплив на виникнення тріщин на кромках масляних каналів

шатунних шийок надає форма заокруглень цих кромок і чистота обробки їх

перед загартуванням шийок з нагріванням СВЧ. У вихідному варіанті колічастого вала зазначені кромки мали форму, зображену на рис. 2.1, а і полірування їх поверхонь перед загартуванням не проводилося. Внаслідок

цього після гарту шийок з нагріванням СВЧ утворювалися тріщини на

зовнішній кромці і особливо багато на внутрішній. Для усунення цього

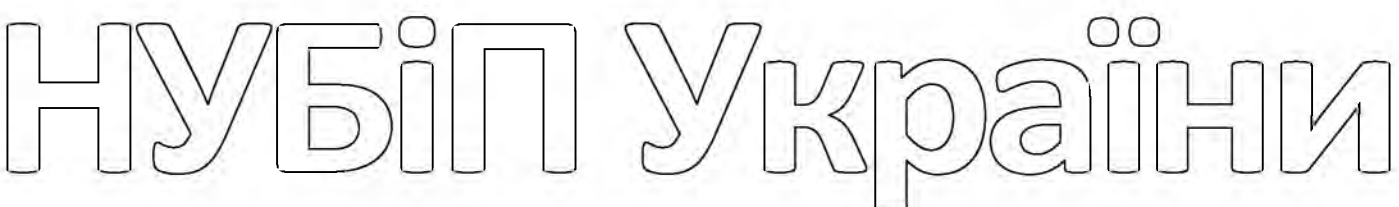
дефекту кромки масляних каналів були закруглені (рис. 2.1, б) і було введено

полірування їх перед загартуванням шийок з нагріванням СВЧ.



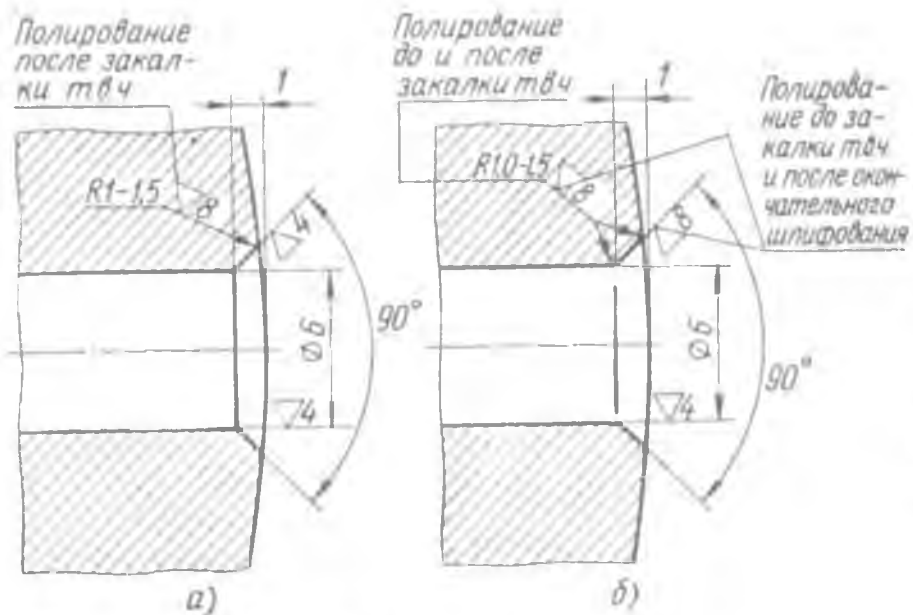
Рис. 2.10. Мікротріщини на шатунній шийці в зоні відповідної роз'єму

штампа



НУЕ

НУЕ



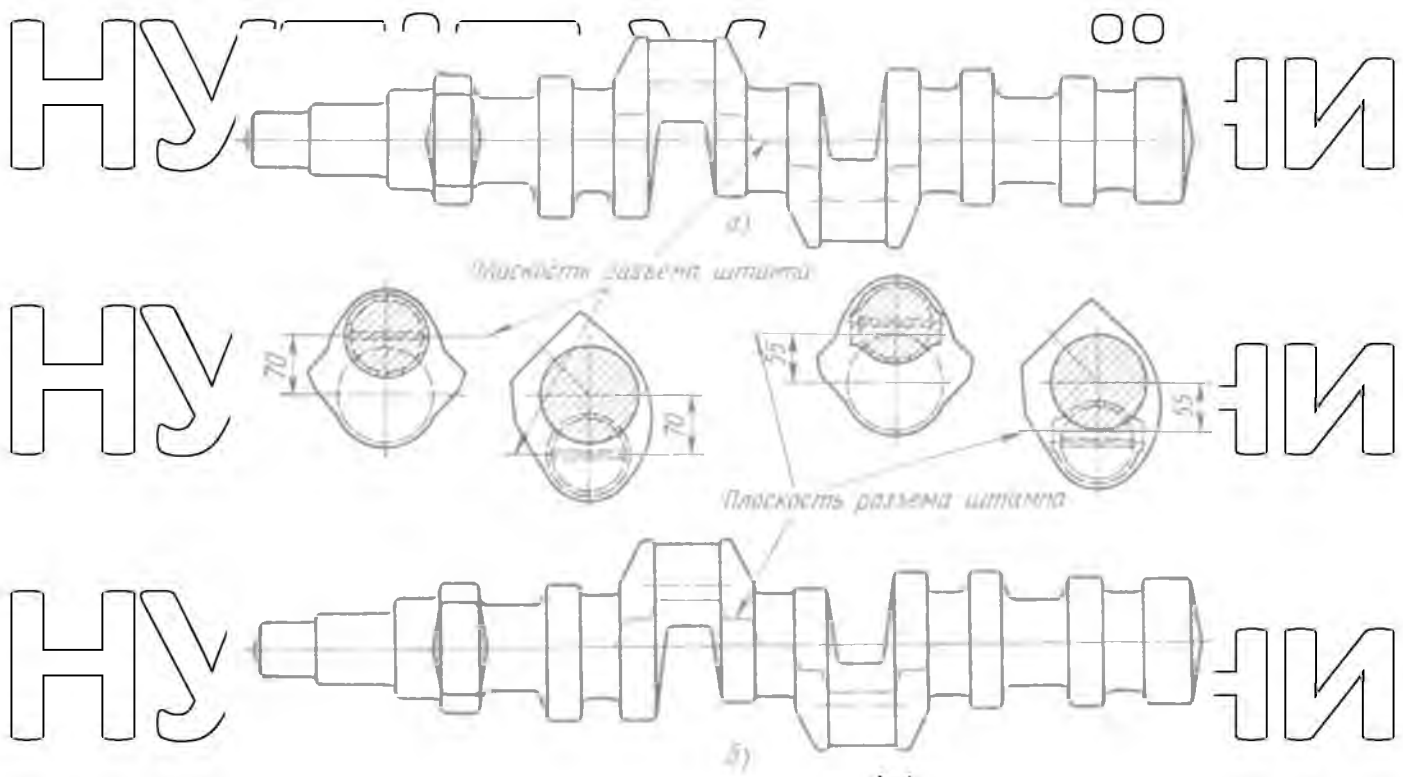
1

1

НУБІЛ УКРАЇНИ

Рис 2.11 Варіанти форм заокруглень і чистоти обробки кромок отворів масляних каналів шатунної шийки колінчастого вала:

а - вихідної конструкції; б - зміненої конструкції



НУБІЛ УКРАЇНИ

Рис 2.12 Конструкції колінчастого вала з різними положеннями площин роз'єму штампа: а - площаина розсмут проходить через отвори масляних каналів

шатунних шийок; площа роз'єму штампа зміщена відносно отворів зазначеніх каналів.

Щоб ліквідувати «плямисту» твердість шийок, стабілізувати глибину і

ширину загартованого шару, була застосована гартування з нагріванням СВЧ

обертового колінчастого вала. Далі, для зменшення інтенсивності впливу мікротріщин на міцність колінчастого вала були вжиті заходи, щоб мікротріщини не виникали на галтелях і у масляних канальцях. З цією метою

ширина незагартованої зони була збільшена з 6-7 до 8-10 мм, а площину

роз'єму штампів зміщена так, щоб вона не проходила по отворах масляних каналів шатунних шийок (рис. 75). Більш ефективним способом усунення

даного недоліку є введення попередньої гибки заготовки після підкатки перед штампуванням, що дозволяє виключити вихід ліквакційної частини металу

заготовки на зовнішню частину щік і шатунних шийок з внутрішньої сторони

кривошипа, де виникають найбільші циклічні напруги в порівнянні з іншими елементами кривошипа. Це також сприяє більш сприятливому розташуванню

внутрішніх волокон металу по контуру вала, при якому вони не перериваються

при формуванні валу (рис. 76, а і б).

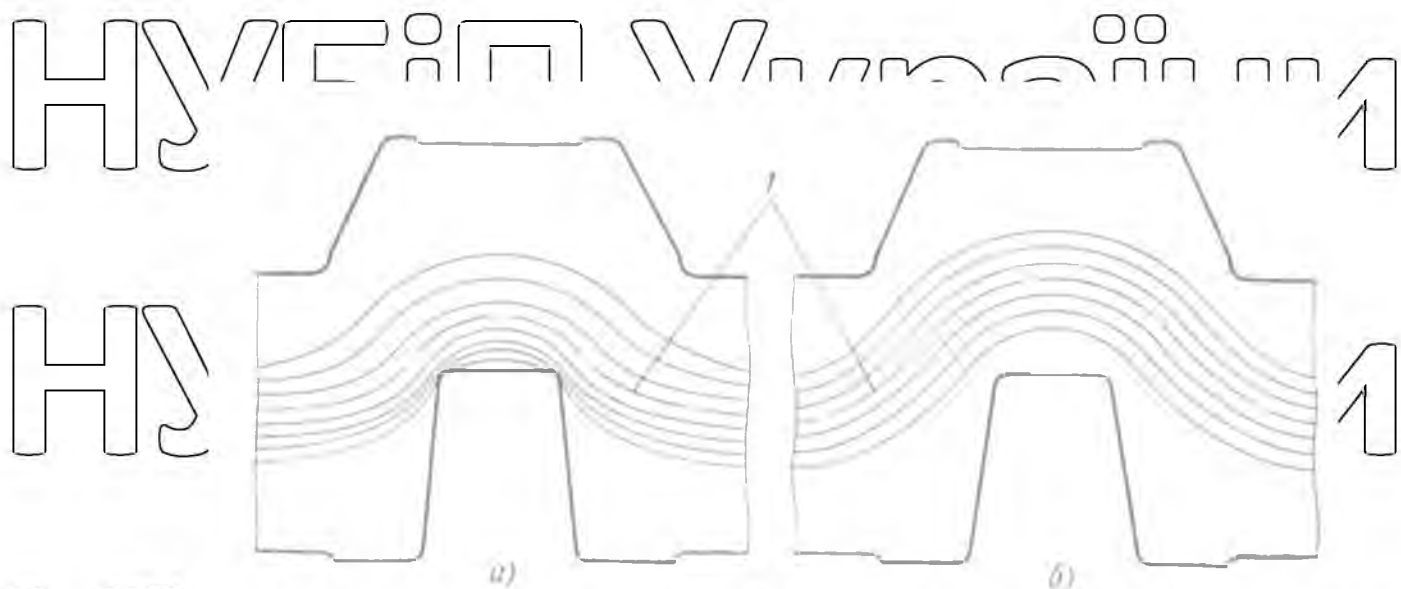


Рис. 2.13. Розташування волокон центральної ліквакційної зони прокату в залежності від способу формоутворення заготовки колінчастого вала:

а - без попередньої гибки після подкатки перед штамуванням; б - з глибокою після подкатки перед штамуванням,  $\square$  - центральна піквацийна зона.

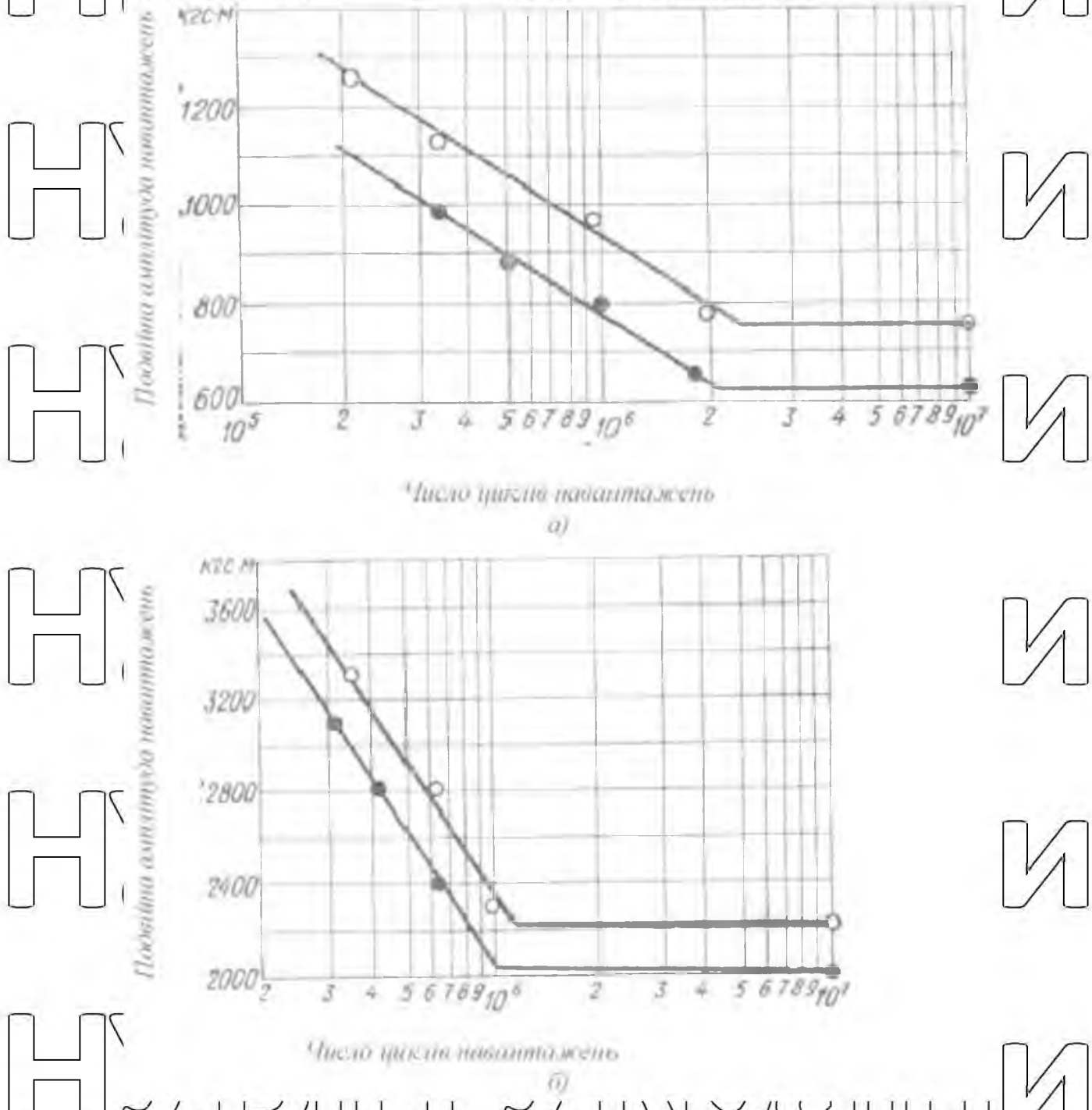


Рис. 2.14. Втомна міцність колінчастих валів зі сталі 50І, нормалізованих в поковці і не піддавалися правці (корінні і шатунні шийки загартовані з нагріванням СВЧ (аппараті не змінюються): а - при згині; б - при крученні;

● - при діаметрі корінник і шатунних шийок відповідно 105 і 85 мм, ○ - при діаметрі корінник і шатунних шийок відповідно 110 і 88 мм

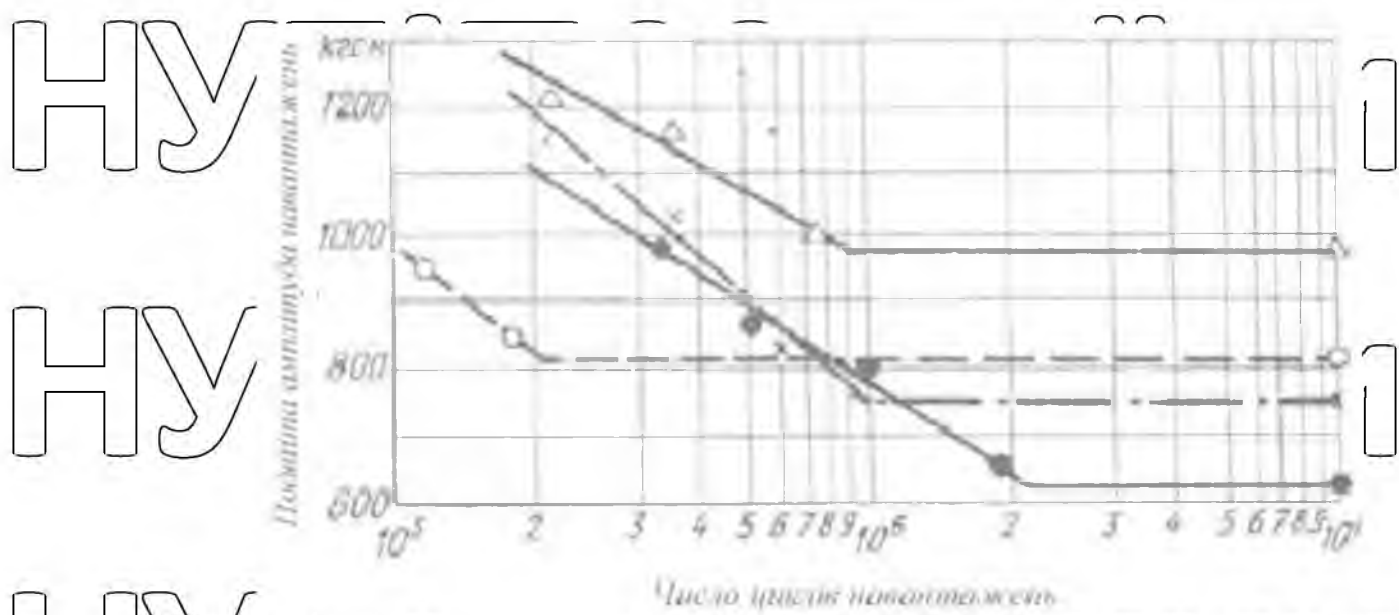


Рис. 2.15. Втомна міцність при згині колінчастих валів з корінними і

шатунними шийками діаметром відповідно 105 і 85 мм, загартованих з

нагріванням СВЧ і не піддавалися правці; галтели не зміцнювались:

- - зі сталі 50Г, нормалізований;
- ✗ - зі сталі 50Г, поліпшеної після попередньої механічної обробки;
- - зі сталі 50Г, поліпшеної в поковці;
- △ - зі сталі 50ХФА, поліпшеної.

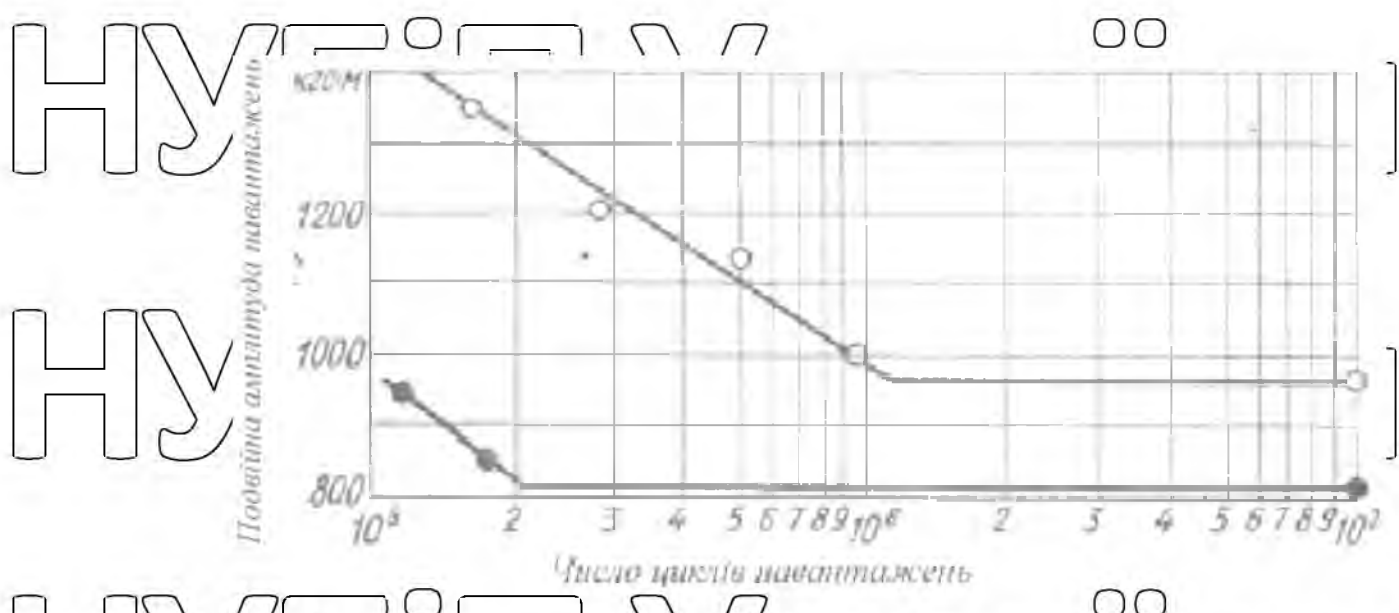


Рис. 2.16. Втомна міцність при згині поліпщених в поковці колінчастих валів зі сталі 50Г з корінними і шатунними шийками діаметром відповідно 105

і 85 мм, що не піддавалися правці: ● - без накатки галтелей роликами; ○ - з накаткою галтелей роликами.

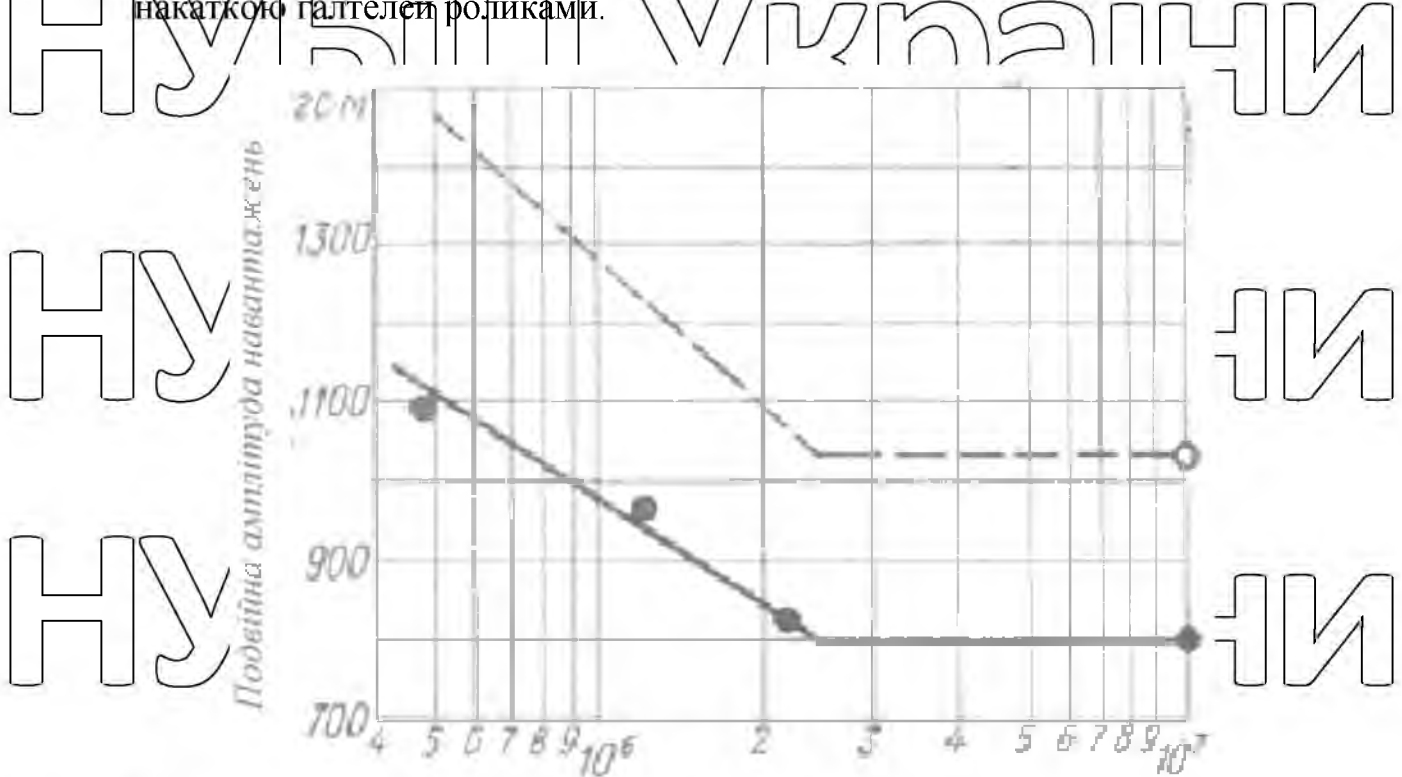


Рис. 2.17. Втомна міцність при вигині колінчастих валів з корінними і шатунними шийками діаметром відповідно 110 і 88 мм, загартованих з нагріванням СВЧ і не піддавалися правці; галтели зміщені накаткою роликами: ● - зі сталі 50Г, нормалізовані; ○ - зі сталі 50ХФА, поліпшені

Після проведення ряду досліджень в якості перспективного матеріалу для колінчастих валів дизелів ЯМЗ-236 і ЯМЗ-238 була обрана хромованадієва середньовуглецева сталь, що має хорошу прогартовуваність при допустимому мінімальному вмісті вуглецю, а також значні стійкість проти відпуску і втомну міцність.

Були проведені також втомні випробування нормалізованих і поліпшених в поковці колінчастих валів із сталей 50Г і 50ХФА, а також поліпшених валів

зі сталі 50Г після передньої їх механічної обробки (рис. 2.16). В цих графіков випливає, що втомна міцність поліпшених в поковці колінчастих валів зі сталі 50Г на 20% вище, ніж нормалізованих валів, а втомна міцність валів зі сталі

50ХФА на 14% вище, ніж поліпшених валів зі сталі 50Г. Зміцнення накаткою галтелей поліпшених валів зі сталі 50Г підвищує їх втомну міцність не менше ніж на 15% (рис. 2.17).

Графік прогнозованої втомної міцності колінчастих валів зі сталі 50ХФА

при впровадженні описаних вище змін наведено на рис. 2.17.

Міцність колінчастих валів може бути ще більш підвищена шляхом азотування. Так, при азотуванні валів зі сталі 50ХФА втомна міцність підвищується на 50%. Виготовлення колінчастих валів зі сталі 40Х1ИВА

дозволяє ще більше збільшити ефект від азотування. У разі застосування азотування колінчастих валів при недостатній подачі масла в сполученні шийок з підшипниками тріщини не виникають, а при експлуатації дизелів з колінчастими валами, загартованими з нагріванням СВЧ, ймовірність їх появи не виключена, наприклад, в умовах частих пусків і роботи при низькій температурі.

Крім того, азотування підвищує зносостійкість шийок колінчастого вала (в середньому на 22%).

## 2.2. Шатуни

Шатун є однією з найбільш навантажених деталей дизеля. Трудомісткість і вартість усунення відмови шатуна, викликаного недостатньо високою якістю його виготовлення, значно вище, ніж інших відповідальних деталей двигуна.

Підвищення надійності шатунів ускладнено внаслідок їх масового виробництва, однорідності поля розрахункових напружень, а також наявності технологічних концентратів напружень. Тому до шатунів пред'являються більш високі вимоги щодо надійності, ніж до інших деталей дизеля.

Шатуни дизелів ЯМЗ мають високі експлуатаційні якості і не лімітують підвищення ресурсу дизелів. Проте, ґрунтуючись на результатах вивчення

досвіду експлуатації, систематично проводяться роботи з удосконаленням конструкції і технології виготовлення шатунів з урахуванням в першу чергу підвищення стабільності їх розмірів і форми і ремонтопридатності

конструкції. Характерним для шатунів дизелів ЯМЗ-236 і ЯМЗ-238 (рис. 2.18)

є так званий «косий» роз'єм нижньої головки, площина якого не перпендикулярна осі стрижня шатуна. Стик нижньої головки шатуна з кришкою виконаний у вигляді системи попарно оброблених шліців

трапецієподібного перерізу. У стрижні шатуна просвердлений канал для

подачі масла до втулки верхньої головки. Шатуни дизелів ЯМЗ-236 і ЯМЗ-238 виготовляються зі сталі 40Х, дизель ЯМЗ-240 - зі сталі 40ХН2МА.



Дослідження шатунів мали метою визначення та підвищення

їх втомної міцності, а також вивчення і зниження деформацій контактних

поверхонь при роботі дизеля. Серед характерних особливостей напруженого

стану шатуна, крім високих знакозмінних напружень і їх градієнтів, слід

відзначити велику в порівнянні з іншими деталями величину відносини

середнього по масі металу капрugi до максимального. Внаслідок цього

надійність шатуна в значній мірі залежить від концентрації напружень,

обумовлюється конфігурацією деталі та технологічними факторами. Крім

того, проводилися дослідження з виявлення чинників, що впливають на концентрацію напружень в шатуні, і законів, що сприяють їх ослабленню. На рис. 2.19 а показані характеристики втомної міцності шатунів з необробленими полицями (лінія 2) і з полицями, які пройшли обробку резино-абразивними

кругами в зоні зняття облою, що утворюється при штамуванні (лінія 1). Таким чином, втомна міцність шатунів може знижуватися на 20% через наявність концентраторів, що виникають внаслідок абразивної обробки полице.

Ліквідація операції зачистки заготовки абразивними кругами дозволила запобігти появі концентраторів на полицеях стержня і в зоні бобишки короткого болта нижньої головки.

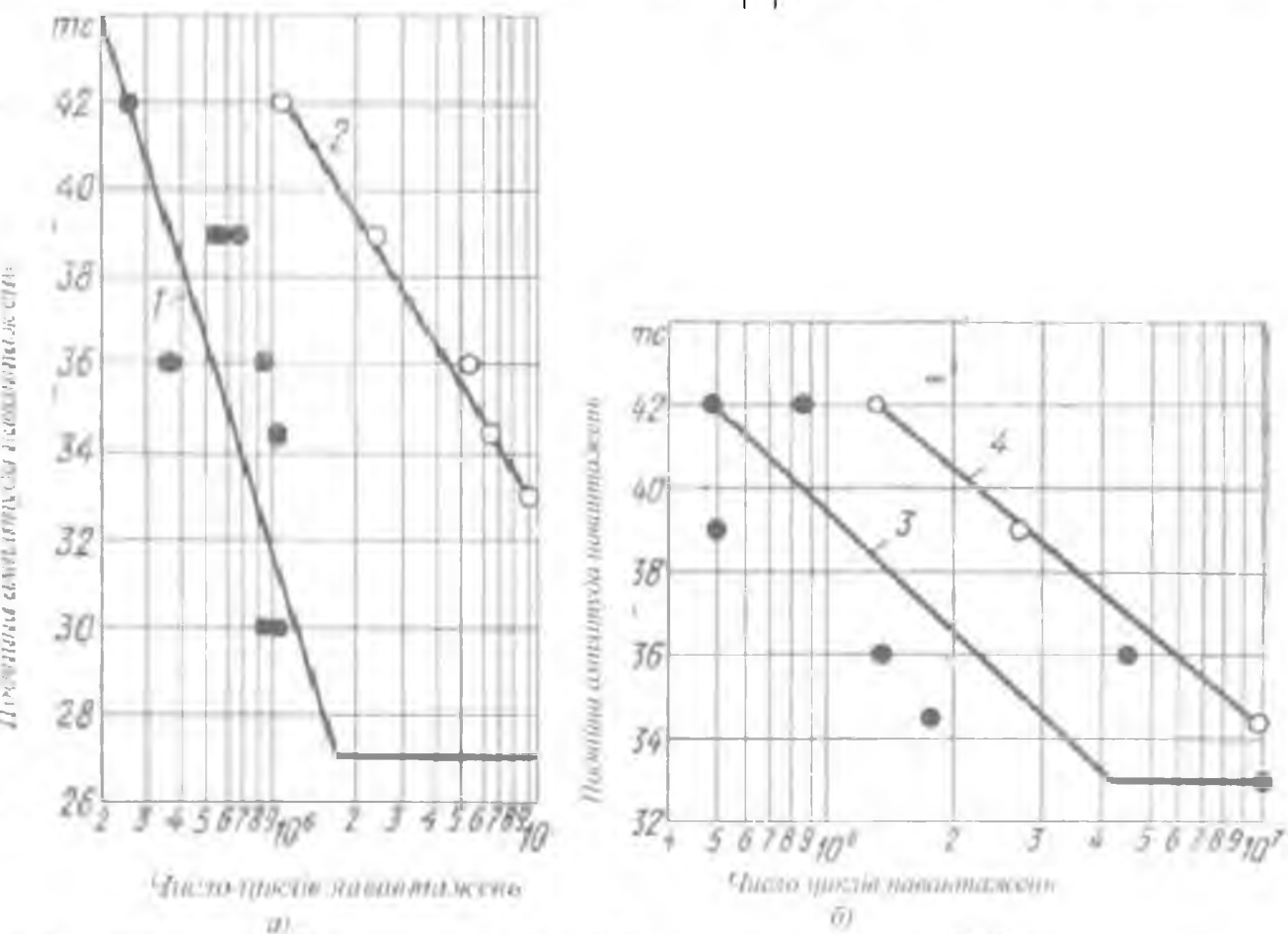


Рис. 2.19. Втомна міцність шатунів



Для перевірки цієї гіпотези була виготовлена партія шатунів з триразовим обтисненням шлінг силою 8 тс перед остаточною обробкою отвору нижньої головки. На рис. 2.20 наведені графіки деформацій отворів кришопінних головок шатунів, виготовлених без обтиску і з обтисненням шліців стиків кришки і шатуна перед остаточною обробкою отворів нижніх головок. Введення в технологічний процес операції обтиску шліців (лінія 2) зменшило деформацію отворів нижніх головок приблизно в 1,7 рази. У зв'язку з цим було переглянуто технологічний процес, в результаті чого вдалося істотно зменшити деформацію.

Подальші дослідження показали, що значна зміна отвори нижньої головки шатуна відбувається в результаті зсуву кришки щодо шатуна через непаралельності утворюють шліців стиків осі отвору нижньої головки. Забезпечити точну паралельність утворюють шліців і осі нижньої головки технологічно не вдається, тому що при остаточній обробці отвору нижньої головки неможливо базуватися на що утворюють шліців стиків. Це обумовлено тим, що дана обробка проводиться в зборі з кришкою. Тому для виключення впливу непаралельності утворюють шліців осі отвору нижньої головки на деформацію останньої необхідно запобігти можливості переміщення кришки щодо шатуна в осьовому напрямку.

Щоб перевірити правильність цього припущення, були визначені деформації отворів нижніх головок у партії шатунів, у яких кришки були зафіксовані в площині роз'єму за допомогою тонкостінної втулки 1 (рис. 2.21) при збереженні системи фіксації в поперечному напрямку по шліцах кришки і шатуна. У даній конструкції шатуна не потрібен зазор між кришкою, втулкою і шатуном для компенсації неспіввісності беї різьби шатуна і шатунного брата щодо посадочних пасків. Деформація отвору нижньої головки шатуна при фіксації його кришки втулкою (рис. 83, лінія 2) зменшується в 1,7 рази. Це обумовлено тим, що при такій фіксації повністю виключається вплив непаралельності утворюючих шліців і осі отвору нижньої головки і частковий вплив змінання робочих поверхонь шліців.

Надалі деформація отвору нижньої головки шатуна може бути зменшена шляхом запобігання зсуву кришки щодо шатуна, а також усунення змінання поверхонь стиків. Це підтверджується зниженням деформації отворів нижніх головок шатунів з плоским стиком і фіксацією кришок в осьовому напрямку за допомогою втулки (лінія 3).

### 2.3. Вкладиші корінних і шатунних підшипників.

При проектуванні чотиритактних дизелів ЯМЗ було передбачено застосування шатунних і корінних вкладишів товщиною відповідно 4,0 і 5,5

мм, що виготовляються із сталевої труби. Внутрішня поверхня труби заливалася свинцовистою бронзою. Товщина антифрикційного шару у дизелів перших випусків дотримувалися в межах 0,5...0,9 мм.

Аналіз даних експлуатації показав, що утомна міцність цих вкладишів була недостатня, хоча розрахункові навантаження на корінні і шатунні

вкладиши, що визначають їх надійність, не перевищують такі як у більшості сучасних дизелів. Проведені дослідження дозволили встановити вплив товщини антифрикційного шару на стійкість вкладишів.

Випробування вкладишів з товщиною цього шару, зменшеною до 0,35...0,65 мм, показали, що їх утомна міцність підвищилася в 1,4 рази.

Подальше підвищення утомної міцності було досягнуто в результаті нанесення на поверхню антифрикционного шару свинцовооловяністого сплаву товщиною 0,011...0,015 мм. Зменшення товщини бронзового антифрикційного шару і нанесення на нього зазначеного сплаву привели до

підвищення утомної міцності в порівнянні з вихідним варіантом в 2,1 рази. Подальше зменшення товщини антифрикційного шару при даній технології виготовлення виявилося неможливим через недостатність мінімальної товщини шару. Тому було освоєно виробництво вкладишів з біметалічної

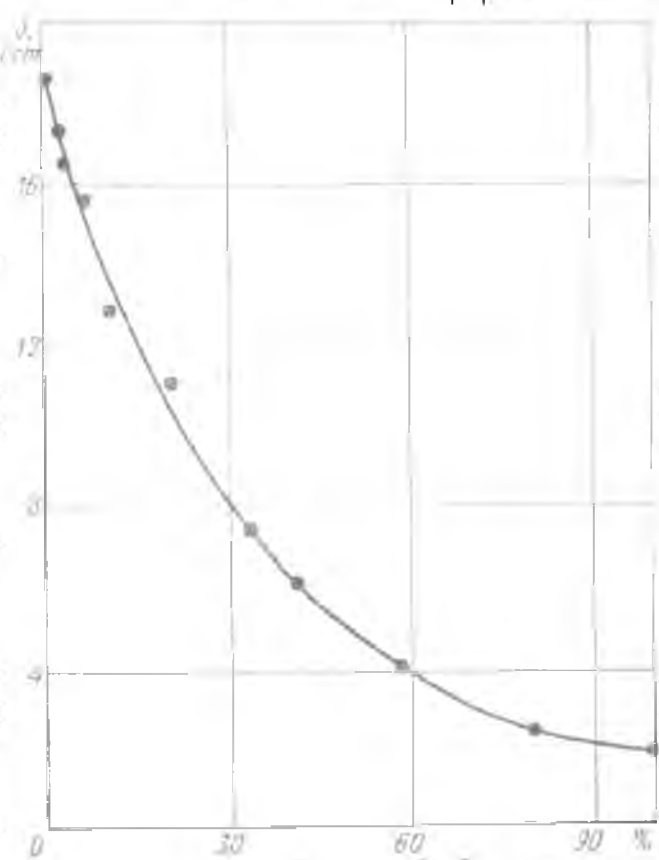
тонкостінної стрічки, що дозволило забезпечити оптимальну товщину антифрикційного шару.

Цикл досліджень щодо підвищення працевдатності вкладишів включав: визначення витрати масла через шатунні і корінні підшипники колінчастого вала; вимір температури вкладишів на працюючому двигуні; аналіз розрахункових навантажень на вкладиши; пошук шляхів збільшення питомих навантажень на вкладиши з метою розробки методу форсованих випробувань; оцінку зносостійкості вкладишів в різних умовах експлуатації і при різній ефективності очищення масла; оцінку антифрикційних властивостей різних матеріалів.

Визначення витрати масла через підшипники виробляється на моторному стенді за допомогою спеціальної установки, що складається з масляного насоса з приводом від електродвигуна і мірних баків.

Через підшипники дизеля прокачується масло в кількості, достатньому для забезпечення гідродинамічного мащення і відведення тепла від підшипників (рис. 2.22). Останнє було перевірено виміром температур вкладишів на працюючому двигуні. Температура вкладишів (в зоні антифрикційного шару) практично дорівнює температурі масла в масляному картері двигуна. Шляхом розрахунку були визначені навантаження в функції

частоти обертання колінчастого вала в залежності від максимального тиску згоряння, а також питомі навантаження при зменшенні несучої поверхні вкладишів.



Кількість палива в маслі

Рис. 2.25. Зміна кінематичної в'язкості в суміші масла і палива в залежності від вмісту палива в маслі при температурі 80 °С.

Максимальний вміст палива в маслі для кращих варіантів вкладишів при роботі до схоплювання склало 80%, що відповідає в'язкості 2,5 сст при температурі 80° С. Найбільша тривалість випробувань одного комплекту вкладишів 10 годин. Схоплювання вкладишів з меншою несучою властивістю масляного клина було відзначено вже при в'язкості 5...7 сст (33...50% палива).

Результати випробувань вкладишів всіх типів наведені на рис. 2.26. Найбільшою втомною міцністю антифрикційного шару мають вкладици з стрічки, на сталевій основі якої наплавлені свинцовиста бронза, покрита, в свою чергу, свинцовооловянистим сплавом, або освінцьована з дифузією індію. Біметалічні сталеалюмінієві вкладиши, отримані методом плакування, мають меншу високу міцність від утоми.

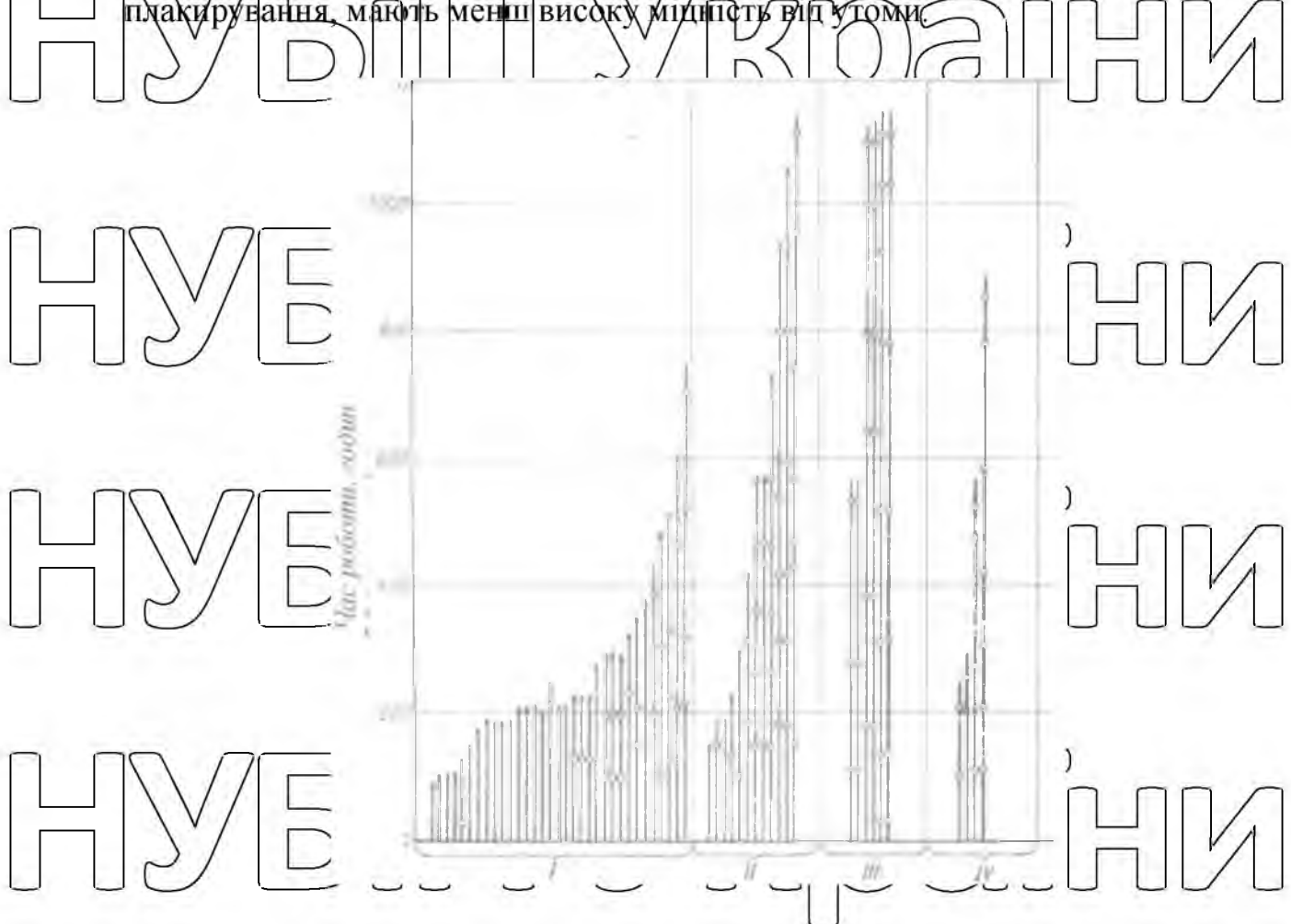


Рис. 2.26. Тривалість роботи вкладишів різних типів до початку руйнування антифрикційного шару при форсованих випробуваннях: I - вкладиши з алюмінієвого сплаву, що містить 6% Sn; II - те ж, покриті свинцовооловянистим сплавом; III - вкладиши з біметалічної стрічки,

наплавленої свинцовоіндієвим сплавом; IV - вкладиши з бронзи, покриті свинцово-оловяністим сплавом; V - огляд вкладишів; X - руйнування вкладишів.

Для здійснення подальшого збільшення ресурсу сполучення колінчастий

вал - підшипники. Були визначені гранично допустимі зазори відому, при яких не відбувається надмірного підвищення напруження в щоках колінчастого вала і падіння тиску в системі машиння. При збільшенні діаметрального зазору в підшипниках до 0,20 мм напруги в щоках колінчастого вала практично не підвищуються. При рівномірному збільшенні діаметрального зазору до 0,30 мм напруга в щоках зростає на 8%.



## 2.4. Блок циліндрів

Блок циліндрів – основна деталь, що формує структурну жорсткість та взаємозв'язок елементів конструкції двигуна. Виходячи з цього, працездатність особливо надійність механізмів дизеля, безпосередньо пов'язаних з блоком циліндрів, залежать від міцності, жорсткості та стабільності конструктивних елементів блоку. У цих умовах оптимізація конструкторських, технологічних та металургійних рішень була основним

ЯМЕ-236 та ЯМЗ-238, а потім дизеля ЯМЗ-240 та подальшого впровадження комплексу заходів щодо підвищення їх ресурсу. Відзначимо велике позитивне значення застосування операції штучного старіння виливків, яке дозволило звести до мінімуму деформації блоку в процесі експлуатації.

Необхідність відповідної доопрацювання конструкції блоку було виявлено в результаті узагальнення великої інформації, що систематично надходить безпосередньо з господарств, та в результаті обстеження стану деталей дизелей на ремонтних заводах. Для виконання досліджень, що мають на меті вдосконалення блоків циліндрів, було створено комплекс спеціалізованих установок, що дозволили здійснити дослідницькі роботи та форсовані випробування. Результати цих досліджень послужили основою для заходів щодо поліпшення конструкції блоку та технології його виготовлення, при впровадженні яких істотно підвищилися якість блоку та його ресурс, а отже, і ресурс дизеля. Нижче розглядаються результати низки досліджень щодо вдосконалення блоків циліндрів дизелів ЯМЗ. Посилення картерної частини блоку циліндрів. Принциповою особливістю конструкції блоку є У-подібне розташування циліндрів. Цим визначається специфічний характер впливу сил на елементи картерної частини блоку. Використання методу крихких дакових покріттів дозволило виявити орієнтацію основних напруг у картерній частині. Результати тензометрування перегородок вихідної конструкції (рис. 2.29) в умовах динамічного докладання навантажень, що відповідають роботі дизеля, узагальнені в табл. 6. Як випливає з таблиці, поле напруг неоднорідне. У переважній частині його деформації та підраховані за ними напруги відносно невеликі. Амплітудне значення напруги, що розтягує, зареєстрованого для передньої стінки, у багато разів перевищує відповідні величини на інших ділянках стінки. Поряд із ділянками, де переважають розтягуючі напруги, є ділянки, що зазнають стискаючих напруг. Це свідчить про циклічний згин стінки даної конструкції під час роботи двигуна.

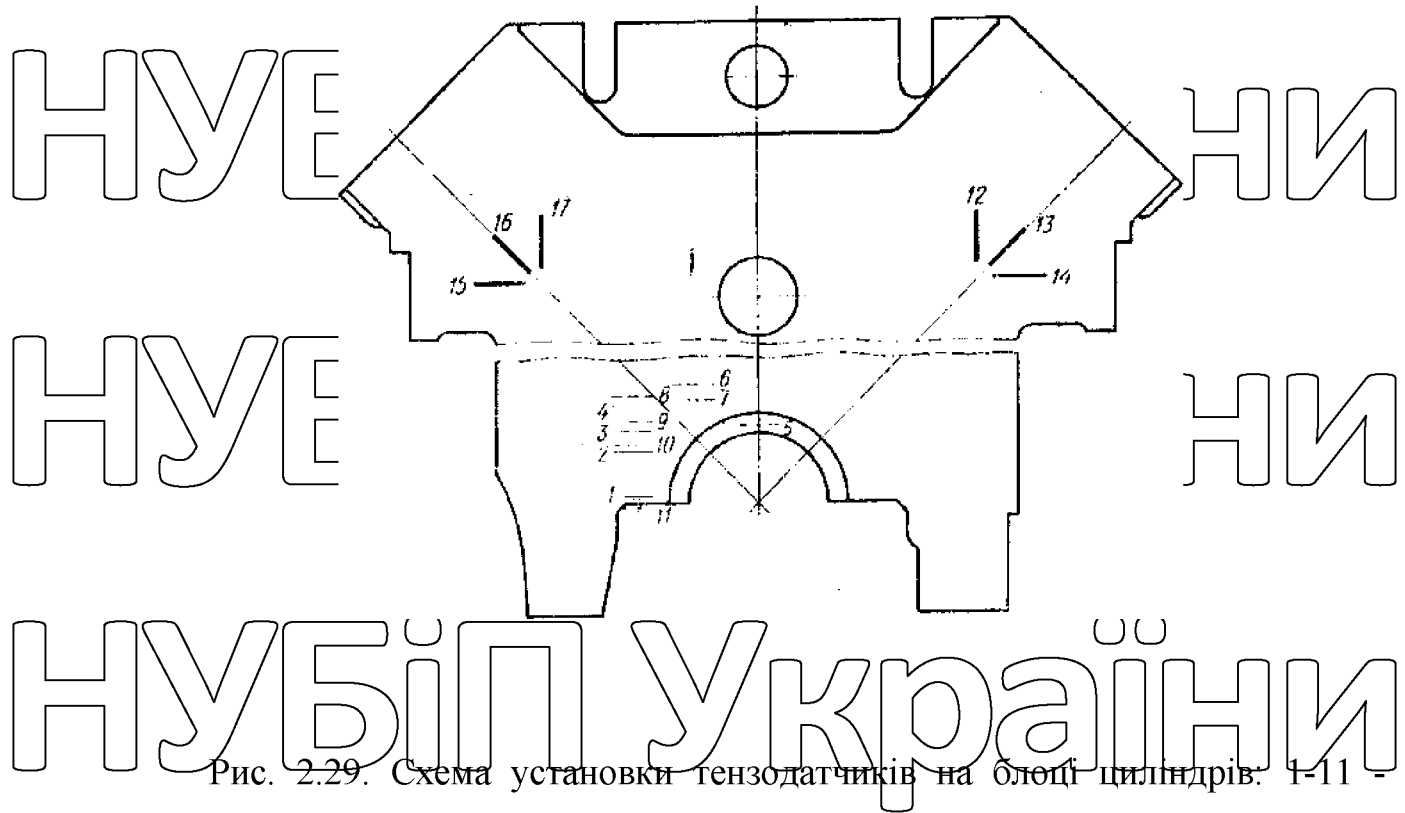


Рис. 2.29. Схема установки тензодатчиків на блоці циліндрів. 1-11 -

тензодатчики, встановлені на передній стінці; 12 - 17 - тензодатчики, розташовані на задній стінцію

Для вирівнювання поля напруг стінки вихідної конструкції блоку (рис.

2.30, а) були оребрені (рис. 2.30, б). Тензометруванням встановлено, що введення оребрення призвело до значного зниження амплітуди напружень, що

розтягають, і неоднорідності поля напруг. Амплітуда розтягаючих напруг у змінений конструкції порівняно з вихідною знизилася в 3 рази. Як і у вихідний конструкції, стінки зміненої конструкції на великих ділянках зазнають

напруги стиснення. Амплітудні значення напруг у стінках зміненої

конструкції також зменшилися порівняно з такими у стінках вихідної конструкції. Значне зниження рівня розтягаючих напруг свідчить про

доцільність цієї зміни конструкції, що підтверджено результатами випробувань на втомну міцність.

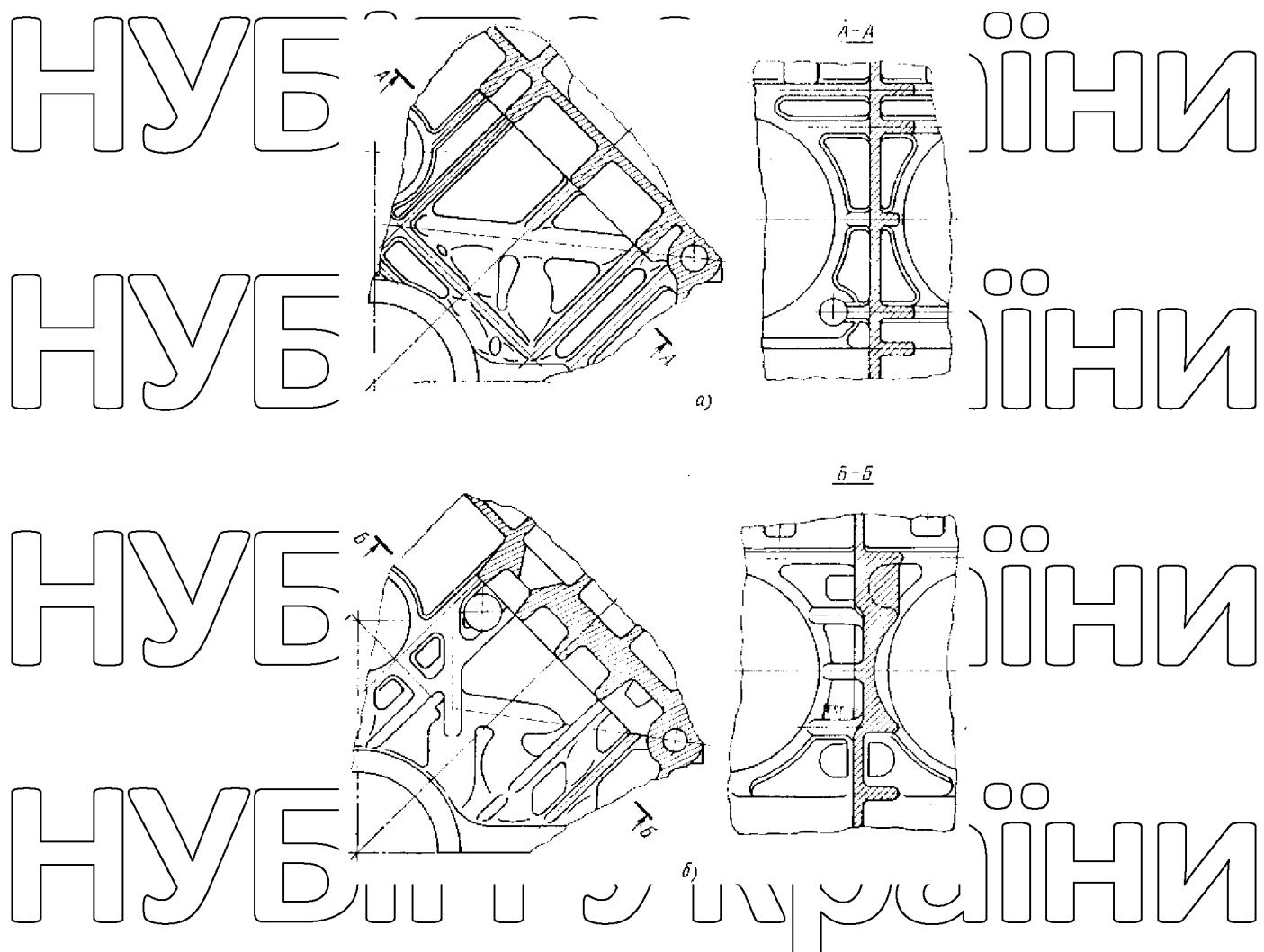


Рис. 2.30. Конструкції блоку: а - вихідна; б - змінена

У процесі випробувань з цикличним навантаженням при початковій амплітуді циклу, що перевищує номінальне газове навантаження на 300%, і частоті 750 циклів за хвилину амплітуди послідовно зростають до виникнення руйнування в томи поперечних стінок. За відсутності руйнувань через 10 год навантаження збільшували сходами на 6%, після чого цикл повторювали випробувань, і так до появи втомних тріщин. Графік навантаження та результати випробувань показані на рис. 2.31.

Таким чином, внаслідок оребрення поперечних стінок значно

підвищилося число циклів до появи руйнування в умовах багаторазових навантажень порівняно з навантаженнями, що відповідають дійсному робочому циклу. Узагальнення даних експлуатації підконтрольних

автомобілів підтвердило достатню надійність даного елемента конструкції блоку після введення описаних вище змін. Забезпечення співвісності постілей корінних підшипників у блоці циліндрів Великий вилив на напруженість сполучених деталей кривошипно-шатунного механізму і, насамперед, колінчастого валу надає співвісність постілей під шипників колінчастого валу.

Внаслідок цього було звернено увагу на зниження пружних та залишкових деформацій постілей корінних підшипників колінчастого валу. Щоб зменшити пружні деформації ліжок, були введені силові стяжні болти (рис. 2.32, а і б) кріплення кришок корінних опор до бокових стінок блоку.

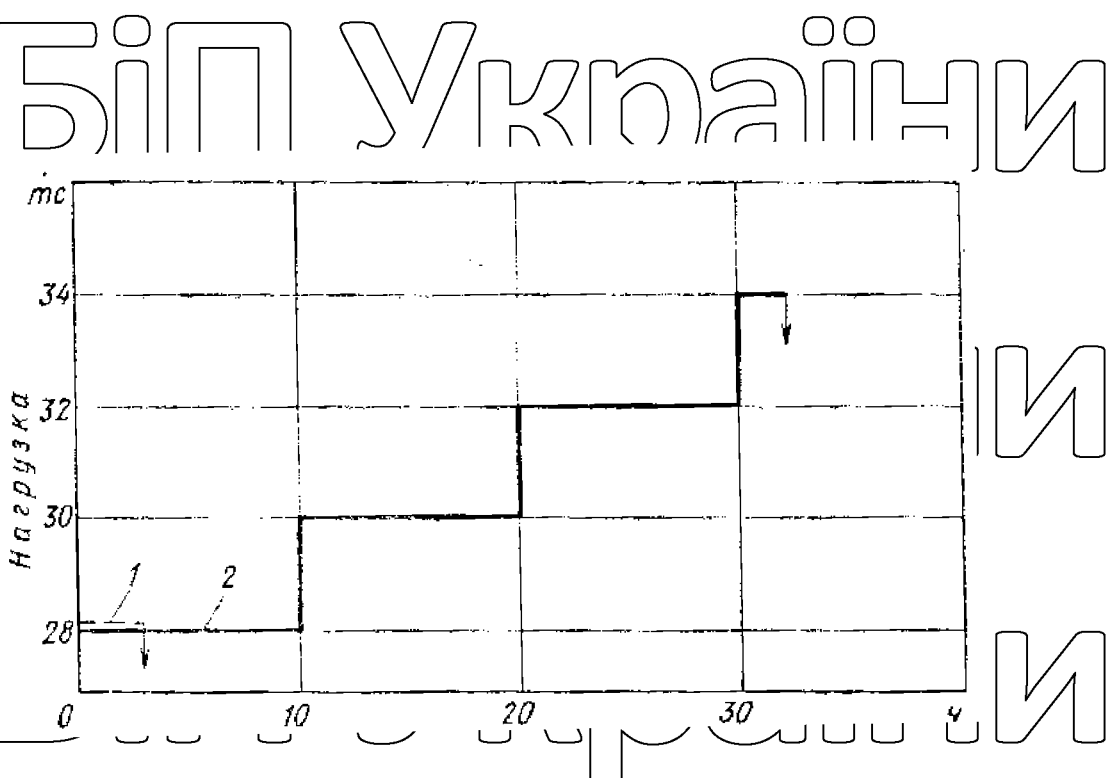


Рис. 2.31. Графік навантаження блоків циліндрів при випробуванні на

втому на стенді до появи тріщин (вказано стрілками):

1 - вихідної конструкції; 2 - зміненої конструкції.

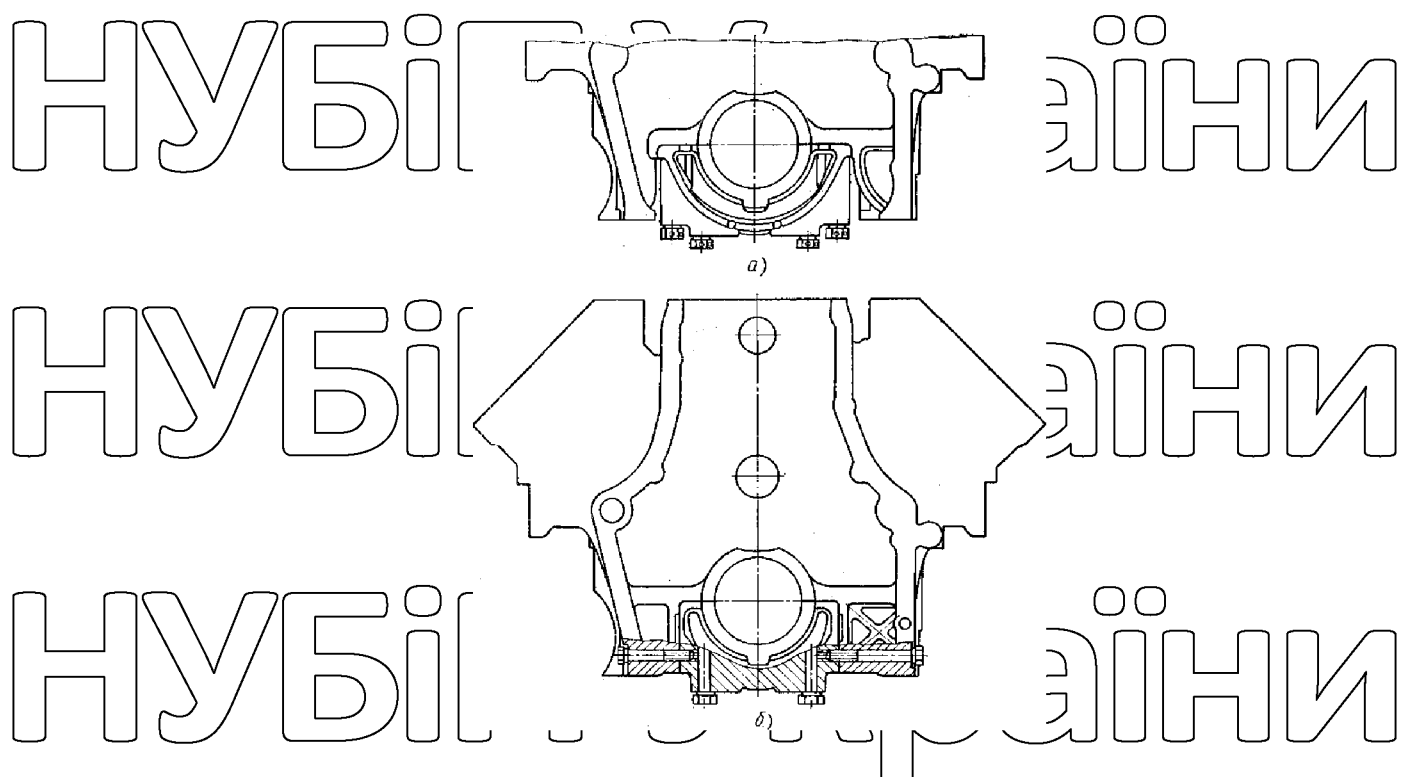


Рис. 2.32. Кріплення кришок підшипників колінчастого вала до блоку

циліндрів: а – у вихідній конструкції; б – у зміненій конструкції

Для визначення ефективності застосування стяжних болтів були

проведені випробування блоку циліндрів з ними та без них, які у визначенні величини і напрями деформацій передній стінки під впливом статичної навантаження, що дорівнює 15 тс і прикладеної по осі першого циліндра. Навантаження блоку здійснюється через колінчастий вал, встановлений на першому і другому корінних підшипниках у положенні, що відповідає В.М.Т.

Деформацію передньої стінки та кришки корінного підшипника вимірювали в напрямку, паралельному осі обертання колінчастого валу. Деформації передньої стінки блоку циліндрів зі стяжними болтами та без них наведені на рис. 2.34. У разі застосування стяжних болтів деформація кришки

корінних підшипників зменшується приблизно 2 разу, тоді як деформація поперечної стінки блоку змінюється менш значно. Підвищення жорсткості зв'язку кришок корінних підшипників з картером в результаті введення стяжних болтів покращило умови роботи вкладишів корінних підшипників і

сприятливо вплинуло на надійність шестерень приводу масляного насоса, який встановлюється на нижніх поверхнях цих кришок. Зниження монтажних деформацій гільз циліндрів, досвід створення поршневиків двигунів свідчить про необхідності ретельного відпрацювання конструкції блоку циліндрів для зменшення монтажних деформацій гільз у зборі з ним та його головкою.

Найбільше значення має розміщення різьбових гнізд під шпильки кріплення головки блоку, а також удосконалення сидової схеми циліндрової частини блоку.

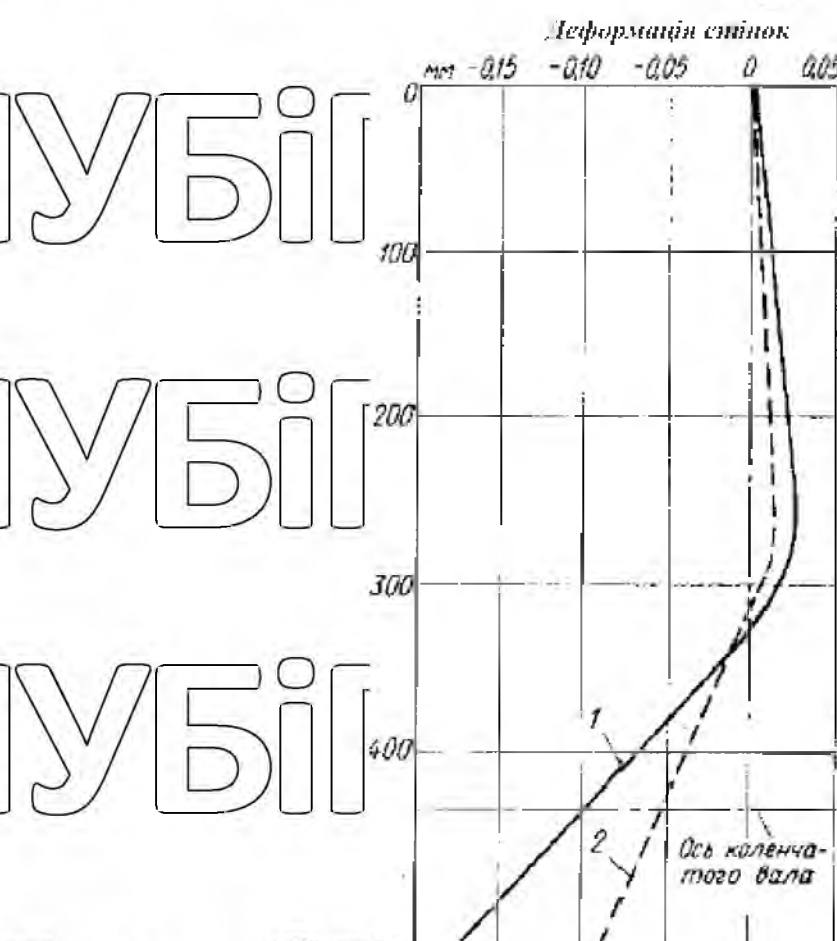


Рис. 2.33 Деформації передньої стінки блоку циліндрів: 1 - без стяжних болтів; 2 - зі стяжними болтами

Основна задача конструктивного відпрацювання циліндрової частини -

запобігання надмірної концентрації напрузі і пов'язаних з нею деформацій гнізд, що служать для упору і направлення гільз циліндрів. Одним із шляхів розв'язання даної задачі є раціональне вирібрення циліндрової частини блоку

конструкції, наведеної на рис. 2.34, а, немає взаємного силового зв'язку між ободішками для кріпильних деталей. При введенні відповідного зв'язку у вигляді кільцевої стінки (рис. 2.34, б) підвищується жорсткість у зоні гнізда для упору та спрямування гільзи циліндрів.

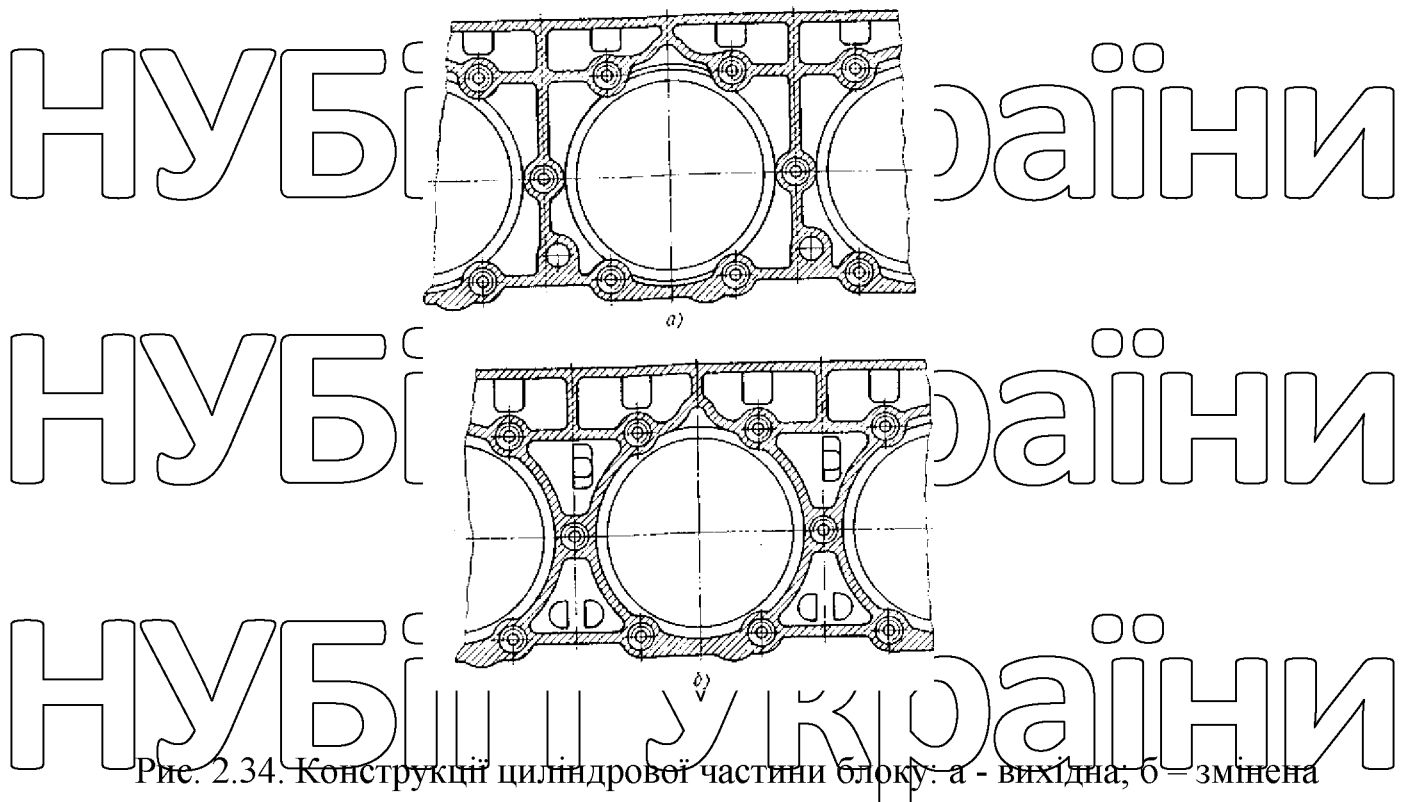


Рис. 2.34. Конструкції циліндрової частини блоку: а - вихідна; б - змінена

На рисунку 2.35 проведено емпіричний закон деформації великої кількості гільз, встановлених в блоки, після затягування шпильок кріплення головки блоку. Як випливає з порівняння графіків, введення кільцевої стінки дозволяє зменшити максимальну деформацію циліндрів на 37%.

Середньостатистичні значення деформацій гільз зменшилися приблизно в 2 рази. Звертає увагу чітко виражена монотонність статистичної кривої розподілу деформації в циліндровій частині блоку з кільцевою стінкою, внаслідок чого ця крива значно менше відрізняється за формою від теоретичної кривої Гауса, ніж при вихідній конструкції. У разі зменшення відповідної деформації покращуються умови роботи всіх деталей циліндропоршневої групи. З огляду на позитивний вплив зміни силової схеми циліндрової частини блоку, цю конструкцію запровадили при освоєнні серійного виробництва чотиритактних дизелів ЯМЗ. Одним з відповідальних

елементів блоку циліндрів є опорні поверхні під бурти (фланці) гільз, тому що від точності виконання їх розмірів значною мірою залежить робота деталей циліндрапоршневої групи дизеля. У вихідному технологічному процесі механічна обробка опорних поверхонь під завзяті бурти-фланці гільз, а також їх верхніх та нижніх посадкових поясів проводилася рухом різців з осьовою подачею за дві операції з різних установок. При цьому методі обробки утруднено виконання вимог площинності опорних поверхонь і перпендикулярності їхньої загальної осі посадкових поясів під установкою гільз, що негативно позначалося на деформації останніх і підвищувало контактні напруги на опорній поверхні блоку і наполегливої поверхні бурта гільзи та їх контактне зношування. Крім того, для компенсації неперпендикулярності опорної поверхні блоку під бурт гільзи до загальної осі посадкових поясів блоку для установки гільзи на блоках, виготовлених за вихідною технологією, щоб уникнути деформації гільз, був збільшений зазор нижнього пояса між гільзою і блоком циліндрів на 0,13 мм, тобто до 0,18...0,26 мм. Внаслідок цього зросла амплітуда коливання гільз, що негативно позначилося на довготривалості як гільз, і блоку циліндрів.

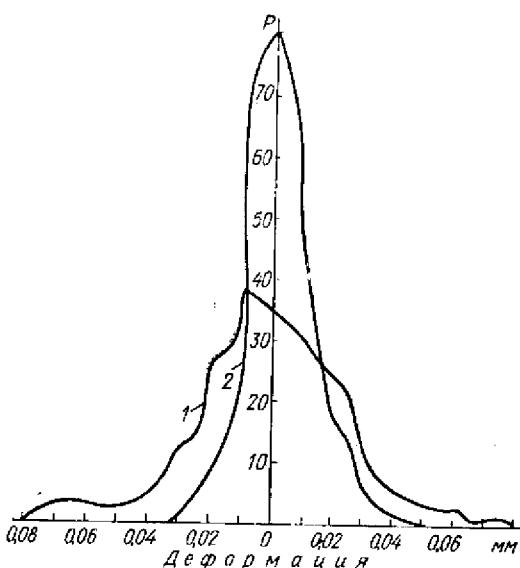


Рис. 2.35. Емпіричний закон розподілу деформацій гільз циліндрів після затягування гайок кріплення головки до блоку ( $P$  - частота в інтервалі деформацій): 1 - при вихідній силовій схемі; 2 - при зміненій силовій схемі.

Для усунення зазначених недоліків були застосовані новий метод обробки опорних поверхонь блоку під упори і поверхні буртів гільз, а також обробка поверхні поясів під гільзи в одну операцію та за одну установлення. При цьому обробка опорної поверхні під бурт гільзи осьової подачею інструменту було

замінено точенням різцем із радіальною подачею (рис. 58). Це дозволило

зменшити зазор у нижньому поясі між гільзою та блоком циліндрів до  $0,05 \dots 0,09$  мм і відповідно зменшити коливання гільз циліндрів на дизелі, а також знизити контактну напругу між опорною поверхнею блоку та завзятою

поверхнею бурта гільзи. Зменшення зазору між гільзою та блоком у нижньому

поясі позитивно позначилося на запасі по кавітаційному руйнуванню.

Внаслідок зменшення коливань гільз покращилася також герметичність стику гільзи з блоком циліндрів.

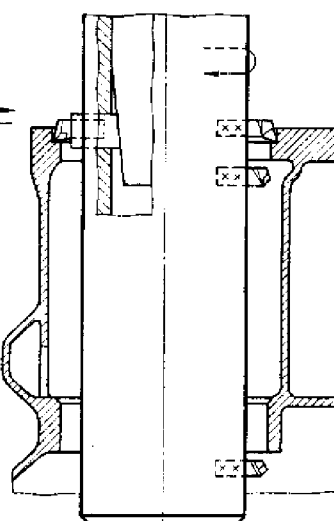


Рис. 2.36. Схема обробки посадкових поверхонь у блоці під гільзу

(суцільні стрілки - напрямок робочого руху; штрихові стрілки - напрямок зворотного руху)

Захист блоку циліндрів від кавітації. При експлуатації дизелів ЯМЗ

раніше спостерігалися значні кавітаційні руйнування поверхонь гільз та блоку

циліндрів з утворенням виїмок тибиною до 3 мм. Внаслідок цього рідина із

системи охолодження потрапляла в картер двигуна. Однією з причин

кавітаційних руйнувань гільз та блоків циліндрів є коливання гільз, що

збуджуються циклічно съким навантаженням, що діє на поршні, і особливо динамічним імпульсом при «перекладанні» поршня в гильзі. Коливання гильз призводять до порушення нестационарних течій охолоджуючої рідини в зоні сполучення гильзи та блоку циліндрів з розвитком кавітаційних процесів,

внаслідок яких блок та гильзи циліндрів руйнуються. Для відпрацювання

конструкції вузла з антикавітаційним захистом блоку циліндрів у зоні нижнього посадкового пояса та визначення ефективності цієї конструкції знадобилася розробка спеціальної методики форсованих випробувань,

описаної вище. За результатами цих випробувань був обраний спосіб

антикавітаційного захисту блоку циліндрів у нижньому посадковому поясі - встановлення антикавітаційних гумових кілець. При оцінці варіантів кавітаційного захисту враховувалися такі фактори, як ефективність захисту від кавітації, технологічність конструкції, простота складання та розбирання,

взаємозамінність гильз циліндрів на раніше випущених дизелях. Були

проведені п'єрвінальні дослідження трьох варіантів антикавітаційних кілець.

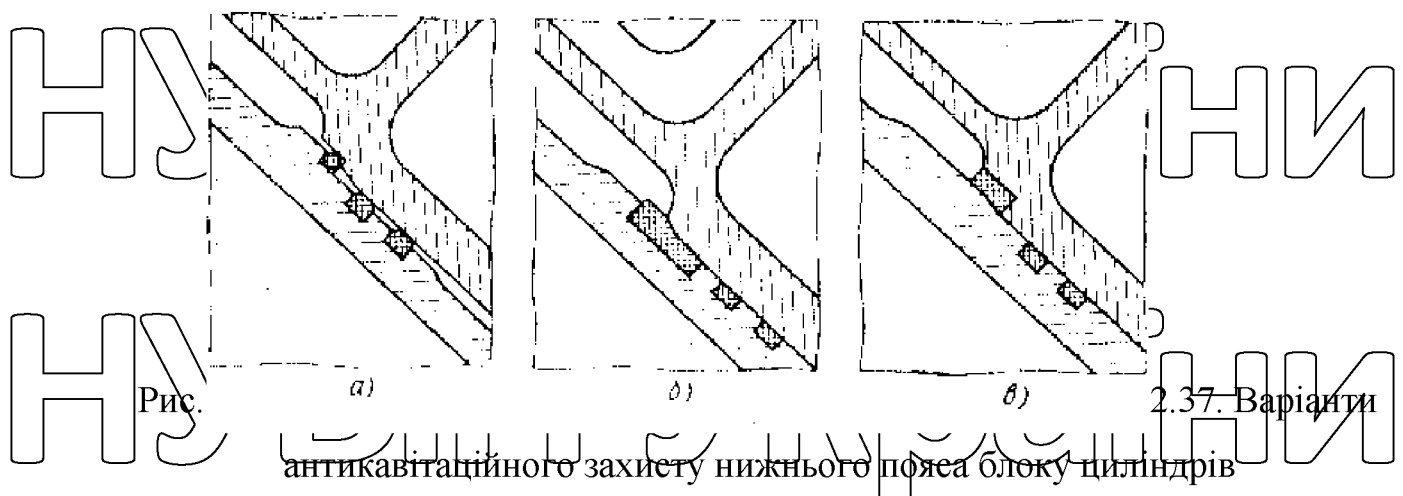
Перший варіант - як антигравітаційне кільце застосовувалося серийне ущільнювальне кільце круглого перерізу. Для встановлення цього кільця на гильзу і гильзи з кільцем в блок була потрібна додаткова обробка гильзи та блоку (рис. 2.37 а). В результаті форсованих випробувань антикавітаційні кільця даного виду частково або повністю руйнувалися, охолоджуюча рідина з сорочки блоку та гильзи проникала в зону ущільнювальних кілець, викликаючи прогресуючі кавітаційні руйнування.

Другий варіант — плоске гумове кільце з натягом надягали на гильзу, а потім гильзу з кільцем встановлювали у виточення блоку (рис. 2.37 б). Складання при цьому зручне, але утруднений демонтаж гильзи з блоку циліндрів у разі набухання гуми.

Третій варіант — антигравітаційне кільце поміщали в розточку блоку, а

контактну поверхню гильзи робили конічною (рис. 2.37 в). Цей варіант виявився невдалим у технологічному відношенні. При монтажі гильзи кільце змішувалося щодо розточування в блокі. Проте ефективність захисту від

кавітації була задовільною. Оптимальним виявився другий варіант після запровадження деяких змін. Було поглиблено виточення під кільце на гільзі, тому блок не треба було додатково обробляти. Для кращого захисту гільз та блоку від кавітації було визначено оптимальний натяг у поєднанні гільза-кільце-блок. Плоске гумове кільце відповідної конструкції, що встановлюється на гільзу циліндрів з оптимальним натягом, було впроваджено у виробництво.



## 2.5 Головка циліндрів

Як показало узагальнення великої та об'єктивної інформації, систематично надходить, поставлена виробництва головка блоку забезпечувала ресурс, заданий технічним завданням. У зв'язку із завданнями, поставленими перед заводом щодо підвищення ресурсу двигунів, було проведено комплекс дослідно-конструкторських робіт щодо подальшого підвищення надійності головки блоку.

Вдосконалення силової схеми. Як показав досвід експлуатації дизелів

ЯМЗ перших партій випуску, при напрацюванні понад 4000 мото-годин іноді утворювалися тріщини на верхній полиці головки блоку. Ймовірною причиною виникнення цих тріщин могли бути здійсненні деформації верхньої полицеї, що є результатом дії сил від затягування шпильок кріплення та від сил

газів. Складність тензометричних досліджень даного елемента головки обумовлена тим, що застосування тензодатчиків відносно великою базою не дозволяє виявити закономірність концентрації напруги внаслідок складної конфігурації поверхонь. Тому проводився безпосередній вимір деформації полиці головки у місцях виникнення тріщин за допомогою індикаторів. За

вимірювальну базу бралася практично нерухома упорна плита (рис. 2.38).

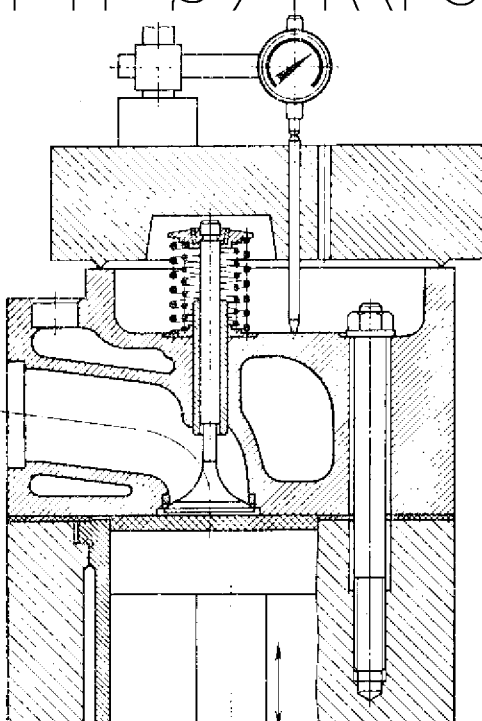


Рис. 2.38. Схема вимірювання деформації верхньої полиці головки блоку.

На верхнє кільцеве ребро головки блоку встановлювалася на три точки жорстка сталева шліфована плита, що має точно оброблені отвори в місцях передбачуваних деформацій верхньої полиці. Ці отвори були напрямними для подовжувача ніжки мікронного індикатора, розташованого на верхній поверхні плити. Головку блоку розміщували на спеціальному пристосуванні,

що дозволяло імітувати дію сил затягування шпильок кріплення головки та сил газів. Дія сил газів відтворювалася за допомогою тарованого навантажувального пристроя.

В результаті проведених досліджень було виявлено, що тріщини на верхній полиці є наслідком підвищеної та несиметричної деформації бобишок отворів під шпильки кріплення головки блоку та ділянки переходу від бобишок до верхньої полиці. Проведені виміри деформації показали доцільність зміни зміни бобишок і ділянок переходу в верхню полицю.

Зміщення осей бобишок щодо осі отвору зі збільшенням радіусів переходу від бобишок до верхньої полиці дозволило зменшити деформацію зазначених ділянок.

Щоб перевірити ефективність цього заходу при тривалому впливі динамічних навантажень, було проведено форсовані випробування на втому, які дозволили встановити доцільність зміни конструкції головки блоку. Тріщини біля боби не виникали. Однак ділянка максимальної деформації змістилася до району отвору для ливарного знака (рис. 2.39, а), тому воно було ліквідоване (рис. 2.39, б), що не позначилося на якості ліття, оскільки для відведення газів виявилось достатнім отвори під форсунку. Дані випробування показали, що зміна силової схеми головки блоку вимагає всебічної дослідності перевірки через статичної невизначеності та пов'язаних з цим труднощів розрахункового прогнозування результатів її зміни.

Узагальнення досвіду експлуатації дизелів показало, що при напрацюванні понад 8000 мото-годин у місцях перетину поверхонь оброблених гнізд для пружин клапанів з поверхнями отворів під склянки форсунок в окремих випадках виникають тріщини. Впливу на міцність верхньої полиці глибоких цековок під клапанні пружини порівняння міцності втому головок блоку проводилося при їх випробуванні з гніздами для пружин без них. Конструктивно зменшення глибини цековок на верхній полиці можливе за рахунок збільшення довжини стрижня клапана, що є неприйнятним, тому що при цьому клапани переставали бути взаємозамінними. Тому була створена конструкція вузла кріплення клапанних пружин, що дозволяє без втрати взаємозамінності клапанів та клапанних пружин зменшити глибину цековки від 7 до 2,5 мм.

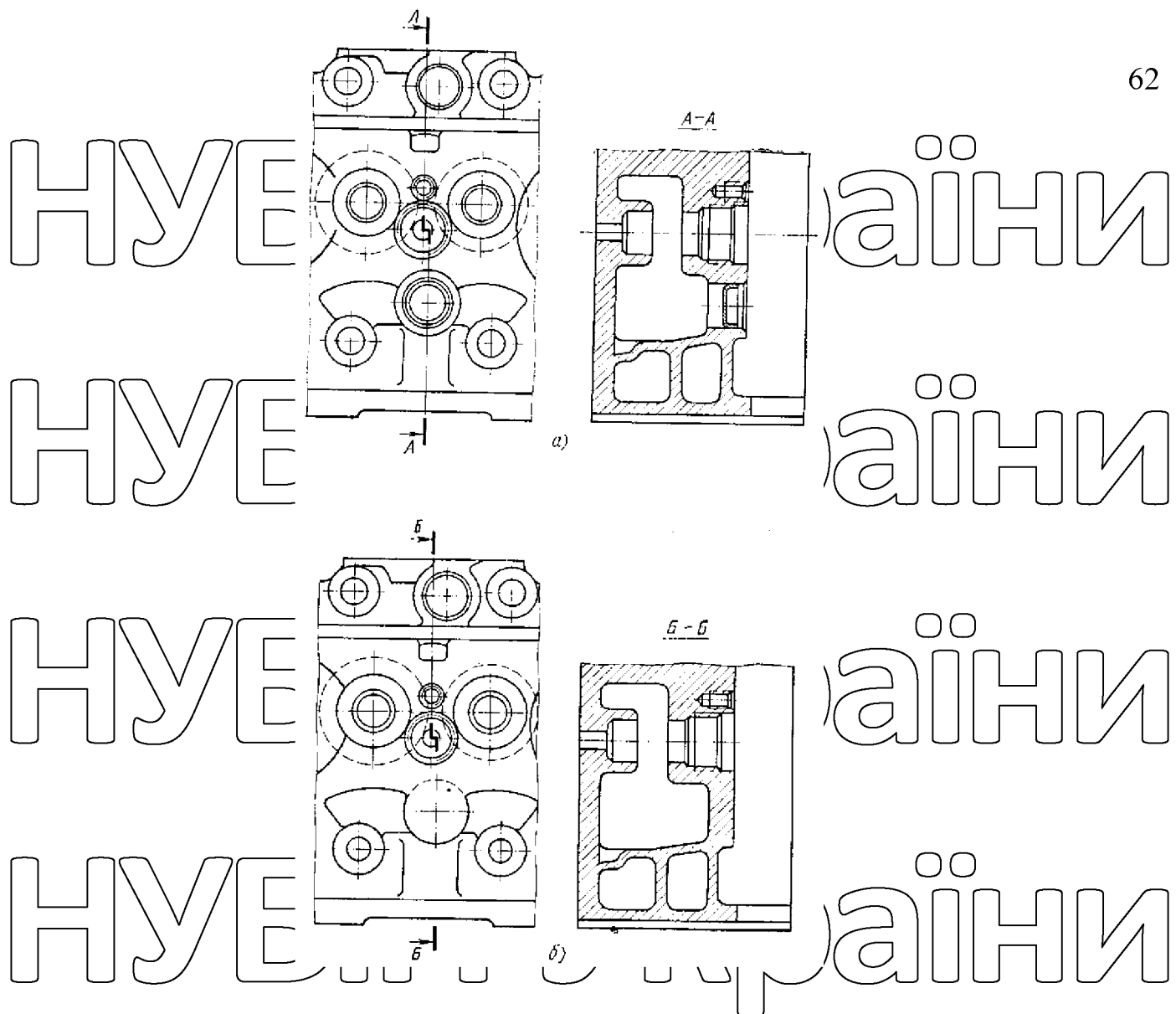


Рис 2.38. Головка блоку з отвором для ливарного знака на верхній

полиці та без нього

Надалі досить гнізда під пружини замінити бобінками, що виступають.

**Підвищення довговічності пари сідло – клапан.** Досвід експлуатації

дизелів ЯМЗ показує, що збільшення ресурсу головки блоку понад 6000 мотогодин

лімітується недостатньою довговічністю сідел впускних клапанів, які у

виходій конструкції головки блоку (рис. 2.38, а) виконуються безпосередньо

в тілі головки. У той же час для випускних клапанів встановлюють сідла з

твердого жароміцького сплаву, який надійно забезпечує ресурс пари сідло –

клапан до 8000 мотогодин і більше. Таким чином, збільшення ресурсу двигуна

понад 6000 мотогодин зажадає введення вставних сідел впускних клапанів

(рис. 2.38, б).

Для забезпечення ресурсу пари сідло-клапан понад 8000 мотогодин при високому форсуванні дизеля знадобилося проведення подальших досліджень з підвищення надійності вставного сідла. Спеціальний чавун, що застосовується в даний час для виготовлення вставних сідел, має гарну зносостійкість, але його жароміцність лімітує перевищення рівнів форсування дизеля шляхом наддуву, що характеризуються  $pe > 10 \text{ кгс}/\text{см}^2$ . Тому було відпрацьовано методику форсованих випробувань вставних сідел клапанів на термічну стійкість. Випробування проводилися на дизелях з турбонаддувом, що мають збільшенні на  $4^\circ$  кут випередження упорскування, до  $750^\circ \text{ С}$  температуру відпрацьованих газів і до 1,5 мм зазор у поєднанні клапан-коромисло для підвищення швидкості посадки клапана на сідло. За цією методикою були випробувані сіда з різних матеріалів і сплавів. Найбільш довговічними виявилися сіда зі сплаву ВЗК (стеліт), які після напрацювання 800 год на стенді, що еквівалентно роботі дизеля в межах амортизаційного терміну, не мали руйнувань. На підставі результатів випробувань заводом ведеться технологічна підготовка виробництва до впровадження конструкції головки циліндрів з вставними сідлами під впускний і випускний клапані зі сплаву типу ВЗК.

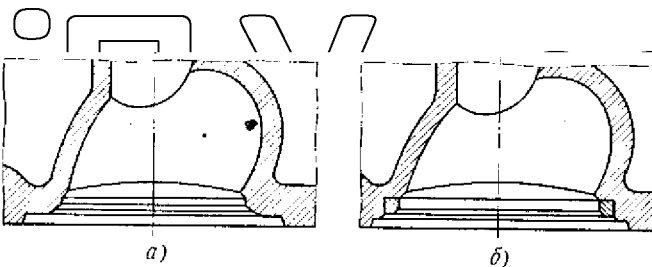


Рис. 2.39. Посадкове місце головки блоку під впускний клапан.

### РОЗДЛ 3. ДОСЛІДЖЕННЯ ПОШКОДЖЕНЬ ДЕТАЛЕЙ ТА

#### СПОСОБИ ЇХ ВИЯВЛЕННЯ ТА УСУНЕННЯ

##### 3.1. Пошкодження блок-картера та способи їх виявлення, прилади та оснащення

У процесі експлуатації машин корпусні деталі спрацьовуються і пошкоджуються. Дефектами корпусів можуть бути тріщини, обриви, пробоїни, пошкодження нарізі, спрацювання отворів під підшипники, стакані підшипників, осі шестерень, валики перемикання передач тощо. Вагомість дефектів у деталях оцінюється коефіцієнтами повторності, які показують, якій частині корпусів, що підлягають ремонту, властиві ті чи інші дефекти.

**Блок двигуна.** Основними дефектами блок-картера є тріщини, жолоблення поверхонь прилягання головок циліндрів, верхньої кришки, передньої кришки і щита, порушення герметичності водяної оболонки, масляної системи, пошкодження різбей, спрацювання поверхонь.

Стан виточок під бурти гильз циліндрів перевіряють спеціальним пристроєм (рис. 3.1.2), який встановлюють у розточку під бурт гильзи.

Пристрій дозволяє одночасно перевірити глибину розточки (спрацювання) та її паралельність відносно верхньої площини. Різниця вимірювального гнізда не повинна перевищувати 0,03 мм, а всього блока – 0,05 мм.

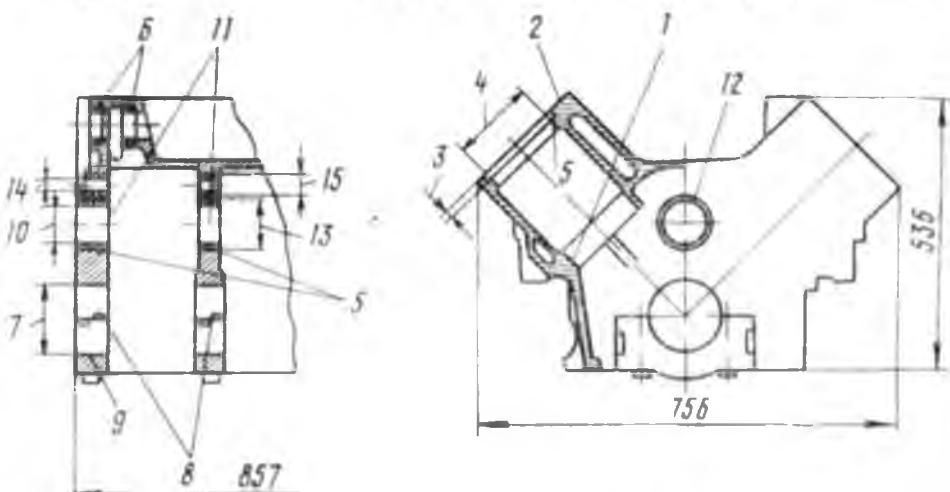


Рис. 3.1. Блок циліндрів 238.1002040-Г4. Схема дефектації.

Таблиця 3.1 - Блок циліндрів 238.1002010-Г4. Карта дефектації.

Номер	Назва	За крес-ленням	Допус-тимі	Назва	Означен-ня	Висно-вок	Контрольовані дефекти		Розміри, мм.	Способи і засоби контролю
							2	3		
	Тріщини, що виходять на гнізда втулок розподільчого вала, осі штовхачів і масляні канали		не допускаються	Кантувач Світильник	70-7822-1901	Бракувати				
	Задири на корінних опорах		не допускаються	Огляд		Відновлювати				
1	Тріщини на стінках водяної сорочки, нижній частині блоку і роз'єму		не допускаються	Кантувач Світильник	70-7822-1901	Відновлювати				
1	Пошкодження різьби	Вмятини, забойни, викришування, зрив більше 2-х витків не допускаються		Огляд		Відновлювати				
1	Кавітаційне руйнування нижніх посадочних поясків під гільзи циліндрів		не допускається, крім окремих раковин	Кантувач Світильник		Відновлювати				
2	Відхилення від площинності поверхонь прилягання під головки циліндрів	На довжині 100мм не більше 0,02 На всій довжині не більше 0,05	0,04 0,20	Лінійка Щуп	ШД-2-630 ЯД-1-125	Відновлювати				
3	Знос кільцевої площинки під бурт гільзи циліндра	12+0,035	12,05	Пристосування	70-8701-1062	Відновлювати				
4	Знос верхніх посадочних пасків під гільзи циліндрів	153 <sup>+0,04</sup> <sub>-0,04</sub>	153,0	нутромір індикаторний	ИИ 100-160 ГОСТ 868-72	Відновлювати				

Продовження таблиці 3.1

5	Деформація верхніх посадкових поясків під тільзи циліндрів (контролювати при відсутності дефекту 4)	Овальність не більше 0,02      0,03	нутромір індикаторний	НИ 100-160 ГОСТ 868-72	Відновлювати
6	Знос поверхонь під підшипники вала веденої шестерні привода паливного насоса:  передній задній	$62^{+0,030}$ $52^{+0,030}$	нутромір індикаторний	НИ 50-100 ГОСТ 868-72	Відновлювати
7	Знос корінних опор  Контролювати при затягнутих болтах кріплення кришок корінних підшипників, попередньо затягнути нижні болти моментом $20 \pm 5$ кгс*м і бічні моментом $5 \pm 1$ кгс*м, а потім остаточно в такій же послідовності відповідно моментом $45 \pm 2$ кгс*м і $10^{+2}$ кгс*м	$16^{+0,021}$ $116,04$	нутромір індикаторний	НИ 100-160 ГОСТ 868-72	Відновлювати
8	Відхилення від співвісності корінних опор (контролювати при відсутності дефекту 7), не більше	0,025	0,03	Калібр	70-8344-1026
9	Овальність і конусність поверхонь корінних опор (контролювати при відсутності дефекту 7 і 8), не більше	0,005	0,02	нутромір індикаторний	НИ 100-160 ГОСТ 868-72

### 3.2. Пошкодження шатунів та способи їх виявлення, прилади та

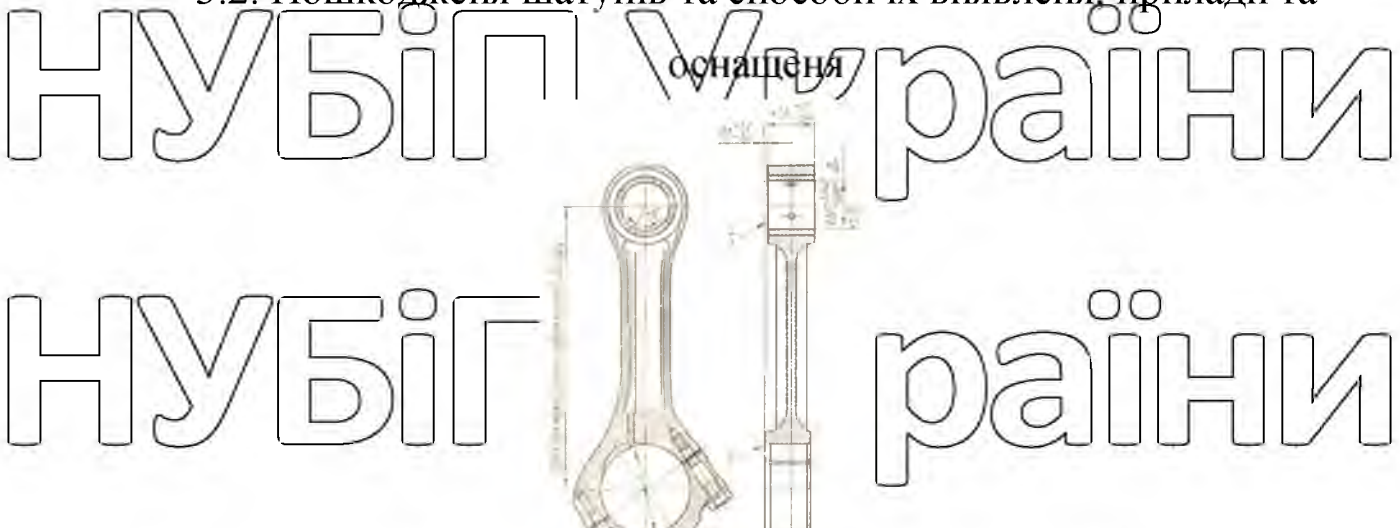


Рис 3.3. Шатун 236-1004005-Б2

Шатун (рис. 3.3) виготовлений із сталі 40Н2МА , а кришка зі сталі 40Х

(ГОСТ 4543-71). Нижня головка має косий роз'єм під кутом  $55^{\circ} \pm 30'$  до поздовжньої осі. Шатун з'єднаний з кришкою двома болтами укруненими в різьбові отвори тла шатуна. Фіксація шатуна і кришки здійснюється по шлицах і фіксуючого поясочку на одному з шатунних болтів. Дуже важливо для роботи шатунних болтів і вкладишів щільне сполучення шліців, тому бруд, задири і

забоїни на шлицах не допускаються. Шатун з кришкою складають комплект, одна з деталей якого не може бути замінена деталлю іншого комплекту. Перед складанням шатуна різьблення болтів змазують графітним маслом. Затягування починають з довгого болта тарованим ключем крутним моментом 20...22кгс-

м. На шатуні і кришці поблизу стику наносяться мітки спареності шатуна з кришкою.

У нижній головці шатуна - отвір діаметром  $93^{+0,021}_{-0,02}$  мм під вкладиши підшипників, у верхній головці - отвір діаметром  $56^{+0,03}_{-0,02}$  мм під бронзову втулку. Внутрішня поверхня втулки остаточно оброблена до діаметра

$50^{+0,04}_{-0,031}$  мм після запресування в отвір верхньої головки шатуна, при цьому коливання розміру для одного шатуна має бути не більше 0,004 мм.

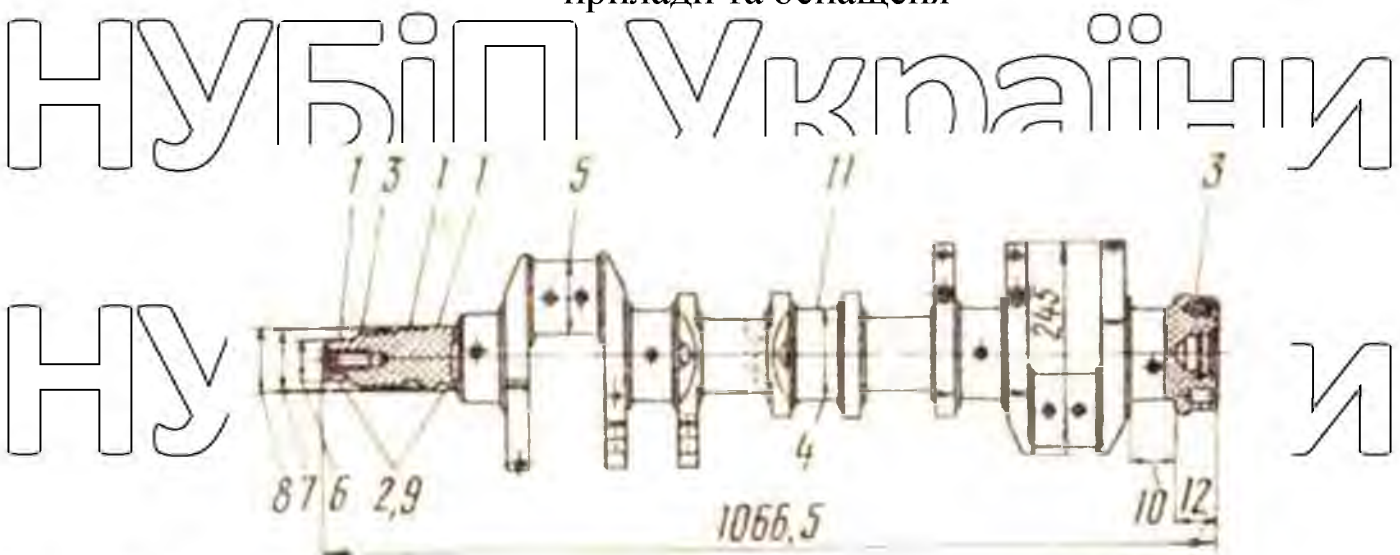
В процесі експлуатації двигуна у шатунів можуть виникати такі несправності:

вигин і скручування, знос отворів в нижній головці і бронзовій втулці.

# НУБІП України

3.3. Пошкодження вала колінчастого та способи їх виявлення,

прилади та оснащення



# НУБІП України

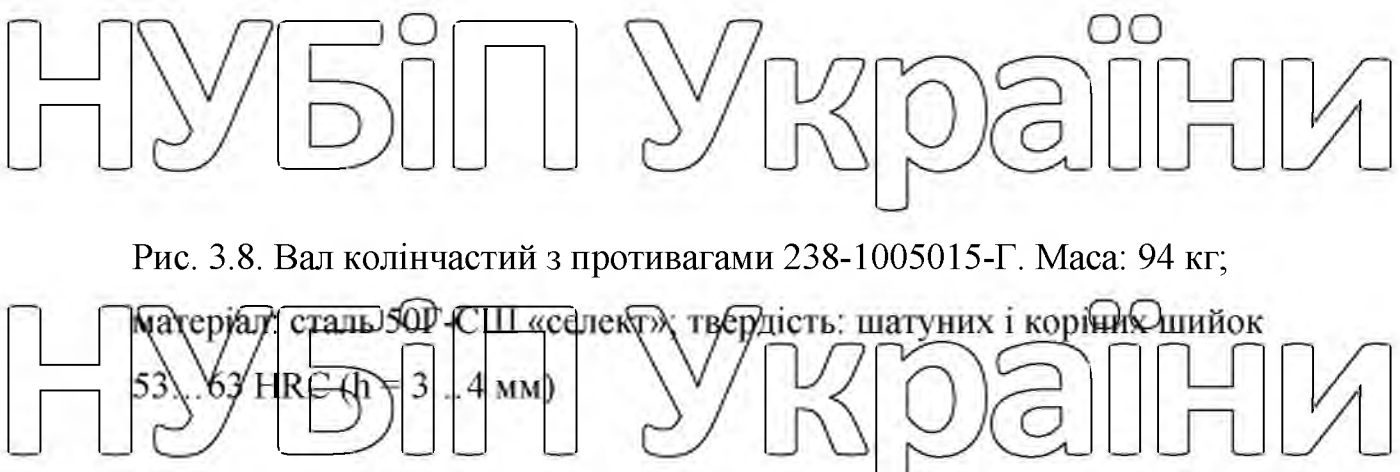


Рис. 3.8. Вал колінчастий з противагами 238-1005015-Г. Маса: 94 кг;

матеріал: сталь 50Р-СШ «селекція» твердість: шатунних і корінних шийок  
53...63 HRC (h = 3...4 мм)

Таблиця 3.2 - Вал колінчастий з противагами 238-1005015-Г. Карта

Контрольовані дефекти	Розміри, мм.	Способи і засоби контролю
дефектації.		

Номер дефекту	Назва	За кресленням	Допусти- -мі	Назва Означеня	Висно- вок
-	Тріщини, не виводимі шліфуванням, на шатунних і викришування металу на корінних шийках, відколи	Не допускаються		Лупа ЛТ-1-4 <sup>х</sup> Магнітний дефектоскоп МД-50П або ГМД-70	Бракува- ти

Продовження таблиці 3.2

-	Прижоги на поверхнях шатунних і корінних шийок (контролювати після шліфування шийок)	допускаються прижоги, що не змінюють твердість шийок 45...62 НВС	Твердомір ТКП-1	Бракува- ти
-	Неметалічні включення і волосовини, розташовані під кутом більше 20° до осі вала (контролювати після шліфування корінних і шатунних шийок)	Не допускаються	Лупа ЛТ-1-4 <sup>х</sup>	Бракува- ти
-	Оплавлення на поверхнях шатунних і корінних шийок (контролювати після шліфування)	Не допускаються	огляд	Ремон- тувати
1	Поодинокі тріщини, волосовини і дрібні одиничні неметалічні включення, розташовані під кутом менше 20° до осі валу (контролювати після шліфування корінних і шатунних шийок): а) на шийках під шків, передній сальник, передній противагу і шестерню	Не допус- каються	Лупа ЛТ-1-4 <sup>х</sup>	Ремон- тувати
2	Змінання бокових граней шпоночних пазів під шків,	Не допускаються	огляд	Ремон- тувати

	передню противагу і шестерню Нагири, риски на поверхнях під передню та задню манжету	Не допускаються	огляд	Ремонтувати
3	Знос корінних шийок	110-0,022	109,965	Скоба важільна СР 125
4	Знос шатунних шийок	88-0,022	87,965	Скоба важільна СР 125
5	знос шийки вала під шків	50 <sup>+0,035</sup>	50,010	Скоба важільна СР 75
6	знос шийки вала під передню противагу	71 <sup>+0,065</sup>	71,035	Скоба важільна СР 75
7	знос шийки вала під шків, під передню противагу і шестерню	72 <sup>+0,065</sup>	72,035	Скоба важільна СР 75
8	знос стінок шпоночних пазів під шків, під передню противагу і шестерню	10-0,065	10,02	Шаблон КИ-4921
9	знос задньої корінної шийки по ширині	56 <sup>+0,012</sup>	56,14	нутромір індикаторний НИ 50-100 ГОСТ 868-72
10	Прогин валу (контроловати після усунення всіх перерахованих вище дефектів)	0,05	0,08	Пристосування
11				Ремонтувати

Колінчастий вал. Зовнішнім оглядом виявляють видимі дефекти: оплавлення на шийках, тріщини, ризики, змінання бімних граней шпонкових пазів, стан маслозгіної різі, різь кріплена деталей, якість очищення масляних каналів і порожнин для відцентрової очистки масла. Колінчасті вали, які

мають оплавлення на поверхні шийок, підлягають вибракуванню. Для виявлення невидимих тріщин використовують магнітні дефектоскопи ПМД-70 або МД-501 і пристосування для дефектації 70-8782-

1001. Вважаються небезпечними тріщини, розташовані (рис. 3.4.2) на галтелях корінних і шатуних шийок, циліндричних поверхнях шийок на відстані менше 10 мм від торців щік (1), кромках отворів масляних каналів довжиною понад 6 мм, розташованих під кутом більше  $30^{\circ}$  до осі щіки (2). Не допускається також більше трьох поздовжніх тріщин, що знаходяться на відстані один від одного менше 10 мм (3).

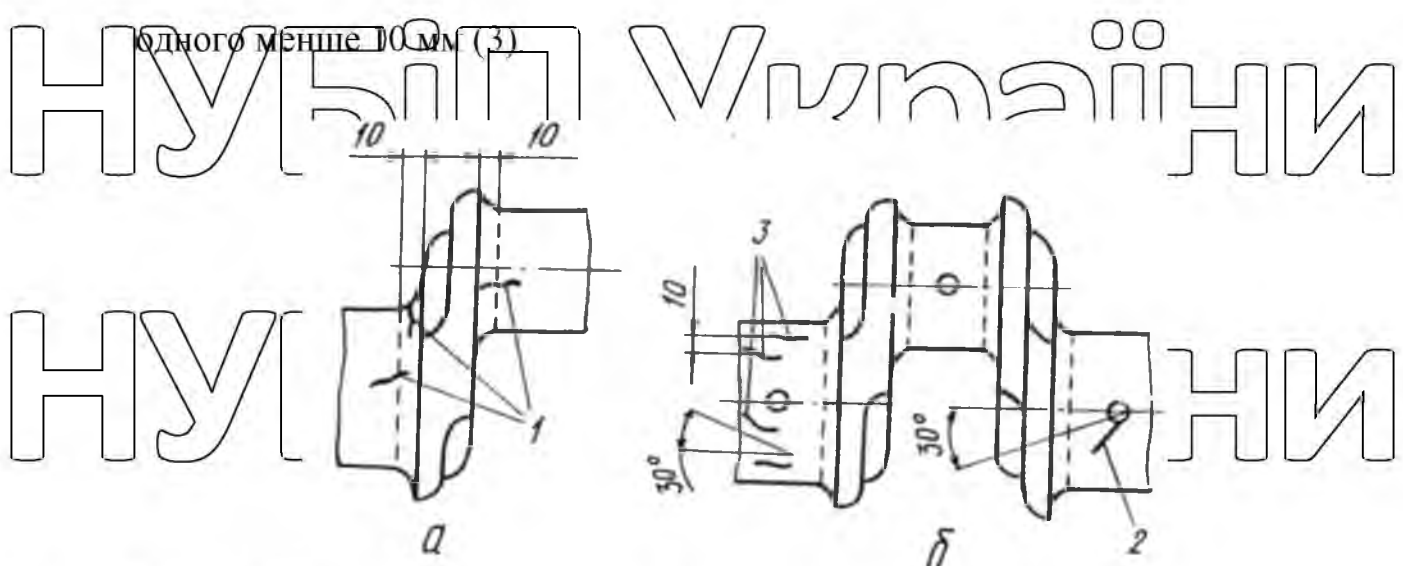


Рис. 3.9. Характерне розташування небезпечних тріщин на шийках колінчастого вала: а - тріщини в зоні галтелей; б - тріщини на циліндричній частині шийок.

### 3.4. Дослідження ремонтного фонду поршнів двигуна ЯМЗ-238

Дослідження ремонтного фонду деталей проводимо, застосовуючи методи математичної статистики, так як їх пошкодження відносяться до категорії випадкових величин. При дослідженні ремонтного фонду деталей для найбільш повного відображення інформації про їх технічний стан дослідження проводимо для 25 поршнів.

1. Досліджуємо технічний стан деталей для дефекту № 1. (Знос поверхні юбки поршня)

Результати заносимо в таблицю 3.4.

Таким чином, за результатами розрахунків розподіл деталей слідуючий

Придатних — 2 шт.

На відновлення — 23 шт.

На вибраковування — 0 шт.

Технічний стан деталей, які надходять у ремонт, оцінюється коефіцієнтами

придатності ( $K_{\text{пр}}$ ), відновлення ( $K_{\text{в}}$ ) і зміності ( $K_3$ ). Ці коефіцієнти характеризують відповідно, кількість деталей, які придатні до подалшої експлуатації, потребують відновлення чи заміни із загальної кількості деталей, які надходять в ремонт. [7]

За отриманими результатами досліджень технічного стану деталей

для дефекту № 1 розраховуємо коефіцієнти придатності, відновлення

та зміності за формулами:

$$K_{\text{пр}} = n_{\text{пр}} / N = 2 / 25 = 0,08; \quad (3.3.1.)$$

$$K_{\text{в}} = n_{\text{в}} / N = 23 / 25 = 0,92; \quad (3.3.2.)$$

$$K_3 = n_6 / N = 0 / 25 = 0,0, \quad (3.3.3.)$$

де  $n_{\text{пр}}$  — кількість придатних деталей;

$n_{\text{в}}$  — кількість деталей, що підлягають відновленню;

$n_6$  — кількість деталей, що підлягають вибракуванню;

$N$  — загальна кількість досліджуваних деталей.

Результати приведених розрахунків заносимо в таблицю 3.5.

Далі приводиться статистичний ряд інформації про спрацювання для дефекту зноє поверхні юбки поршия), визначаємо дослідну ймовірність як співвідношення числа випадків  $m_i$  появи в кожному інтервалі до повторності інформації:

$$P_i = m_i / N \quad (3.3.4.)$$

За цією формулою розраховуємо дослідну ймовірність для кожного інтервалу:

$$P_1 = m_1 / N = 2 / 25 = 0,08 \quad (3.3.4.1)$$

$$P_2 = m_2 / N = 5 / 25 = 0,20 \quad (3.3.4.2)$$

$$P_3 = m_3 / N = 10 / 25 = 0,40 \quad (3.3.4.3)$$

$$P_4 = m_4 / N = 7 / 25 = 0,28 \quad (3.3.4.4)$$

$$P_5 = m_5 / N = 1/25 = 0,04$$

(3.3.4.5)

Визначаємо величину зміщення  $\delta_{zm}$ . Оскільки в даному випадку  $N > 25$ , то використовуємо слідуєчу формулу:

$$\delta_{zm} = \delta_{1\pi} - 0,5 \cdot A = 0,02 - 0,5 \cdot 0,02 = 0,01 \text{ мм},$$

(3.5.)

де  $\delta_{1\pi}$  – значення початку першого інтервалу;

$A$  – величина одного інтервалу.

Визначення середнього значення величини зносу, середньо-квадратичного відхилення ( $\delta$  та  $\sigma$ ). При  $N > 25$  та при наявності статистичного ряду відповідно:

$$\delta = \sum \delta_{ic} \cdot P_i \quad (3.6.)$$

де  $\delta_{ic}$  – значення середини  $i$ -го інтервалу

$$\sigma = \sqrt{\sum (\delta_{ic} - \delta)^2 P_i} \quad (3.7.)$$

Отримуємо

$$\delta = 0,03 \cdot 0,08 + 0,05 \cdot 0,20 + 0,07 \cdot 0,40 + 0,09 \cdot 0,28 + 0,11 \cdot 0,04 = 0,070 \text{ мм}$$

$$\sigma = \sqrt{(0,03-0,07)^2 \cdot 0,08 + (0,05-0,07)^2 \cdot 0,20 + (0,07-0,07)^2 \cdot 0,40 +}$$

$$+ (0,09-0,07)^2 \cdot 0,28 + (0,11-0,07)^2 \cdot 0,04} = 0,019 \text{ мм}$$

Визначення коефіцієнта варіації. Коефіцієнт варіації представляє собою відносну (безрозмірну) характеристику розсіяння показників надійності більш

зручну при виборі і оцінці теоретичного закону розподілу, чим середньо

квадратичне відхилення  $\sigma$ . Коефіцієнт варіації визначається за формулою:

$$v = \sigma / (\delta - \delta_{zm}) = 0,019 / (0,07 - 0,01) = 0,32 \quad (3.8.)$$

Для підвищення точності розрахунків показників надійності дослідну

інформацію вирівнюють (замінюють) теоретичним законом розподілу. Оскілки

$0,3 < v < 0,5$ , то обираємо закон нормального розподілу.

Всі дані зводяться до таблиці 3.5.

Таблиця 3.4 – Статистичний ряд інформації про знос поверхонь юбки поршня 04501349.

№ інт.	Інтервали, Мм	Середина, мм	Частота, $m_i$	Дослідна ймовірність, Р	Накопичена ймовірність, $P_i$
1	0-0,08	0,04	1	0,04	0,04
2	0,08-0,16	0,12	2	0,08	0,12
3	0,16-0,24	0,20	4	0,20	0,32
4	0,24-0,32	0,30	6	0,32	0,64
5	0,32-0,40	0,36	9	0,36	0,90
6	0,40-0,48	0,44	11	0,44	1,00

1	0,02...0,04	0,03	2	0,08	0,02
2	0,04...0,06	0,05	5	0,20	0,28
3	0,06...0,08	0,07	10	0,40	0,68
4	0,08...0,10	0,09	7	0,28	0,96
5	0,10...0,12	0,11	1	0,04	1.00

Таблиця 3.5 Показники технічного стану ремонтного фонду

Назва показника

Одиниці вимірювання

Значення

1 Коефіцієнти :

Придатності

Відновлення

Змінності

2 Границі зміни пошкодження

3 Середнє значення величини зносу

4 Середнє квадратичне відхилення

5 Коефіцієнт варіації

6 Теоретичний закон розподілу

На основі отриманих даних досліджень та проведених розрахунків будуємо гістограму та полігон.

Придатності	0,08
Відновлення	0,92
Змінності	0,0,10
Границі зміни пошкодження	0,070
Середнє значення величини зносу	0,019
Середнє квадратичне відхилення	0,32
Коефіцієнт варіації	ЗНР
Теоретичний закон розподілу	

нубіп України

нубіп України

нубіп України

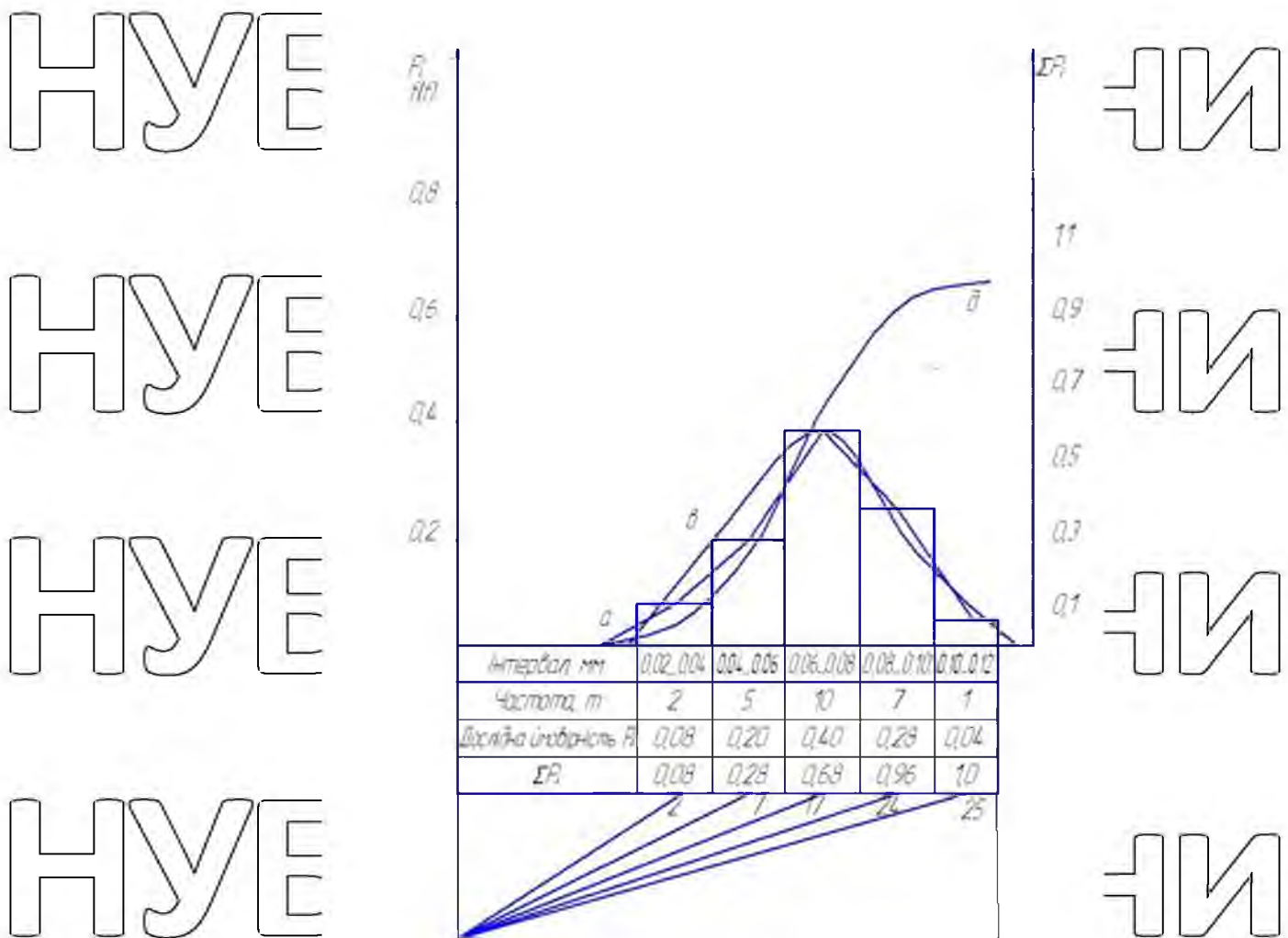


Рис. 3.11. Схема обробки інформації про знос поверхонь лобки поршня.

термопластичним деформуванням (ТПД).

В даний час розроблено декілька способів відновлення і зміцнення внутрішньої поверхні гільз циліндрів автогакторних двигунів, які за своєю технологією діляться на розточування під ремонтний розмір і відновлення до номінального розміру. Для відновлення гільз циліндрів в номінальну розмір застосовуються такі способи: металізація, гальванічні засоби, запресування

зносостійких пластин, наплавка на внутрішню поверхню зносостійких порошків, відновлення нагріванням і т.д.

Основними характерними недоліками наведених вище способів, в результаті яких вони не набули широкого поширення в ремонтному виробництві, є:

**металізація** - низька адгезійна міцність, використання дорогих матеріалів,

складність механічної обробки і високий рівень шуму;

**осталювання** - низька зносостійкість, складність механічної обробки, висока трудомісткість;

**хромування** - низька продуктивність, висока вартість процесу, недостатня змочуваність і припрацюваність поверхні;

**пластинування** - високий ступінь точності всіх операцій, підвищений знос поршневих кілець і угар масла, порушення теплообміну в стінках гільзи;

**відцентрове напікання** - значні деформації, висока вартість матеріалів, складність механічної обробки.

Крім того, практично всі ці способи мають несприятливий

вплив на екологію.

Дослідження і порівняльні випробування та практика ремонтного виробництва підтвердила, що з відомих способів відновлення тільз циліндрів

автотракторних двигунів найбільш перспективним є спосіб термопластичної деформації (ТПД), забезпечує 100 відсотковий післяремонтний ресурс.

Перевагами цього способу є: простота технології, збереження первинних триботехнических умов для сполучення гільза – поршневе кільце,

мінімальний припуск на механічну обробку, висока продуктивність і екологічна чистота процесу. Але даний спосіб вимагає додаткових досліджень

в частині керованості процесу обтиску, отримання необхідної усадки за один прохід і підвищення зносостійкості до рівня нової гільзи циліндрів.

Всі способи можна розділити на два типи: ТПД гільз в жорсткій охолоджувальні матриці (рисунок 3.12. г, д) і без матриці, (рисунок 3.12. а, б,

в).

Порівнюючи способи обтиску гільзи без матриці, бачимо, що вони відрізняються один від одного взаємним розташуванням індуктора і

охолоджуючого спрейера щодо гільзи. Обтиснення гільзи відбувається при безперервно-послідовному швидкому нагріванні і охолодженні локального кільця її ділянки, в результаті дії високого рухомого градента температури (ГТ). Взаємне розташування і рух індуктора і спрейера щодо відновлюваної гільзи безпосередньо впливають на величину деформації і викривлення деталі, зміна її мікроструктури, твердості поверхні, характеру і значення залишкових напруг, утворення тріщин, продуктивність процесу і собівартість відновлення.

До загальних недоліків способів ТПД без матриці слід віднести високі знакозмінні напруги, що виникають при нагріванні - охолодженні, які сприяють тріщинам, і залишкові напруги, що викликають деформацію гільзи. Кожен з цих способів має свої конструктивні переваги і недоліки, але спосіб обтиску гільзи в матриці має зданині переваги в порівнянні зі способами відновлення гільз без матриці, в тому числі:

- досягається найбільша усадка гільз за один цикл  $U_g = 0,7 \dots 1,1 \text{мм}$ ;
- відсутність значних залишкових напружень, викривлення і тріщин;
- висока точність геометрії внутрішньої поверхні гільзи (відхилення від циліндричності не більше  $0,4 \text{ мм}$ );

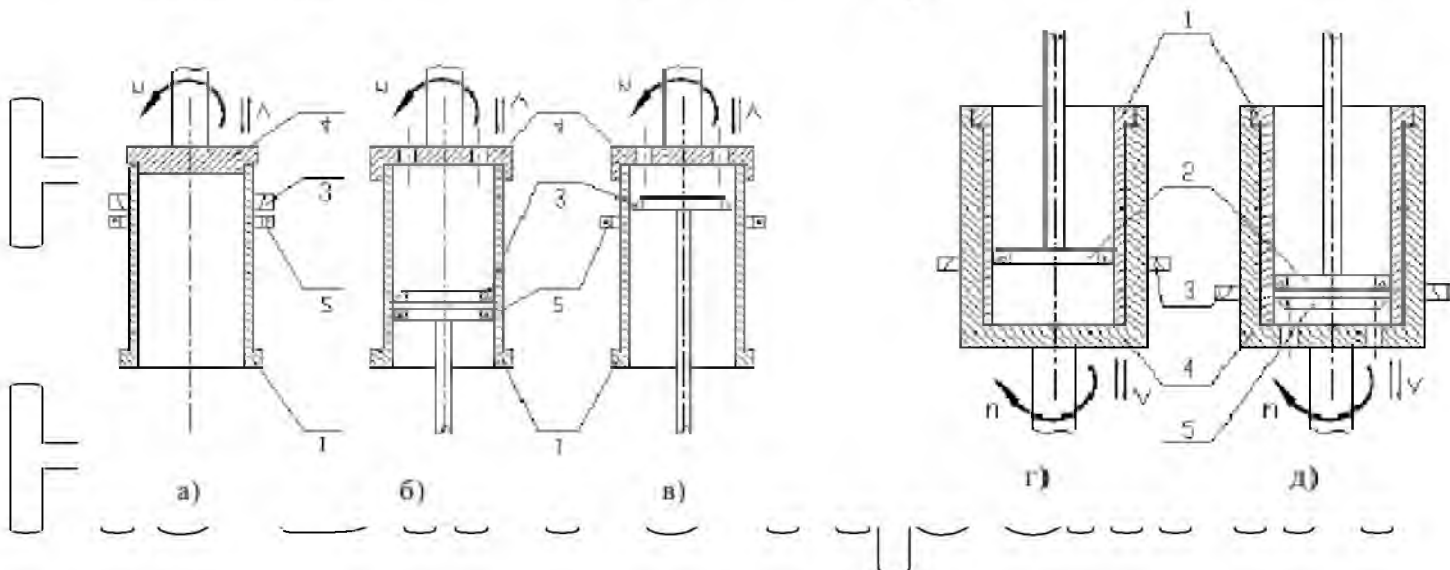


Рисунок 3.12. Схеми способів відновлення внутрішньої циліндричної

поверхні гільз циліндрів термопластичним деформуванням (ТПД).

Без матриці, а) - індуктор і спрейер розташовані зовні гільзи, б) - індуктор і спрейер розташовані всередині гільзи, в) - індуктор розташований зовні, а

спрейер всередині гільзи: 1 - гільза циліндра, 2 - індуктор, 3 - спрейер, 4 - центруюча оправка.

У охолоджуваній матриці, г) - незагартованих гільз в легованого чавуну д) - гартованих гільз: 1 - гільза циліндра, 2 - індуктор, 3 - спрейер охолоджуючий, 4 - матриця, 5 - спрейер гарячий.

Для відновлення легованих гільз циліндрів запропонований спосіб здійснюється за схемою, представленою на рисунку 3.12.г). Гільза при нагріванні вільно розширяється до контакту з матрицею, при подальшому нагріванні матриця перешкоджає вільному розширенню матеріалу гільзи, що призводить до її пластичної деформації, тобто перерозподілу металу всередину, по товщині стінки. Після процесу ТНД величина залишкової деформації гільзи компенсує їх знос, що виникає, викривлення гільзи і припуск на механічну обробку.

При ТНД процес зменшення внутрішнього діаметру відбувається за рахунок пластичної деформації матеріалу гільзи. З метою рівномірного нагріву гільзи по діаметру і висоті в процесі обтику необхідно передбачити обертання і поздовжнє переміщення гільзи.

Основними параметрами режиму відновлення є: температура нагрівання, швидкість нагріву, швидкість охолодження, швидкість обертання деталі, зазор між матрицею і деталлю і деякі інші, які надають істотний вплив на процес пластичної деформації, а отже, і на величину зменшення внутрішнього діаметру гільзи.

Температура нагріву, швидкість нагріву і швидкість охолодження так само визначають структуру металу відновленої гільзи. при відновленні загартованих гільз циліндрів типу СМД-60 необхідно одночасно вирішити три взаємопов'язані завдання: отримати необхідну усадку, загартовану поверхню

HRc 40..42 і бездефектну внутрішню поверхню (тріщини не допускаються). Усадка визначається пластичністю металу, а твердість його крихкістю, швидке нагрівання та охолодження деталі спричиняють виникнення високих напруг,

які призводять до утворення тріщин. Для вирішення завдання ТПД загартованих гільз запропонований комбінований спосіб відновлення гільз циліндрів, рис.3.12 д.

Виходячи з проведеного аналізу літературних даних і статистичної обробки зносів гільз циліндрів, в роботі поставлені та вирішенні наступні завдання:

1. Дослідити напружено-деформований стан і визначити режими відновлення внутрішньої поверхні гільз циліндрів ТПД;

2. Дослідити фізико-механічні та експлуатаційні властивості гільз циліндрів дизелів відновлених ТПД в матриці;

3. Дослідити властивості покріттів, і відпрацювати режими відновлення зовнішніх посадочних пасків гільз циліндрів різними способами.

Предметом дослідження є числові значення напружено-деформованого

стану, кількісні показники фізико-механічних і експлуатаційних властивостей відновлюваних гільз циліндрів в процесі впливу на них змінного градієнта температури як по радіусу, так і вздовж осі, а також впливу жорсткої охолоджувальної матриці.

Дослідження величин і характеру зносів робочих поверхонь проводились шляхом мікрометрування з подальшою статистичною обробкою даних мікрометражу. Зношені гільзи циліндрів вимірювалися на ремонтних підприємствах, в подальшому ці дані використовувалися для визначення меж застосовності розробленого способу відновлення.

Дослідження процесу ТПД проводили із застосуванням установки СВЧ марки ВЧИ-1-60/0,066, призначеної для термопластичної деформації гільз циліндрів. Величина усадки гільзи визначалася мікрометражем внутрішнього діаметра до і після термопластичного обтиску в двох площинах і 4-х перетинах. За середню величину усадки  $Ur$  приймалося середнє арифметичне значення отриманих результатів за всіма чотирма перетинах.

$$U_r = \frac{\sum d_i}{n}$$

(3.5.1.)

де:  $\Delta d$  - середнє значення усадки в перерізі гільзи, мм;  $n = 8$  - число вимірювань усадки.

Дослідження по оптимізації всіх параметрів, що впливають на процес

ТПД, визначені експериментально і уточнені за допомогою теорії планування

багатофакторного експерименту. зміна температури нагрівання здійснювалося варіюванням швидкості переміщення гільзи щодо індуктора. Швидкість нагріву регулювалася зміною потужності, що підводиться установки  $Q = 0,3 \dots$

$4,0 \times 10^3$  Вт/м<sup>2</sup>; швидкість охолодження регулювалася шляхом зміни витрати

води через спрейера в одиницю часу. Частота обертання і швидкість переміщення гільзи визначалися розрахунковим шляхом. Вимірювання твердості внутрішньої поверхні гільз циліндрів проводилося на приладі

2018TPR.

Дослідження температурного поля гільзи під час ТПД виконували з

допомогою хромель-алюмелевих термопар, що встановлюються в гільзі.

Сигнал від термопар реєструвався за допомогою світлопроменевого осцилографа Н-П771. Для дослідження залишкових напружень в гільзі,

відновленої ТПД, вирізалися кільцеві зразки. залишкові

напруги першого роду на кільцевих зразках визначалися методом послідовного видалення шарів. відносні деформації визначалися за допомогою

тэнзорезисторів. Мікроструктура гільзи, відновленої ТПД, досліджувалася на мікроскопі ММ-8 при збільшенні в 100 і 500 разів.

Прискорені випробування двигунів проведені на стенді КП- 5274 з

штучним введенням в нього елементоорганічної присадки АЛН-4Д (ТУ38.101369-73) до палива з концентрацією 2% (по вазі).

Зносостійкість гільз в процесі експлуатації оцінювалася ставленням зміни лінійних розмірів (до і після випробувань) внутрішньої поверхні гільз

відновлених до нових.

Сутність ТПД полягає в тому, що при швидкому індукційному нагріванні деталей типу «порожністий циліндр» створюється градієнт температури (ГТ),

який, деформуючи деталь, викликає її залишкову деформацію (усадку), достатньо для компенсації зносу поверхні і подальшої механічної обробки. При цьому, в одному технологічному циклі, в різний поєднаності, виконуються операції нагріву, деформації і охолодження деталі. Крім того, на

пластичну деформацію надають вплив зовнішні сили (охолоджувана жорстка матриця) і внутрішні (холодні шари металу навколо локально нагрітого кільця частини гільзи) обмежувачі. Тому, щоб отримати необхідну усадку гільзи, без матриці, на практиці застосовують багаторазове повторення циклів.

Використання високих градієнтів температур при відновленні деталей способом ТПЛ створює передумови виникнення і розвитку тріщин.

Застосування зовнішніх механічних обмежувачів (матриці) сприяє їх «заликовуванню».

# НУБІП України



Рисунок 3.13. Схема зміни лінійних розмірів перетину зразка гільзи при ТПД в матриці:  $-D, d, l, d'$  відповідає зовнішній і внутрішній діаметр гільзи до і після ТПД;

Виходячи з рівності об'ємів до і після ТПД

$$\Delta_e^m pdl = \Delta_z^m p Dl' \quad (3.5.2)$$

де  $\Delta_e^m = d - D$ ,  $\Delta_z^m = D - D'$  теоретична усадка зовнішнього і зовнішнього діаметрів після ТПД,  $l = l'$  - довжина деталі прийнята нами за припущенням незмінною.

Величина можливої деформації гільзи при ТПД

становить:  
За оціночний параметр усадки гільзи після ТПД приймаємо

відносну зміну внутрішнього діаметра гільзи

$$\delta = (d - d') / d \quad (3.6.5)$$

Перетворюючи формулу (5), отримуємо:

$$\delta = \Delta_z^m D / d^2 = D^2 [1 - 1 / (1 + \alpha \cdot \Delta T)] / [D(1 - \beta)]^2 = [1 - 1 / (1 + \alpha \cdot \Delta T)] / (1 - \beta)^2 \quad (6)$$

$\alpha$  - коефіцієнт лінійного розширення матеріалу деталі;

$\Delta T$  - різниця температур нагрітої та охолодженої деталі;

$$\delta = \alpha \cdot \Delta T (1 - \beta)^2 \quad k - S \quad (7)$$

$k$  - коефіцієнт залишкової деформації, що враховує стримування процесу деформації холодними частинами гільзи.

$S$  - зазор між матрицею і гільзою.

З отриманої математичної залежності випливає, що відносна усадка  $\delta$  внутрішнього діаметра гільзи не залежить від його розміру  $d$  і визначається коефіцієнтом  $\beta$  відносної товщини стінки гільзи,

і коефіцієнтом лінійного розширення матеріалу гільзи  $\alpha$  і різницею температур нагрітої гільзи і охолодженої гільзи.

При термічній обробці сірого чавуну з тонкопластинчатою перлітною основою (як і електротермічної сталі) температура нагріву підвищується незначно вище  $A_{c1}$ , тому зростання зерна аустеніту буде також незначним. До кінця нагріву аустеніт буде дрібнозернистим.

Крім того, при швидкому нагріванні, в результаті перекристалізації, відбувається додаткове подрібнення зерна, тому при відновленні деталей ТПД високовуглецевих сплавів легко отримати структуру безірольчатого мартенситу.

Розрізняють декілька видів зверхпластичності: дрібнозерниста, субкритична, мартенситна і рекристалізаційна. У реальних технологічних процесах відновлення деталей ТПД спостерігається явища субкритичної маргентистної зверхпластичності. Вплив зверхпластичності на величину залишкових напруг полягає в нерівномірній пластичній деформації різних шарів деталі, обумовленої ГТ при нагріванні і охолодженні. В першу чергу, деформуються ті шари деталі, в яких починаються фазові перетворення. Після охолодження, завдяки стисненню внутрішніх шарів і деформації зовнішніх шарів деталі, виникають залишкові напруги.

У цьому розділі наведені результати експериментальних досліджень технології відновлення гільз циліндрів ТПД в матриці.

Дослідження змін величини і форми усадки гільз циліндрів від температури нагріву. Дослідження проводилися в межах від 700 до  $950^{\circ}\text{C}$ , з інтервалом  $50^{\circ}\text{C}$ , при швидкості нагріву  $V = 70^{\circ}\text{C}/\text{s}$  і зазорі між матрицею і зразком  $S_0 = 0,1 \text{ mm}$ . Швидкість охолодження матриці характеризувалася витратою води через спрейер в одиницю часу. Для охолодження матриці

витрата становив 70 л/хв., для гарту - 20 л/хв. Проведені дослідження показують, що найбільший коефіцієнт усадки належить інтервалу нагріву  $800\text{--}850^{\circ}\text{C}$ . Це пояснюється тим, що при індукційному нагріванні в побочковий період, поки деталь "холодна" в інтервалі до  $700^{\circ}\text{C}$ , усадка

відбувається, в основному, за рахунок градієнта температури (швидкості нагріву) і незначно - за рахунок температури. Далі, коли струм проникає в тіло деталі і збільшується товщина нагрітого шару до  $800\ldots850^{\circ}\text{C}$ , то на величину усадки впливає спільна дія температури і градієнт температури при нагріванні

гільзи понад  $850^{\circ}\text{C}$  вплив градієнта температури по перетину гільзи

знижується, і усадка визначається, в значній мірі, тільки температурою нагріву.

На графіку рис. 4.3, видно, що при збільшенні температури нагріву

відбувається різке збільшення овальності і конусоподібності гільзи, які

досягають при  $950^{\circ}\text{C}$  0,15 і 0,17 мм відповідно. Найкращі результати отримані

при температурі нагріву  $850^{\circ}\text{C}$ . При цій температурі досягається необхідна для

подальшої механічної обробки усадка і допустиме відхилення форми отвору

гільзи, що забезпечує її відновлення з зносом до 0,5 мм. включно.

З графіків (рис. 4.3.) видно, що зі збільшенням швидкості нагріву середня

величина усадки зростає. При цьому, чим вище швидкість нагрівання, тим

більше темп зростання. Так, на ділянці від  $30$  до  $50^{\circ}\text{C}/\text{s}$  коефіцієнт усадки  $K_y$

$= 0,003$ , а на ділянці від  $50$  до  $70^{\circ}\text{C}/\text{s}$   $- K_y = 0,0095$ , що в 3 рази більше.

Овальність і конусоподібність гільзи також зростає зі збільшенням

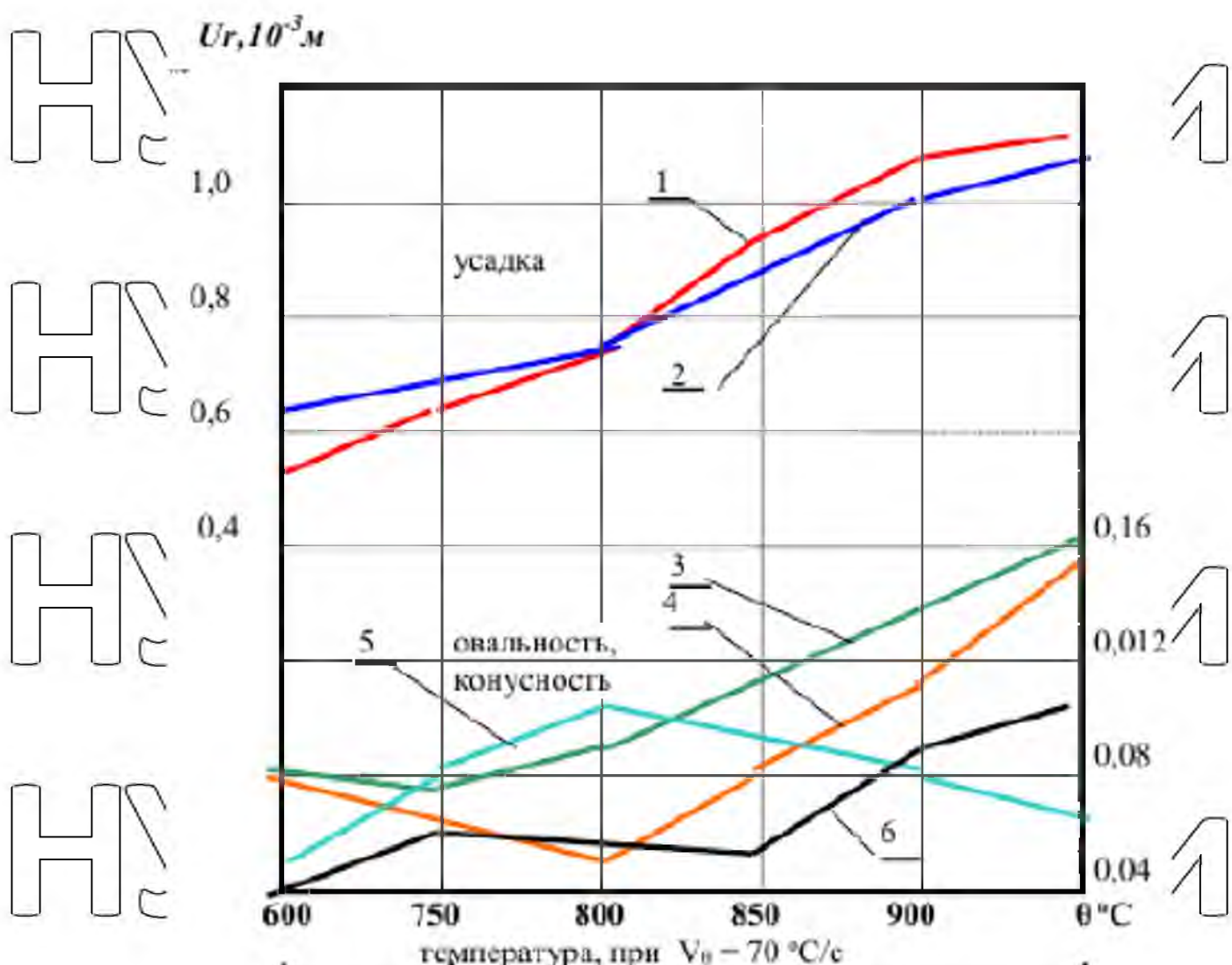
швидкості нагріву, але меншою мірою змінюється на всьому інтервалі від  $0,04$

до  $0,09$  мм. Збільшення швидкості нагріву понад  $80^{\circ}\text{C}/\text{s}$  недопуштено, тому що

установка СВЧ працює на максимальній потужності.

# НУБІП України

# НУБІП України



НУБІП Український

НУБІП Український

НУБІП Український

нубіп України

нубіп України

нубіп України

Рисунок 3.14. Залежність зміни величини і форми (овальності і конусності) усадки гільзи від температури і швидкості нагріву 1 - усадка від температура нагріву  $\theta_g$ ; 2 - усадка від швидкості нагріву  $V\theta$ ; 3 - конусоподібність від  $\theta$  при  $V\theta = 70^\circ \text{ С/с}$ ; 4 - овальність від  $\theta$  при  $V\theta = 70^\circ \text{ С/с}$ ; 5 - конусоподібність від  $\theta$  при  $V\theta = 850^\circ \text{ С}$ ; 6 - овальність від  $\theta$  при  $V\theta = 850^\circ \text{ С}$ .

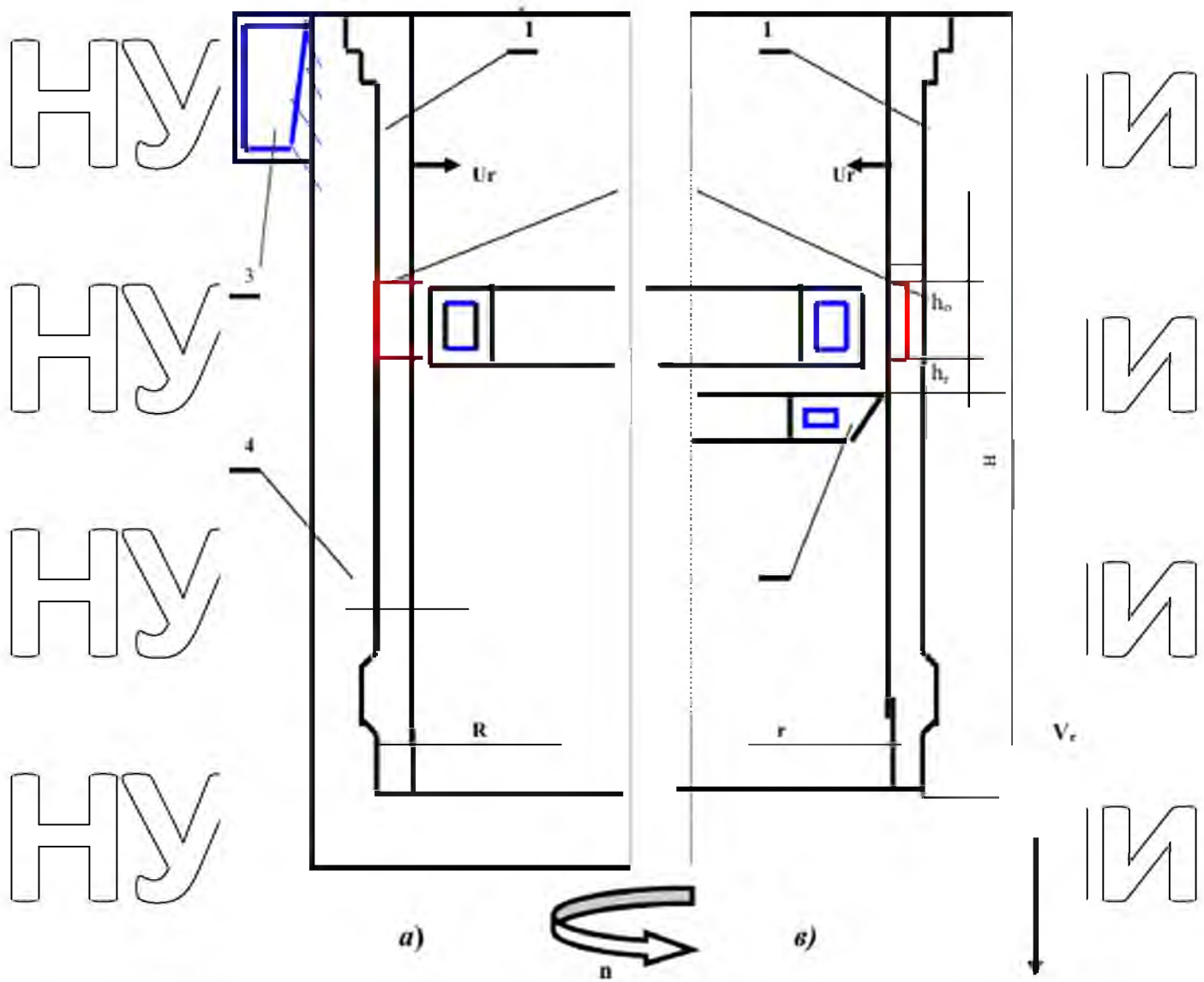
Вплив матриці на процес ТПД наведено на рисунку 4.4. На половині

меридіального перетину гільзи схематично показані два способи

відновлення гільзи і наведено їх технологічні параметри.

нубіп України

нубіп України



Малюнок 3.15. Перетин гільзи при ТЛД.  
 а) в жорсткій охолоджувальній матриці; б) без матриці, шляхом створення  
 рухомого градієнта температури: 1 - гільза циліндрів; 2 - індуктор; 3 - спрейер;  
 4 - матриця;  $\Delta r_0$ ;  $h_0$  - глибина і висота нагріву;  $V_r$  - швидкість  
 переміщення гільзи;  $\theta$  - потужність джерела теплоти;  $r$  - відстань  
 між індуктором і спрейером;  $H$ ,  $R$ ,  $n$  - геометричні параметри  
 гільзи;  $U_r$  - радіальна усадка гільзи;  $n$  - частота обертання гільзи.

В обох випадках гільза нагрівається безперервно – послідовним способом,

шляхом нагрівання локальної її частини (область Q). При цьому необхідно відзначити наступне:

- $\Delta r_\theta$  - глибина нагріву побічно характеризується частотою змінного струму і часом попередньої витримки прогріву при відновленні гільзи в матриці;
- $\Delta r_{\theta\max} = R-r$ , що відповідає наскрізну прогріву на всю товщину гільзи;
- $h_\theta$  і  $h_r$  - висота кільцевого індуктора і відстані від нижнього його торця до центру отворів гарячального спрейера;
- індуктор нерухомий, гільза щільно до індуктора має вертикальний поступальний і обертальний рух.

Дослідженнями встановлено:

- при одних і тих же значеннях потужності джерела тепла ( $\theta$ ) і висоти індуктора ( $h_\theta$ ) радіальна усадка ( $Ur$ ) збільшується зі збільшенням глибини прогріву ( $\Delta r_\theta$ ) і має найбільше значення при наскрізному прогріванні гільзи, тобто при  $\delta_1 = \Delta r_\theta/(R-r) = 1$  радіальна усадка досягає свого максимального значення, до  $Ur_{\max} = 1,1$  мм;

- радіальна усадка ( $Ur$ ) залежить від висоти ( $h_\theta$ ) індукуючого кільця. Максимальне значення виходить при  $\delta_1 = h_\theta / H = 0,25$
- за умови постійного нагрівання гільзи до температури  $T_{\theta\max} = 850^\circ\text{C}$  найбільша усадка  $Ur_{\max}$  досягається при швидкості нагріву  $Vr = 70^\circ\text{C}/\text{s}$ ;

- при величині швидкості нагріву  $Vr = 40 \dots 80^\circ\text{C}/\text{s}$  (або  $Vr = 1 \dots 2 \text{ mm/s}$ ) усадка збільшується з 0,4 мм до 0,8 мм.
- постійна максимальна температура нагріву гільзи  $T_{\theta\max} = 850^\circ\text{C}$  забезпечується збільшенням потужності джерела струму  $\theta = 0,37 \times 10^9 - 1,37 \times 10^9 \text{ Вт/m}^3$ ;

- при постійній потужності джерела струму  $\theta = 1,37 \times 10^9 \text{ Вт/m}^3$ , радіальна усадка ( $Ur$ ) залежить від температури нагріву  $T_\theta$ , чим більше температура нагріву, тим більше усадка гільзи. Однак нагрівати гільзу більше  $900^\circ\text{C}$  недоцільно, тому що відбуваються значні структурні зміни її металевої основи;

- зі збільшенням швидкості охолодження величина усадки збільшується внаслідок меншого теплового розширення матриці;

твірдість, глибина загартованого шару і структура матеріалу знаходяться в такий же залежності, що і радіальна усадка гільзи, тобто твірдість і глибина загартованого шару буде тим більше, чим вище температура, швидкість нагрівання та охолодження деталі.

Основними параметрами оптимізації при проведенні експериментів

були:

- величина діаметральної усадки  $U_f$ ,  $10^{-3}$  мм;

- твірдість внутрішньої поверхні, НРС;

- бездефектність матеріалу гільзи (відсутність тріщин після ТПД гільзи);
- структурні зміни матеріалу.

Для оптимізації вибраних режимів проводився багатофакторний експеримент типу  $U = 2^3$ ;

За незалежні змінні при проведенні дослідів прийнято:

- температура нагріву -  $\Theta_r$  °C

- швидкість нагріву -  $V_{\Theta}$ , °C/c

- швидкість охолодження -  $V_{L/HB}$ .

Аналізуючи результати експериментів і з огляду на вище сказане,

оптимальними режимами ТПД необхідно приймати середні режими,

забезпечують надійну експлуатацію обладнання, економію електроенергії та ін.

Таким чином обрані наступні режими ТПД при відновленні гільз циліндрів.

Таблиця 3.6.1. Режими відновлення гільз циліндрів.

Гільзи циліндрів	леговані	загартовані
Параметри	без попереднього підігріву	з попереднім підігрівом
Температура нагріву, °C	840...860	840...860
	800...820	

Швидкість нагріву, град./с	70...80	70... 80	50...60
Витрата води для матриці, л/хв	60.70	60.70	70 ..80
Витрата води для спрейера,л/хв	-	20	20...25
Швидкість відносного переміщення гільзи і індуктора, мм/с	1,7...2,0	1,7...2,0	3,0...3,5 2,0...2.5(п.х.)
Частота обертання , хв <sup>-1</sup>	26	26	26

Проведені дослідження показали, що при швидкому нагріванні до 850°C

структуря металевої основи знаходиться в межах вимог ГОСТу 3443-77.

Аналіз мікроструктури показує, що при нагріванні до 850 °C, хоча структура і знаходиться в межах вимог ГОСТу, але помітні зміни форми, кількості та характеру розподілу графіту, що вільно виділився.

Пластини стали більш прямолінійні, що погіршує механічні властивості чавуну, як по зносостійкості, так і по міцності. Проведені металографічні дослідження гільз циліндрів показали, що зношені і відновлені гільзи (нагрів до 850° С, швидкість нагріву 70° С/сек.) Мають практично однакову структуру, металева основа складається з перліту, фериту, фосфідної евтектики і включення графіту. Таким чином, встановлено, що швидке нагрівання до 850° С не вносить помітних змін в структуру чавуну і відповідає вимогам ГОСТу 3443-78 а отже, і не погірює триботехнічні умови роботи сполучення гільза – кільце.

Дослідженням встановлено, що при пластичній деформації в деталях виникають залишкові внутрішні напруження, які при певних умовах можуть вплинути на геометричні параметри, отже, і на довговічність цих деталей.

На малюнку 4. показані криві розподілу напружень по перерізу дослідженіх зразків. У дослідженіх зразках значення внутрішніх тангенціальних і радіальних напружень по всьому перетинах нижче межі текучості даного матеріалу ( $\sigma_t=420..670$  МПа).

Максимальні тангенціальні і радіальні напруження в еталонних зразках мають значення відповідно +240 МПа і +1,4 МПа, в зразках з відновлених гльз відповідно +210 МПа і +1,5 МПа.

У зв'язку з тим, що «усадка» гльзи при способі ТПД в матриці

відбувається як по внутрішній, так і на зовнішній поверхні, виникає

необхідність нанесення компенсаційного покриття на посадочні пояски. В результаті вимірювань відновлених гльз, середня усадка зовнішніх посадочних пасків склада 0,5...0,6 мм. на діаметр при

овальності 0,05...0,1 мм., подовження гльзи складо 0,2...0,35 мм.

При виборі покриття, компенсуючого усадку і знос, враховувалося наступне: покриття товщиною 0,5...0,6 мм повинне мати достатню міцність зчеплення з поверхнею гльзи в умовах механічних, теплових навантажень, тривалої експлуатації двигуна. Цим

умовами, в найбільш повному обсязі, задовольняє спосіб електродугової

металізації Металізація пасків здійснювалася серійним модернізованим електрометалізатором ЕМ-12М з джерелом живлення ПСР-500. Для металізації використовували алюмінієвий дріт марки

АД-1 або А-5 діаметром 1,2...2,0 мм, а також зварювальний дріт Св-0,8.

Режими металізації: марка металу - АТ-1 Ø 1,2 мм; дистанція напіллення, 130 мм; частота обертання, 15 об/хв<sup>-1</sup>; швидкість поздовжньої подачі металізатора, 6 мм/об; тиск стисненого повітря,

0,45...0,55 МПа; діаметр повітряного сопла, 8 мм; діаметр дроту, 2 мм;

швидкість подачі дроту, 5,4 м/хв; інтервал напруг, 27..30 В;

зварювальний струм, А - 250..270; витрата дроту, 6,2 кг/год.

Проведені лабораторні експлуатаційні порівняльні випробування відновлених гльз способом ТПД в матриці 1 нових гльз

показали, що зносостійкість відновлених гльз на рівні нових.

Експлуатаційні випробування 16 двигунів, в яких були попарно встановлені нові і відновлені гльзи, показали, що середнє значення швидкості зношування становить  $0,89 \times 10^{-4}$  мм/мото-год. Парні

деталі (поршні і поршневі кільця) мають темп зносу рівний зносу деталей, пов'язаних з новою гильзою. Прискорені випробування на зносостійкість гільз, відновлених в номінальний розмір різними способами показали, що в цілому, спосіб ТПД в матриці є більш переважним, в порівнянні з іншими способами.

# НУБІП України

# НУБІП України

# НУБІП України

# НУБІП України

## РОЗДІЛ 4. ОБГРУНТУВАННЯ ГРАНИЧНИХ ТА ДОПУСТИ-

### МИХ ПРИ РЕМОНТІ РОЗМІРІВ ЦИЛІНДРО-ПОРШНЕВОЇ ГРУПИ

# НУБІП України

двигунів двигунів ЯМЗ-238

Границі та припустимі при ремонті спрацювання деталей та їх спряжень можуть бути визначені експериментальним, а також аналітичним способами.

Розрахунках зробимо аналітичним способом. Він ґрунтується на використані

# НУБІП України

кореляційних залежностей між величиною спрацювань і такими їх конструктивними характеристиками як розмір, вид посадки, точність та ін.

Дано з'єднання гільзи циліндрів та поршня двигунів ЯМЗ-238 КМ. Діаметр гільзи циліндра складає  $D=130^{+0,02}_0$ , а зовнішній діаметр поршня складає  $d=130^{+0,18}_{-0,20}$ . Потрібно визначити їх граничні та допустимі при ремонті спрацювання (розміри).

Цю задачу вирішуємо в наступній послідовності.

1. Визначаємо номінальні зазори в з'єднанні:

$$S_{\max} = D_{\max} - d_{\min} = 130,02 - 129,80 = 0,22 \text{ мм},$$

$$S_{\min} = D_{\min} - d_{\max} = 130 - 129,82 = 0,18 \text{ мм},$$

де  $D_{\min}$ ,  $D_{\max}$  – мін. та макс. розміри внутрішнього діаметра гільзи, мм;

$d_{\min}$ ,  $d_{\max}$  – мін. та макс. розміри поршня, мм.

2. Визначаємо поля допуску на розміри гільзи ( $T_D$ ) та поршня ( $T_d$ ):

$$T_D = E_s - E_i = 0,02 - 0 = 0,02 \text{ мм}$$

$$T_d = e_s - e_i = -0,18 + 0,20 = 0,02 \text{ мм}$$

де  $E_s$ ,  $E_i$  – верхнє та нижнє відхилення гільзи;

$e_s$ ,  $e_i$  – верхнє та нижнє відхилення поршня, мм.

3. Визначаємо допуск посадки ( $T_{SK}$ ):

$$T_{SK} = T_D + T_d = 0,04 \text{ мм.}$$

4. Для переходної посадки визначаємо граничні ( $I_{S_{\text{пр}}}$ ) і допустимі ( $I_{S_{\text{доп}}}$ ) при

ремонті спрацювання спряжених поверхонь деталей

$$I_{S_{\text{пр}}} = 2,5D + 6,8T_{SK} - 0,6S_{\min} - 20 = 2,5 * 130 + 6,8 * 0,04 - 0,6 * 0,18 - 20 = 419 \text{ мкм} = 0,42 \text{ мм}$$

$$I_{S_{\text{доп}}} = 110 + 0,2S_{\min} - 0,7D + 0,5T_{SK} = 110 + 0,2 * 0,18 - 0,7 * 130 + 0,5 * 0,04 = 71 \text{ мкм} = 0,07 \text{ мм},$$

де розмірність мінімальний зазор в з'єднанні та допуск посадки береться в мікрометрах.

5. Визначаємо граничні та допустимі спрацювання гільзи ( $I_{D_{\text{пр}}}$  та  $I_{D_{\text{доп}}}$ ):

$$I_{D_{\text{пр}}} = (T_D / T_{SK}) * I_{S_{\text{пр}}} = (0,02 / 0,04) * 0,42 = 0,21 \text{ мм}$$

$$I_{D_{\text{доп}}} = (T_D / T_{SK}) * I_{S_{\text{доп}}} = (0,02 / 0,04) * 0,07 = 0,035 \text{ мм}$$

6. Визначаємо граничні та допустимі спрацювання поршня ( $I_{d_{\text{пр}}}$  та  $I_{d_{\text{доп}}}$ ):

$$I_{d_{\text{пр}}} = (T_d / T_{SK}) * I_{S_{\text{пр}}} = (0,02 / 0,04) * 0,42 = 0,21 \text{ мм}$$

$$I_{d\text{доп}} = (T_d/T_{SK}) * I_{S\text{доп}} = (0,02/0,04) * 0,07 = 0,035 \text{ мм}$$

χ. Визначаємо граничні та дозволені при ресмонті зазори в з'єднанні деталей  
 $(S_{\text{гр}} \text{ та } S_{\text{доп}})$ :  
 $S_{\text{гр}} = I_{D\text{гр}} + I_{d\text{доп}} + S_{\text{max}} = 0,64 \text{ мм}$

$$S_{\text{доп}} = I_{D\text{доп}} + I_{d\text{доп}} + S_{\text{max}} = 0,29 \text{ мм.}$$

**НУБІП України**

**НУБІП України**

**НУБІП України**

**НУБІП України**

**НУБІП України**

**НУБІП України**

Таблиця 4.1 - Границі та допустимі при ремонті зноси та розміри деталей циліндро-поршиової групи

Номер позиції	Спряжені деталі		Розмір за кресленням, мм	Натяг (-), зазор (+), мм		
	Назва	Позначення		За кресленим	Допустимий	Граничний
1	2	3	4	5	6	7
1	Гільза циліндра Поршень двигуна	236-1002021-А 238-1004015-Б	$\varnothing 130^{+0,02}$ $\varnothing 130^{-0,18}_{-0,2}$	+0,18 +0,22	+0,29	+0,64
2	поршень (ширина канавки) перше поршневе кільце (товщина)	238-1004015-Б 236-1004002-А4	$3^{+0,065}_{-0,045}$ $3_{-0,015}^{+0,015}$	+0,045 +0,080	+0,15	+0,32
3	поршень (ширина канавки) друге поршневе кільце (товщина)	238-1004015-Б 236-1004002-А4	$2^{+0,060}_{-0,040}$ $2_{-0,015}^{+0,015}$	+0,040 +0,075	+0,11	+0,20

# НУБІП України

Продовження таблиці 4.1

1	2	3	4	5	6	7
4	поршень (ширина канавки) та маслов з ємні поршневе кільце (товщина).	238-1004015-Б 236-1004002-А4	$3,5^{+0,055}_{-0,015}$ $3,5^{+0,055}_{-0,015}$	$+0,025$ $+0,070$	+0,12	+0,24
5	поршень та палець поршневий	238-1004015-Б 236-1004020	$50^{-0,006}_{-0,012}$ $50_{-0,003}$	-0,003 $-0,012$	+0,003	+0,074
6	втулка шатуна палець поршневий	236-1004045-Б 236-1004020	$50^{+0,018}_{-0,012}$ $50_{-0,003}$	-0,012 $+0,021$	+0,032	+0,163

# НУБІП України

# НУБІП України

# НУБІП України

**РОЗДІЛ 5. СКЛАДАННЯ ТА ОБКАТУВАННЯ ДВИГУНА**

## 5.1. Вимоги до відремонтованих деталей і складальних одиниць.

### Блок-картер

1. Зварні шви повинні бути щільними, без підрізів, тріщин, пористості.
2. До складання не допускаються блоки циліндрів, що мають кавітаційне

руйнування нижніх посадочних поясків під гільзи. При усунені цього дефекту установкою ремонтного кільця з натягом  $0,090 \pm 0,035$  мм забезпечити

шерохуватість поверхні кільця після обробки не нижче  $R_a = 2,5$  мкм.

3. Допускається установка блоків циліндрів після видалення шару металу з плющин роз'єму кришок корінних опор з підальнюю розточеннем щоби зі зміщенням осі у напрямку до опор розподільного вала на  $0,12 \pm 0,02$  мм. При

цьому відстань від поверхні роз'єму до осі корінних опор має бути не менше 434,75 мм. Розмір контролювати пристосуванням для контролю розміру від

плющини роз'єму блоку циліндрів до осі корінних опор 70-8511-3401. Після обробки відхилення від соосності отворів під корінні підшипники повинно бути не

більше 0,025 мм, овальність і копусообразність отворів не більше 0,010 мм.

4. Глибина виточки під бурт гільзи повинна бути не більше 12,05 мм, при більшому розмірі допускається проточування майдаників у всіх кільцевих виточками блоку з установкою ремонтних кілець. При цьому забезпечити

різницю глибин виточек під одну головку не більше 0,05 мм і відхилення від площинності торця кільцевої виточки на ширині 2,5 мм не більше 0,01 мм.

Глибину виточки контролюють пристосуванням 70-8701-1062/001.

5. При заміні втулок під шийки розподільного вала діаметри отворів втулок повинні відповідати вимогам.

### 5.2. Технологія складання та обкатування двигуна

1. Складання блоків циліндрів проводити в слідучій послідовності:  
проконтролювати виступання бурту гільзи над привалочною плющиною блоку, яке повинно складати  $0,07 \dots 0,17$  мм; різниця виступання гільз для кожного ряду

циліндрів не більше 0,08 мм;

встановити ущільнювальні кільця на гільзи циліндрів;

встановити гільзи циліндрів в блок; перевірити герметичність

ущільнювальних кілець і зварних швів, водяної сорочки блоку; течі не

допускається;

встановити шпильки кріплення головки циліндрів,

2. Ущільнювальні кільця перед установкою на гільзу змастити моторним маслом. Гільзи встановити в блок таким чином, щоб мітка, вибита на

верхньому торці гільзи, була звернена до зовнішньої частини дизеля. Перед

установкою гільз західні фаски в блокі змастити моторним маслом.

3. Випробування на герметичність проводити під тиском пробного середовища (води)  $0,3 \pm 0,1$  МПа ( $3 \pm 1$  кгс/см $^2$ ) протягом 2 хв. Течі та підтікання

не допускається.

4. Затягувати шпильки кріплення головки циліндрів слід крутним моментом  $88,2 \pm 9,8$  Н·м ( $9 \pm 1$  кгс·м).

5. При складані шатуна з поршнем поршневий палець встановлювати у

попередньо нагрітий до  $90 \pm 10$  °C поршень. Палець встановлювати вручну,

запресовування і установка пальця в холодний поршень не допускаються.

Стопорні кільця повинні надійно фіксувати палець в поршні від осьового переміщення. Зсув камери в поршні повинен бути направлено у бік довгого борта шатуна.

6. Підібрані по гільзах (або калібром діаметром  $130 \pm 0,020$  мм) поршневі

кільця повинні мати тепловий зазор в замку  $0,55 \pm 0,10$  мм.

Пружність поршневого кільця при стисканні його пинчиком стрічкою до зазору в замку  $0,55 \pm 0,10$  мм повинна бути  $25,5 \dots 34,3$  Н ( $2,6 \dots 3,5$  кгс) для верхнього

компресійного кільця,  $18,6 \dots 25,5$  Н ( $1,9 \dots 2,6$  кгс) - для другого і третього

кілець,  $2,9 \dots 9,8$  Н ( $0,3 \dots 1,0$  кгс)-для маслоземного кільця 236-1004035-B2,

$58,8 \dots 78,4$  Н ( $6 \dots 8$  кгс) - для маслоземного кільця з розширювачем в зборі 236-

1004034 і  $4,9 \dots 11,5$  Н ( $0,5 \dots 1,2$  кгс) - для маслоземного кільця 236-1004035B без розширювача.

## Обкатка і випробовування.

Всі дизелі при завершенні процесу капітального ремонта піддаються технологічній обкатці і прийомоздаточним випробуванням і крім того, проходять вибіркові періодичні короткочасні випробування. Обкатка і випробування дизелів проводяться відповідно до РТМ 70.0001.078-82.

### Технологічна обкатка

Технологічна обкатка включає в себе холодну і гарячу протягом 20 і 110 хв.

Режими і етапи холодної та гарячої обкаток представлена в табл. 6.1 і 6.2.

Таблиця 5.1 - Режими холодної обкатки

Номер етапа	Частота обертання колінчастого вала, хв-1	Час обкатки, хв
1	800	5
2	1200	10
3	1400	5

Закінчивши холодну обкатку змінити масло та фільтр грубої очистки

Таблиця 5.2 - Режими гарячої обкатки

Номер етапа	Частота обертання колінчастого вала, хв-1	Крутний момент Н·м (кгс·м)	Час обкатки, хв
1	1500	0	15
2	1700	0	15
3	При положенні органів керування регулятором частоти обертання, що відповідає повній подачі палива	294 (30) 353 (36)	20
4		598 (61)	20
5		735 (75)	20

## РОЗДІЛ 6. ЗАХОДИ ПО ОХОРОНІ ПРАЦІ ТА ЗАХИСТУ

### НАВКОЛИШНЬОГО СЕРЕДОВИЩА

#### 6.1. Загальні заходи безпеки.

Робітники, що поступають на ремонтні підприємства, повинні отримати

інструктаж з загальними правилами техніки безпеки, інструктаж на робочому місці, а також оволодіти практичними навичками безпечноного проведення робіт і пройти перевірку отриманих знань і навичок.

Результати перевірки знань повинні реєструватися в спеціальному журналі.

Робочий повинен виконувати тільки ту роботу, яка йому доручена майстром або начальником цеху.

Перед початком роботи робітник повинен надіти встановлену для даного виду робіт спецодяг, спецвзуття, головний убір і при необхідності захисні пристосування (захисні окуляри, респіратор, шолом і ін.). Одяг повинен бути застебнутий на всі гудзики.

Робітник, приступаючи до виконання операцій на робочому місці, зобов'язаний перевірити наявність і справність захисних огорожень, пристосувань, а також надійність кріплення заземлюючих провідників.

Вантажі вагою більше 20 кг дозволяється піднімати тільки підйомними механізмами із застосуванням спеціальних захоплень. Підйом вантажу повинен проводитися тільки вертикально.

Робітнику забороняється:

- а) торкатися електропроводки і корпусів працюють електродвигунів;
- б) стояти під вантажем і на шляху його переміщення;
- в) курити в цехах, на робочих і інших місцях, де застосовуються і зберігаються легкозаймисті матеріали і гази. Налити дозволяється тільки в спеціально відведеніх для цього місцях.

При перекладі на іншу роботу з використанням нового обладнання

**НУБІЙ Україні**  
робітник зобов'язаний ознайомитися з його конструкцією, методами безнеченої роботи на ньому і повинен пройти додатковий інструктаж з техніки безпеки.

Робітник зобов'язаний утримувати в чистоті і порядку робоче місце, не захаращувати проходів та проїздів, укладати заготовки і вироби в відведеніх місцях, повідомляти майстру про всі помічені несправності обладнання.

Всі робочі зобов'язані знати правила і прийоми з надання першої медичної

допомоги при нещасному випадку потерпілому. Про нещасний випадок необхідно повідомити майстру чи начальнику цеху.

Заходи безпеки під час підготовки до роботи.

Розробка і складання дрібних вузлів повинна проводитися на верстатах, а великогабаритних - на спеціальних стендах, до яких повинен бути забезпечений доступ з усіх боків. Виробляти розбирально-складальні роботи на підлозі забороняється.

При монтажі деталей всередині і зовні сільськогосподарських машин (комбайнів, молотарок та ін.) Застосовувати стійкі сходи, стійки, дерев'яні щитки, спеціальні підкладки та інші пристрої, що забезпечують безпеку під час

монтажних робіт. Застосовувати випадкові підставки. Забороняється. При розбиранні та складанні вузлів і механізмів застосовувати знімачі і пристосування, що забезпечують безпечно умови роботи.

Знімачі не повинні мати тріщин, погнутих стрижнів або спотореної форми робочої поверхні, зірваної і зім'ятої різьблення. Користуватися зношеними і несправними знімачами і пристосуваннями забороняється.

При монтажі вузлів і механізмів, що мають пружини, необхідно застосовувати пристрої, що забезпечують неможливість раптового дії пружини. Установку стислих пружин виробляти також за допомогою

спеціальних пристосувань.

Мешта повинні бути міцно укрілені на верстаті. Працювати на лещатах зі зношеною рискою тубок забороняється.

Робочий інструмент повинен забезпечувати безпеку робіт:

а) бойки молотків і кувалд не повинні мати задирок і тріщин, поверхня яких повинна бути злегка випуклою, гладкою і не збитою;

б) ручки молотків і кувалд повинні бути заклинено зажорженими клином з

м'якої сталі, поверхня ручок повинна бути овальної, гладкою, без тріщин, задирок і сучків, на поверхні їх не повинно бути масла;

в) напилки, шабери і інший інструмент загостреними неробочими кінцями повинні мати рукоятки з бандажними кільцями;

г) на ударній поверхні зубил, крейцмейселів, бородків і інших

інструментів не повинно бути задирок, вибоїн і тріщин, потиличі інструменту не повинні бути скошені або збиті. Довжина зубила повинна бути не менше 150

мм. Відтягнуту частину зубил повинна мати 60-70 мм з лезом, заточеним під кутом, відповідним оброблюваного матеріалу.

При отриманні з роздавальної комори інструментів, знімачів, пристосувань і т. д. перевірити справність їх.

## 6.2. Заходи безпеки при виконанні складальних робіт.

Зеви гайкових ключів повинні відповідати розмірам гайок і головок болтів.

Забороняється подовжувати гайкові ключі приєднанням іншого ключа або труби, підкладати металеві пластини між гайкою (головкою болта) і зевом ключа, ударяти молотком по ключу, а також відкручувати гайки і болти за допомогою зубила і молотка.

При вивертанні шліцьових гвинтів потрібно користуватися викруткою, довжина робочої частини якої дорівнює діаметру головки гвинта.

При роботі розсувним ключем необхідно притискати губки ключа впритул до граней гайки і поворот виробляти в сторону рухомої частини ключа.

При користуванні підйомно-транспортними засобами:

а) не піднімати вантаж, вага якого перевищує вантажопідйомність механізму;

б) надійно і без нерекоеїв крінити вантаж на гаку;

в) не залишати вантаж в піднятому стані.  
Зібрані на робочому місці вузли та деталі укладають на стелажі. Важкі деталі укладають на нижні полици. Забороняється укладати важкі деталі на край верстака або стелажа.

При розпресування або зняття окремих деталей необхідно застосовувати тільки справні спеціальні знімачі, при запресовке- користуватися пресом. При неможливості застосування знімачів або преса дозволяється застосовувати для виконання цих операцій вибивання з мідними наконечниками і молотки з мідними бойками. Виробляти ці роботи за допомогою кувалд забороняється.

При роботі на розбірно-складальних і інших стендах, ~~мають~~ гідравлічні пристрої, стежити за справністю і надійністю кріплення шлангів гідросистеми. На стенді для збирання кареток трактора стежити за кріпленим кожухом пружини каретки і не допускати його зняття під час роботи.

При перевірці збігу отворів необхідно застосовувати спеціальні оправлення і ломики. Перевіряти збіг отворів пальцями рук забороняється. Для мийки деталей, що вимагають промивання на робочому місці, користуватися спеціальними пересувними мийними ваннами з кришками.

Мити деталі дозволяється гасом або дизельним паливом.

~~Очищення напилків від стружки виробляти спеціальною металевою щіткою.~~  
~~Вибивати стружку ударами напилка забороняється.~~  
При рубці твердих і лендітних металів зубилом або крейцмейслем користуватися захисними окулярами.

При свердлінні отворів на свердлильному верстаті встановлювати свердло в патрон тільки при зупиненому шпинделі. Свердло надійно закріплювати, а патрон центрувати з віссю шпинделя верстата. Свердлити в рукавицях, зупиняти патрон руками забороняється.

Надійно зміцнювати деталь на столі верстата в машинних лещатах.  
При свердлінні ~~періодично піднімати свердло для звільнення його канавок від стружки.~~

При свердлінні на прохід перед виходом свердла з отвору вимкнути автоматичну подачу і перейти на ручну, послабивши натиск на свердло. Видаляти з верстата стружку тільки заливним гачком або щіткою при зупиненому верстаті.

Охолоджувати свердло мокрою ганчіркою забороняється.

При роботах на копіювально-шліфувальному верстаті, зазор між краєм підручиною і поверхнею круга не повинен бути більше 3 мм.

При несправному блокуванні захисного екрану з пусковим пристроєм копіювально-шліфувального верстата працювати тільки в окулярах.

Виробляти заточку торцевої поверхнею шліфувального круга забороняється.

Розбирання і складання ланок гусениць трактора виробляти на спеціальних пресах і стендах. При розбиранні вручну гусениць, що складаються з се́ми вушок ланок, застосовувати спеціальні вибивання.

При різанні металу ручними і приводними ножівками ножівкові полотна повинні бути натягнуті і міцно закріплені.

При випробуванні двигунів або інших вузлів необхідно міцно закріпити їх на стендах, надійно з'єднати один з одним обертаються і рухомі частини. Перед включенням стендів або перед запуском машини необхідно переконатися, що в

небезпечній зоні немає людей, і дали попереджувальний сигнал про пуск. Стенди для холодної і гарячої обкатки двигунів повинні мати захисні кожухи на муфтах з'єднання. Вихлопні труби слід встановлювати так, щоб вони не пропускали відпрацьовані гази в місцях з'єднання.

Після закінчення складання машини або агрегату необхідно перевірити:

- кріплення вузлів, деталей, натяг ланцюгів і ременів;
- наявність і надійність кріплення захисних кожухів;
- чи не залишилося в них деталей або інструменту.

Забороняється змащувати і регулювати випробовувану машину або агрегат на ходу.

Після закінчення роботи слюсар зобов'язаний:

- а) привести в порядок робоче місце, прибрати з верстата стружки, обрубки і тірсу;
- б) очистити і прибрати інструмент і пристосування у встановлене місце.

### **6.3. Заходи безпеки при роботі з механізованим інструментом.**

При роботі пневматичним інструментом дотримуватися запобіжних

заходів:

- а) приєднання та роз'єднання шлангів робити тільки після припинення подачі повітря;

б) перед приєднанням до пневматичного інструмента продути шланги;

в) перед початком роботи інструмент випробувати на холостому ходу;

- г) при перенесенні пневматичного інструмента, сполученого з повітряним шлангом, братися рукою за корпус, а не за робочу частину інструменту або шланг.

Розташовувати повітропровід не біжче 0,5 м від кабелів електропроводки.

Стежити за справністю різьблення на штуцері і нипелях при підключені шланга до інструмента. Шланги до штуцера і нипеля кріпiti стяжними хомутами.

Не допускати перелому шлангів, перетину їх з електрокабелем і шлангами газозварювальних установок.

При обриві шланга, перервах в роботі і несправності негайно перекрити повітряний вентиль.

Включати повітря тільки тоді, коли інструмент встановлено в робоче положення.

При роботі електроінструментом виконувати такі запобіжні заходи:

- а) при отриманні електроінструменту перевірити справність вимикача, заземлюючого проводу і надійність ізоляції живильних проводів;

- б) при роботі електроінструментом користуватися гумовими рукавичками, калошами і килимками;

в) при перенесенні електроінструмент відключити від силової лінії і тримати його за корпус;

г) зміну робочої частини (свердло, шліфувальний круг і т. д.) робити тільки після відключення електроінструменту від силової лінії;

д) у разі припинення подачі струму під час роботи або при перерві в роботі відключати пристрій від силової лінії;

е) підключати електроінструмент до силової лінії тільки за допомогою штепсельного роз'єму;

е) не приєднувати електроінструмент до огорожених кінців проводів, контактів рубильників або пускачів.

Не допускати сильного нагріву електроінструменту, слід робити перерви в роботі і пускати електроінструмент на деякий час вхолосту.

Заходи пожежної безпеки.

Використані обтиральні матеріали прибирати в спеціальні ящики.

У всіх цехах повинно бути протипожежне обладнання (вогнегасник, тісок, лопата, лом і ін.). Згідно з нормами пожежної безпеки.

Кожен працівник зобов'язаний знати розміщення коштів для гасіння пожеж і вміти ними користуватися.

Використання інвентарю пожежогасіння для інших цілей категорично забороняється.

У разі виникнення пожежі підгайно викликати пожежну команду, вжити заходів до ліквідації вогнища загоряння наявними засобами для гасіння пожежі.

#### **6.4. Техніка безпеки при роботі на мийних установках і машинах.**

Перед початком роботи робітник повинен надіти спецодяг: фартух з кислотостійкою просоченням, гумові рукавички. Мийник деталей в ваннах, крім цього, повинен надіти нарукавники. При митті деталей, які працювали на

етілірованому бензині, надіти гумовий фартух і гумові рукавички.

Робітник, приступаючи до роботи, повинен перевірити наявність і справність захисних огорожень, пристосувань, а також надійність кріплення заземлюючих провідників.

Робітнику забороняється:

а) стосуватися електропроводки і корпусів працюють електродвигунів;

б) стояти під вантажем і на шляху його переміщення;

в) курити в цехах та інших місцях, де застосовуються і зберігаються легкозаймисті матеріали або гази. Палити дозволяється тільки в спеціально

відведеніх для цього місцях.

При переході на роботу з використанням нового обладнання робітник зобов'язаний ознайомитися з його конструкцією, методами безпечної роботи на ньому і пройти додатковий інструктаж з техніки безпеки.

Робітник зобов'язаний утримувати в чистоті і порядку робоче місце, не

захаращувати проходів та проїздів, укладати заготовки і вироби в відведеніх місцях, повідомляти майстру про всі помічені несправності обладнання.

Всі робочі зобов'язані знати правила і прийоми надання першої медичної допомоги при нещасному випадку потерпілому. Про нещасний випадок

негайно повідомити майстру чи начальнику цеху.

**Заходи безпеки під час підготовки до роботи.**

Меред початком роботи мийник зобов'язаний перевірити стан мийної установки (машини), справність душового пристрою, вентиляції, щільності кріплення трубопроводів, сальників, нагрівальним пристроєм, підйомно-транспортних засобів і т. д.

Приступаючи до роботи, мийник повинен нанести на шкіру рук захисну пасту ХІОТ-6 або АБ-1 (при застосуванні лужніх розчинів) або пасту ПМ-1 (при використанні гасу, дизельного палива або інших нафтопродуктів).

При приготуванні і застосуванні розчину каустичної соди дотримуватися

обережності. При роботі каустичної соди надягати гумову маску з захисними окулярами. Розчин каустичної соди при попаданні на шкіру викликає опіки.

Застосовувати для миття розчин каустичної соди концентрацією понад 1%, а

при виварній роботах більше 5% забороняється. При митті деталей з алюмінію застосовувати розчин наступного складу: ДС-РАС-0,1%, кальцинована сода-1,5%, рідке скло-0,5%.

Підлоги в мийному відділенні містити в чистоті: на початку зміни посипати тирсою, а в кінці ретельно прибирати.

Перед надходженням агрегатів і вузлів в камерні та конвеєрні мийні машини масло з них має бути злито. У мийній камері слив масла забороняється.

Дозволяється застосовувати дизельне паливо при митті деталей в спеціальній установці для механізованого миття головок блоків, масляних

картерів та інших сильно забруднених маслом деталей. В інших випадках застосовувати для мийки деталей кас, дизельне паливо, а також мити деталі бензином забороняється.

Мити руки і прати одяг миючими розчинами забороняється.

При роботі на мийних установках і машинах обов'язково включати загальну приспільнно-витяжну вентиляцію.

Заходи безпеки при роботі на мийних машинах

Подавати трактор в мийну камеру і на естакаду установки ОМ-1438 своїм ходом дозволяється тільки особам, які мають спеціальність тракториста-

машиніста, при цьому необхідно отримуватися прямолінійність його руху.

Мри установці в мийну камеру трактора і при подальшому його русі за допомогою лебідки підходити до нього і тросу лебідки більше ніж на 1 м забороняється.

Мийник зобов'язаний стежити за станом рейкового шляху установки і утримувати його в чистоті.

Зовнішня мийка трактора на установці повинна проводитися при щільно закритих дверях.

Під час роботи мийної установки робітнику забороняється:

- перебувати всередині мийної камери;
- включати привід переміщення душового пристрою під час промивання картерів;

в) переходити водозбірну яму мийної камери по рейках;

г) виробляти подразборку трактора в мийній камері.

Масло з картерів трактора зливати в мийній камері в спеціальну воронку.

Відкривати двері мийній камери установки і камерної машини дозволяється не раніше ніж через 5 хв після закінчення миття і включення вентиляції.

Завантажувати і розвантажувати камерні або конвеєрні мийні машини деталями вагою понад 20 кг дозволяється тільки за допомогою підйомних механізмів. Стояти під піднятими агрегатами або на шляху їх переміщення

забороняється. Підйом вантажів проводити тільки вертикально.

Важкі деталі і агрегати встановлювати на підставки, що забезпечують їм стійке положення.

Укладати деталі, вузли і агрегати в кошики або на конвеєр мийної машини так, щоб в поглибленнях і порожнинах деталей не залишалася миюча рідина і

при обертанні столу з кошиків не могли випасти деталі. У промиваються

корпусних деталях пробки для зливу масла, води і падива повинні бути вивернуті. Важкі деталі укладати в нижню частину кошика.

Кошики з деталями повинні встановлюватися на візок або конвеєр так, щоб вони не виходили з габаритів візка і конвеєра. Встановлювати кошика з

деталями один на одного забороняється.

Забороняється проводити підтяжку сальника водяного насоса під час роботи мийної машини.

Стежити за справністю запорів дверей і щільністю їх прилягання в камерних мийних машинах. У конвеєрних мийних машин гумові захисні фартухи не повинні мати пошкоджень.

Стежити, щоб поверхні нагрівання камерної машини були покриті муючою рідиною.

Забороняється перевантажувати мийні машини понад встановлених для

них норм: для камерної машини МД-1 понад 2,5 т, для машини МД-2 понад 1,2 і для конвеєрної машини МК-1 понад 0,5 на 1 пог. м конвеєрного полотна.

Пуск електродвигуна приводу насоса повинен проводитися тільки після закриття дверей машини.

Перемикання електродвигуна для обертання поворотного столу в зворотну сторону в камерної мийні машині робити тільки після повної його зупинки.

Працювати на камерної машині зі знятим підлогою і знятими або несправними сітчастими фільтрами забороняється.

Внутрішня мийка двигуна в зборі повинна проводитися при нерухомому поворотному столі.

Закочування візка з деталями в камерну мийну машину робити тільки після суміщення напрямних столу машини із зовнішнім рейковим шляхом. Вміщена в камеру візок повинна бути надійно застопорена на напрямних столу. Відкривати дверцята мийної машини можна лише після виключення електродвигунів приводу насоса і редуктора поворотного столу (повної зупинки столу і припинення подачі розчину).

При знаходженні людей всередині мийної машини під час ремонту двері її повинні бути відкриті і включена вентиляція.

При очищенні душового пристрою мийної машини або при виконанні інших робіт всередині мийної камери необхідно:

а) відключити електродвигуни від центрового насоса і редуктора приводу поворотної платформи від мережі і маїх пускових пристроях вивісити плакат з написом «Не включати!»;

б) закрити підлогу, що відокремлює ванну підігріву від мийної камери.

Спуск забрудненого розчину з баків і відстійників мийних машин проводити після охолодження його до 40 °.

Заходи безпеки при митті деталей в ваннах.

Ванни повинні мати справні кришки, які слід відкривати тільки під час промивання деталей.

Дрібні деталі системи харчування, які працювали на етілірованому бензині, необхідно очистити і знешкодити, помістивши їх на 10-20 хв в ванну з гасом. Гас зливати після промивання деталей 10-20 хв.

Щоб уникнути отруєння етилованим бензином необхідно періодично мити руки гарячою водою з мильом.

Розконсервацию деталей виробляти в гасі, дизельному паливі або в струмені пари тільки в спеціальних закритих ваннах. Застосовувати для цієї мети відкритий вогонь забороняється.

Заходи пожежної безпеки. Біля топки в мийному відділенні обов'язково повинен бути встановлений ящик з піском і лопатою, вогнегасник і інший протипожежний інвентар.

Кожен робітник повинен знати розташування засобів пожежогасіння та вміти користуватися ними.

Використання інвентарю пожежогасіння для інших цілей категорично забороняється.

У разі виникнення пожежі негайно викликати пожежну команду і вжити заходів до ліквідації вогнища загоряння первинними засобами пожежегасіння.

**НУБІП України**

**НУБІП України**

**НУБІП України**

**НУБІП України**

РОЗДІЛ 7. ЕКОНОМІЧНЕ ОБГРУНТУВАННЯ РОБОТИ

Основними показниками економічної ефективності оцінки ремонтної майстерні є сума додаткових капіталовкладень, собівартість ремонту, річний економічний ефект, строк окупності додаткових капіталовкладень.

### 7.1. Визначення капіталовкладень в основні фонди.

Вартість основних фондів ЦРМ :

$$С_о = С_б + С_{об} + С_і, \text{ де}$$

$С_б$  - вартість будівлі майстерні;

$С_{об}$  - вартість обладнання, грн;

$С_і$  - вартість інструменту, грн.

(штучна вартість якого перевищує 100 грн)

Вартість виробничої будівлі:

$$С_б = С_б' \cdot S, \text{ де}$$

$С_б'$  - середня вартість будівельно-монтажних робіт, грн/ $м^2$ . Для ремонтних підприємств:  $С_б' = 9000$  грн/ $м^2$

$S$  - виробнича площа

$$С_б = 9000 \cdot 90 = 810000 \text{ грн.}$$

Вартість установленого обладнання становить 40% від вартості будівлі.

$$С_{об} = 0,4 \cdot 810000 = 324000 \text{ грн.}$$

Вартість пристрій, пристосувань, інструменту становить 40% від вартості обладнання

$$С_і = 0,5 \cdot 324000 = 162000 \text{ грн.}$$

Вартість основних фондів дорівнює:

$$С_о = 810000 + 324000 + 162000 = 1296000 \text{ грн.}$$

Вартість основних фондів дільниці ремонту корпусних деталей та рам до реконструкції становить 164600 грн.

Додаткові капіталовкладення :

$$К = С_о - С_о' = 1296000 - 864000 = 432000 \text{ грн.}$$

Таблиця 7.1 - Розрахунок фонду оплати праці

Показники	Значення
Затрати праці на ремонт одного двигуна ЯМЗ- 238, люд.-год.	120
Річна программа ремонту двигунів ЯМЗ- 238, шт	80
Годинні ставки, грн/год	65,00
Річні затрати праці, люд.-год	9600
Основна оплата, грн	624000
Додаткова оплата, грн	249600
Всього, грн	873600

## 7.2. Визначення потреби в ремонтних матеріалах і запасних

**НУБІП України** Потребу в основних матеріалах і запасних частинах визначаємо в грошовому виразі. При розрахунку входимо із нормативного відношення між сумами прямих витрат, виражених в процентах.

**НУБІП України** Знаючи, що для КР двигунів на оплату праці приходиться 45% від вартості прямих затрат, знаходимо скільки становить 1%. Тоді по нормативах визначаємо, що затрати на запчастини складають 15%, а матеріали 30%, інші витрати – 10%. Результати заносимо в таблицю 7.2.

**НУБІП України**

**НУБІП України** Таблиця 7.2 - Розрахунки прямих затрат, грн

	Витрати	Капітальний ремонт %	грн.
Оплата праці		45	873600
Запасні частини		15	291200
Ремонгні матеріали		30	582400
Інші затрати		10	194133
Всього		100	1941330

### 7.3. Розрахунок цехових витрат

Цехові витрати включають відрахування на амортизацію, поточний ремонт будівлі і технологічного обладнання, оплату ГЧР і обслуговуючого персоналу майстерні, а також вартість електроенергії, пару, стисненого повітря, спецодягу та взуття.

Відрахування на амортизацію та поточний ремонт будівлі і обладнання зведено в таблицю 7.3.

Таблиця 7.3 - Відрахування на амортизацію і поточний ремонт будівлі і

Назва	Балансова вартість, грн.	обладнання Амортизація %	Поточний ремонт грн.
Будівля	810000	2,7	21870
Обладнання	324000	8,0	25920
Разом	1134000	--	47790
Всього			85050

### 7.4. Розрахунок собівартості ремонту.

В собівартість ремонту входять витрати на оплату праці, запасні частини, ремонтні матеріали.

## Розрахунок фонду заробітної плати.

При виконані поточного ремонту робітникам іде оплата за виконану нормозміну по 4 розряду тарифної сітки.

Затрати на оплату праці при виконані поточного ремонту:

$$\text{Зп}р = \text{Ппр} \cdot \text{Фус.р} = 9600 * 65,00 = 624000 \text{ грн.}$$

Допоміжна оплата складає 40%, від основної.

Усі дані розрахунків заносимо в таблицю 7.1.

Визначаємо фонд оплати праці НТР та допоміжного персоналу.

Таблиця 8.4

Посада	Кількість чоловік	Місячний оклад, грн.	Основна оплата, грн.	Додаткова оплата, грн.	Всього, грн.
Завідуючий майстернею	10000	120000	48000	168000	10000
Техробітник	6000	72000	28800	100800	6000
Всього:	-	192000	76800	268800	-

Вартість електроенергії, затрати на додаткові матеріали, спецодяг входить в інші затрати і становить 5% від основних фондів.

$$Зів = 0,07 \cdot Со = 0,05 \cdot 1296000 = 103680 \text{ грн.}$$

Загальновиробничі витрати :

$$С = 1941330 + 85050 + 268800 + 103680 = 2398860 \text{ грн.}$$

Собівартість ремонту двигунів:

**НУБІП України**

де: Пр - програма ремонтів  
 $C_p = \frac{C}{N} = \frac{2398860}{80} = 29986$  грн./шт.;

2398860

$$C_p = \frac{C}{N} = \frac{2398860}{80} = 29986 \text{ грн./шт.};$$

**НУБІП України**

7.5. Техніко-економічні показники

Вартість ремонту відновленого двигуна ЯМЗ- 238 для споживачів

складає 33620 грн.

**НУБІП України**

Ефективність використання праці у ЦРМ встановлюється розрахунком продуктивності праці, яка визначається за формулою

Пр  
 $P_p = \frac{P_c}{P_s}$ ;

де:  $P_s$  - середньорічна кількість працюючих, чол.

**НУБІП України**

80  
 $P_p = \frac{16}{5} = 3.2$  шт./люд.

Фондовіддача буде рівна:

$$\text{Пр} \cdot 1000 = 80 \cdot 1000$$

$$= 0,061 \text{ шт./тис.грн}$$

**НУБІП України**

Ф  
 $S_o = \frac{C}{P_s}$

де:  $S_o$  - вартість основних фондів, тис.грн.

Вартість валової продукції становить

$$Vwp = Cvidn * N,$$

**НУБІП України**

де:  $N$  - програма ремонту двигунів ЯМЗ- 238, шт.  
 Отже,  
 $Vwp = 33620 * 80 = 2689600$  грн.

Прибуток становить :

$$P = (Cvidn - Cw) * N = (33620 - 29986) * 80 = 290720 \text{ грн}$$

Рентабельність виробництва становить :

$$R = ((Cvidn - Cw) / Cw) * 100;$$

$$P = ((33620 - 29986) / 29986) * 100 = 12,2 \%$$

# НУБІП України

визначимо за формулою :

$$\text{Ток} = K / P ;$$

де К – капіталовкладення, грн.

$$\text{Ток} = 432000 / 290720 = 1,5 \text{ року}$$

Економічні показники зводимо до таблиці 7.5.

Таблиця 7.5.

ПОКАЗНИКИ	Економічні показники	Значення
Річна виробнича програма ремонту двигунів, шт		80
Додаткові капіталовкладення, грн		432000
Випуск продукції на 100 м <sup>2</sup> виробничої площини, шт		0,44
Фондовіддача, шт/тис. грн		0,061
Продуктивність праці, шт/чол		20
Собівартість ремонту двигуна ЯМЗ-238, грн		29986
Відпускна вартість ремонту одного двигуна ЯМЗ-238, грн		33620
Прибуток, грн		290720
Рентабельність, %		12,2
Строк окупності додаткових капіталовкладень, років		1,5

## Висновки

На основі даних комплексного аналізу конструктивно-технологічних параметрів підвищення надійності та технології ремонту двигунів ЯМЗ-238 вирішено цілий ряд задач відновлення їх роботоздатності.

В магістерській роботі були конкретизовані та вирішені слідуючі задачі:

1. Дано аналіз існуючих конструктивно-технологічних параметрів підвищення надійності та технології ремонту двигунів ЯМЗ-238;

2. Проаналізовано види пошкоджень деталей ЯМЗ-238, що виникають в процесі експлуатації тракторів;

3. Розроблено конструктивно-технологічні параметри підвищення

надійності двигунів ЯМЗ-238;

3. Розроблено технологічний процес відновлення гильз циліндрів термопластичним деформуванням (ТПД);

4. Досліджено ремонтний фонд поршнів двигуна ЯМЗ-238;

5. Розраховано граничні та допустимі при ремонті спрацювання та розміри деталей кривошипно-шатунного механізму двигунів ЯМЗ-238;

6. Досліджено пошкодження деталей кривошипно-шатунного механізму двигунів ЯМЗ-238КМ, розроблено технологічний процес їх відновлення.

7. Розроблено міроприємства, які б задовольняли вимогам охорони праці при

ремонтних роботах;

8. Визначено економічну ефективність відновлення працевдатності двигуна ЯМЗ-238. Додаткові капіталовкладення складають 432 тисячі грн. Собівартість

ремонту одного двигуна ЯМЗ-238 29986 грн. Відпускна вартість ремонту

одного двигуна ЯМЗ-238 33620 грн. Прибуток 290720 грн. Строк окупності додаткових капіталовкладень 1,5 роки.

1. Аветисян В.К., Балтковський та ін. Ремонт сільськогосподарської техніки. – К.: Урожай, 1992. – 390 с.
2. Бабулей И.А., Иващенко И.И. Проектирование ремонтных предприятий сельского хозяйства. – К.: Выща школа, 1981. – 352 с.
3. Бабусенко С.М. Проектирование ремонтных предприятий. – Агропромиздат, 1990. – 489 с.
4. Беляков Г.И. Охрана труда. – М.: Агронромиздат, 1990. – 452 с.
5. Калашников О.Г., Лацек И.В. Ремонт машин. – К.: Выща школа, 1983, – 367 с.
6. Крижановський В.І. Довідник по нормуванню праці на ремонтних роботах. – К.: Урожай, 1988, – 278 с.
7. Левитский Н.С. Организация ремонта и планирование сельскохозяйственных предприятий. – М.: Колос, 1977. – 326 с.
8. Лехман С.Д. Довідник з охорони праці в сільськогосподарських підприємствах. – К.: Урожай, 1990. – 218 с.
9. Молодик М.В. та ін. Відновлення деталей машин. – К.: Урожай, 1995, – 542 с.
10. Справочник по ремонтно- обслуживающему производству АПК. – К.: Урожай, 1988. – 235 с.
11. Серый И.С. Курсовое и дипломное проектирование по ремонту и надежности машин. – М.: Агропромиздат, 1991. – 269 с.
12. Ульман И.В. и др. Ремонт машин. – М.: Колос, 1987. – 538 с.
13. Цурпал И.А. Краткий курс сопротивления материалов. – К.: Выща школа, 1998. – 269 с.
14. Дунаев П.Ф., Лапиков О.П. Детали машин. Курсовое проектирование деталей машин. – М.: Высшая школа, 1990. – 399 с.

15. Комплексная система технического обслуживания и ремонта машин в сельском хозяйстве. – М.: ГОСНИТИ, 1985. – 143 с.
16. Технология ремонта машин и оборудования. Под. общ. ред. И.С. Левитского. – М.: колос, 1975. – 560 с.

17. Основы ремонта машин. Под. общ. ред. Ю.Н. Петрова. – М.: Колос, 1972. – 527 с.

18. Ремонт машин. За ред. О.І. Сідащенка і А.Я. Поліського. – К.: Урожай, 1994. – 400 с.

19. Ремонт машин. Под. общ. ред. Тельнова Н.Ф. – М.: Агропромиздат, 1992. – 560 с.

20. Техническое обслуживание и ремонт машин. Под. ред. П.В. Лауша. – К.: Вышашкола, 1989. – 351 с.

21. Мамедов А.М. Неисправности автотракторных двигателей, трансмиссии тракторов и безразборные методы их определения. М., ГОСНИТИ, 1968. – 88с.

22. Дизели СМД-60 и СМД-62. Технические требования на капитальный ремонт. М., ГОСНИТИ, 1975. -245с.

23. Дизели тракторные и комбайновые. Руководство по текущему ремонту. М., ГОСНИТИ, 1982. – 104с.

24. Корылов Ю.М., Кулакенко Ю.В., Пуховицкий Ф.Н. Текущий ремонт энергонасыщенных тракторов. – М.: Россельхозиздат, 1986. – 206с.

25. Технологические рекомендации по применению методов восстановления деталей машин. М., ГОСНИТИ, 1976. – 181с.

26. Технологические рекомендации по техническому перевооружению и реконструкции центральных ремонтных мастерских хозяйств. – М.: ГОСНИТИ, 1988. -88с.

27. Какуевицкий В.А. Совершенствование восстановления деталей автомобильных двигателей. Обзорная информация / Госкомсельхозтехника СССР, ЦНИИТЭИ. – М., 1982. - 62 с.

28. Опыт восстановления деталей на предприятиях Госкомсельхозтехники Украинской ССР. Обзорная информация / ЦНИИТЭИ. – М., 1985. - 56 с.

29. Климчук А. Л., Кваша С. Ю., Ковальчук В. И. и др. Опыт восстановления деталей на предприятиях Госкомсельхозтехники. Обзорная реферативная информ. Госкомсельхозтехника СССР. ЦНИИГЭИ - М., 1980. – 54с.

30. Методичні вказівки до виконання лабораторної роботи „Розробка маршрутної та операційних карт при ремонті машин” К.: Видавничий центр НУБіП 2009. – 20с.

31. Долецкий В.А., Григорьев М.А. Конструкторско-технологические методы обеспечения надежности двигателей. Издательство стандартов, 1973. – 60с.

32. Новые тракторы и автомобили И.А. Гончаров, А.А. Машенский, В.С. Глушаков и др.; Под ред. В.А. Скотникова. – М.: Колос, 1983. – 224с.

33. Тракторы МТЗ-80, МТЗ-82, МТЗ-80Л, МТЗ-82Л. Руководство по текущему ремонту. М., ГОСНИТИ, 1979. – 217с.

1.

НУБІП України

НУБІП України

НУБІП України